

สำนักงานบัณฑิตศึกษา มหาวิทยาลัยแม่ใช้

ระดับการประยุกต์ศูนย์ภูมิภาค

ผู้เชี่ยวชาญ

ผู้มาก

ศิริ

ปานกลาง





การอบรมห้องถ่ายหันแหวนด้วยไมโครเวฟ-สูญญากาศ

พุทธิ์ เนตรสว่าง

วิทยานิพนธ์นี้เป็นส่วนหนึ่งของความสมบูรณ์ของการศึกษาตามหลักสูตร

ปริญญาวิศวกรรมศาสตรมหาบัณฑิต

สาขาวิชาวิศวกรรมการประรูปผลิตภัณฑ์

สำนักงานบัณฑิตศึกษา มหาวิทยาลัยแม่โจ้

พ.ศ. 2552

ลิขสิทธิ์ของมหาวิทยาลัยแม่โจ้



ในรับรองวิทยานิพนธ์
สำนักงานบัณฑิตศึกษา มหาวิทยาลัยแม่โจ้
ปริญญาวิศวกรรมศาสตร์บัณฑิต สาขาวิชาชีวกรรมการประรูปผลิตภัณฑ์

ชื่อเรื่อง
การอนแทรกกลไกหันแหวนด้วยไมโครเวฟ-สูญญากาศ

โดย
พฤทธิ์ เนตรสว่าง

พิจารณาเห็นชอบโดย

ประธานกรรมการที่ปรึกษา *ธัญญ์ วงศ์*
(ผู้ช่วยศาสตราจารย์ ดร. จตุพงษ์ วาฤทธิ์)
วันที่ ๕ เดือน สิงหาคม พ.ศ. ๒๕๕๒

กรรมการที่ปรึกษา *นพดล นิปัตตา*
(ผู้ช่วยศาสตราจารย์ ดร. สุเนตร สืบค้า)
วันที่ ๕ เดือน สิงหาคม พ.ศ. ๒๕๕๒

กรรมการที่ปรึกษา *นพดล สืบค้า*
(รองศาสตราจารย์บัณฑิต หริรักษ์สกิตย์พร)
วันที่ ๕ เดือน สิงหาคม พ.ศ. ๒๕๕๒

ประธานกรรมการประจำหลักสูตร *นพดล สืบค้า*
(ผู้ช่วยศาสตราจารย์ ดร. สุเนตร สืบค้า)
วันที่ ๕ เดือน สิงหาคม พ.ศ. ๒๕๕๒

สำนักงานบัณฑิตศึกษารับรองแล้ว

.....
(รองศาสตราจารย์ ดร. เทพ พงษ์พาณิช)
ประธานกรรมการบัณฑิตศึกษา
วันที่ ๕ เดือน สิงหาคม พ.ศ. ๒๕๕๒

ชื่อเรื่อง	การอบแห้งกลั่วหันแวนด์ด้วยไมโครเวฟ-สุญญากาศ
ชื่อผู้เขียน	นายพุทธิ์ เนตรสว่าง
ชื่อบริษัท	วิศวกรรมศาสตรมหาบัณฑิต สาขาวิชาบริหารธุรกิจและการเเพรรูปผลผลิตเกษตร
ประธานกรรมการที่ปรึกษา	ผู้ช่วยศาสตราจารย์ ดร.ชาติพงศ์ วาฤทธิ์

บทคัดย่อ

งานวิจัยนี้มีวัตถุประสงค์เพื่อศึกษาและปรับปรุงกระบวนการอบแห้งแบบไมโครเวฟ-สุญญากาศของกลั่วหันน้ำว้าหันแวนหนา 3 mm แบบสดและผ่านการพรีทรีทเม้นต์โดยการนึ่งด้วยไอน้ำและอบแห้งโดยใช้เครื่องอบแห้งไมโครเวฟ-สุญญากาศ ระดับห้องปฏิบัติการ ซึ่งมีแมกนิตรอนขนาด 1,000 W ความถี่ 2.45 GHz โดยการอบแห้งกลั่วที่ความชื้นเริ่มต้นประมาณร้อยละ 203 มาตรฐานแห้ง ให้มีความชื้นสุดท้ายร้อยละ 18 มาตรฐานแห้ง ภายใต้สภาวะสุญญากาศ 2 ระดับ คือ 0.1 และ 0.02 bar ซึ่งอยู่ในช่วงสุญญากาศระดับต่ำและกลาง โดยใช้ระดับกำลังไมโครเวฟในการอบแห้งขั้นตอนเดียว คือ 20.4 W/g dry matter และ 2 ขั้นตอน คือ 20.4 และ 11.1 W/g dry matter ผลการทดลองพบว่า การอบแห้งกลั่วที่ผ่านการพรีทรีทเม้นต์ภายใต้สภาวะสุญญากาศระดับกลาง โดยใช้ระดับกำลังไมโครเวฟ 2 ขั้นตอน เป็นสภาวะที่เหมาะสมในการอบแห้ง ซึ่งส่งผลให้กลั่วอบแห้งมีคุณภาพดีที่สุด นอกจากนี้ยังพบว่า การพรีทรีทเม้นต์กลั่วโดยการนึ่งด้วยไอน้ำสามารถเพิ่มปริมาณรูพรุนในชั้นกลั่วอบแห้งซึ่งส่งผลให้กลั่วอบแห้งมีความกรอบเพิ่มขึ้น การลดระดับสุญญากาศในการอบแห้งส่งผลให้กลั่วอบแห้งมีความแข็งลดลงและมีความกรอบเพิ่มขึ้น การใช้กำลังไมโครเวฟ 2 ขั้นตอนในการอบแห้งสามารถช่วยลดปริมาณความเสียหายต่อผลิตภัณฑ์ได้ถึงร้อยละ 45.6 เมื่อเปรียบเทียบคุณภาพของกลั่วอบแห้งระดับห้องปฏิบัติการและระดับอุตสาหกรรม พนว่า คุณภาพของกลั่วอบแห้งด้านสีและเนื้อสัมผัสไม่มีความแตกต่างกันในทางสถิติที่ระดับนัยสำคัญ 0.05

Title	Banana Slice Drying Using Vacuum–Microwave Process
Author	Mr. Prud Netsawang
Degree of	Master of Engineering in Agro-Process Engineering
Advisory Committee Chairperson	Assistant Professor Dr. Jatuphong Varith

ABSTRACT

The objective of this research was to study and improve vacuum-microwave (VAC-MW) drying process for banana slices. Fresh and steamed bananas sliced at 3 mm thickness were dried in the laboratory using VAC-MW dryer. A 1,000 W magnetron at frequency of 2.45 GHz was applied to dry the banana slices from initial moisture content of 203% (dry basis) to final moisture content of 18% (dry basis) using 2 treatments of vacuum at 0.1 and 0.02 bar, which were in range of low and medium vacuum. Treatments were designed by using single step drying with 20.4 W/g dry matter and dual step drying with 20.4 W/g dry matter followed by 11.1 W/g dry matter. Results showed that drying of steamed banana slices in medium vacuum with dual step MW power yielded final products with the best quality. Pretreatment by steaming the banana slices increased porosity of VAC-MW dried banana that provided the crispy texture of final products. Reducing the vacuum level for VAC-MW drying resulted in the decrease in hardness but increase in crispness. It was also found that the dual step VAC-MW drying minimized the damage of final products by 45.6%. In comparison of the quality of banana slices dried with laboratory and industrial VAC-MW dryer, the color and texture of banana slices were not statistically different ($P \geq 0.05$).

กิตติกรรมประกาศ

ข้าพเจ้าขอขอบพระคุณผู้ช่วยศาสตราจารย์ ดร.ชาตุพงศ์ วากที ประธานกรรมการที่ปรึกษา ที่ได้ให้คำปรึกษาในการวางแผนการทดลอง และช่วยให้การสนับสนุนวัสดุอุปกรณ์ต่างๆ สำหรับใช้ในการดำเนินการทดลองงานนี้ทั้งงานทดลองสำเร็จลุล่วงไปด้วยดี ตลอดจนให้คำแนะนำ ตรวจสอบแก้ไขจนเป็นวิทยานิพนธ์ที่สมบูรณ์

ขอขอบพระคุณผู้ช่วยศาสตราจารย์ ดร.สุเนตร สีบค้า และรองศาสตราจารย์ บัณฑิต หิรัญสติตย์พร กรรมการที่ปรึกษา ที่ได้คอยให้คำแนะนำในระหว่างการทดลองและกรุณาตรวจสอบแก้ไขวิทยานิพนธ์เล่มนี้จนสมบูรณ์

ขอขอบพระคุณรองศาสตราจารย์ ดร.สัน พันธ์ ไชยเทพ ที่กรุณารับเป็นประธาน กรรมการสอบวิทยานิพนธ์และได้ให้คำแนะนำที่มีประโยชน์ในการปรับปรุงแก้ไขวิทยานิพนธ์

ขอขอบพระคุณคณาจารย์ เจ้าหน้าที่ประจำห้องปฏิบัติการ ภาควิชาวิศวกรรม เกษตรและอาหาร คณะวิศวกรรมและอุตสาหกรรมการเกษตร ที่กรุณารับรองสั่งสอนและมอบความรู้อันมีค่ายิ่ง ให้ใช้สถานที่และเครื่องมือต่างๆ ในการศึกษาทดลองครั้งนี้แก่ข้าพเจ้าตลอดจน พี่ๆ เพื่อนๆ และน้องๆ ภาควิชาวิศวกรรมเกษตรและอาหารที่เคยช่วยเหลือและมอบนิตรภาพที่ดีให้มาโดยตลอด

ขอขอบพระคุณ คุณพ่อเพทาย และคุณแม่สุชา เนตรสว่าง และญาติพี่น้องทุกคนที่ คอบรอมสั่งสอน เป็นกำลังใจและให้การศึกษาที่ดีแก่ข้าพเจ้าเสมอมา

พฤทธิ์ เนตรสว่าง
สิงหาคม 2552

สารบัญ

	หน้า
บทคัดย่อ	(3)
ABSTRACT	(4)
กิตติกรรมประกาศ	(5)
สารบัญ	(6)
สารบัญตาราง	(10)
สารบัญภาพ	(11)
สารบัญตารางผนวก	(13)
สารบัญภาพผนวก	(14)
บทที่ 1 บทนำ	1
ความสำคัญของปัจจุบัน	1
วัตถุประสงค์ของการวิจัย	2
ประโยชน์ที่ได้รับ	3
ขอบเขตของงานวิจัย	3
บทที่ 2 การตรวจเอกสาร	4
ลักษณะทางพฤกษาศาสตร์กล้วย่น้ำว้า	4
คุณค่าทางอาหารของกล้วย่น้ำว้า	4
การสูกของกล้วย	5
การอบแห้ง	7
กราฟการอบแห้ง	7
สมการการอบแห้ง	10
คลื่นไมโครเวฟ	11
คุณสมบัติของคลื่นไมโครเวฟ	13
กลไกการเกิดความร้อนด้วยไมโครเวฟ	13
ความลึกในการทะลุผ่านของคลื่นไมโครเวฟ	15
ปัจจัยที่มีผลต่อการอบแห้งด้วยไมโครเวฟ	15
สภาพภาวะสุขภาพผู้คน	18

	หน้า
การเลือกใช้ระดับสุญญาการ	19
การอุบแห่งด้วยไม่โครเวฟ-สุญญาการ	20
การพรีทรีพเมนต์	22
การลอกด้วยไอน้ำ	22
งานวิจัยที่เกี่ยวข้อง	22
กรอบแนวความคิด	25
บทที่ 3 อุปกรณ์และวิธีการ	26
อุปกรณ์ที่ใช้ในการวิจัย	26
วัสดุทดลอง	26
เครื่องอบแห้งไม่โครเวฟ-สุญญาการ ระดับห้องปฏิบัติการ	26
เครื่องอบแห้งไม่โครเวฟ-สุญญาการ ระดับอุตสาหกรรม	27
เครื่องซั่งคิจตลอด	27
เครื่องวัดศีรษะ	28
เครื่องวัดเนื้อสัมผัส	28
เครื่องถ่ายภาพโครงสร้างภายใน	28
วิธีการ	28
การอุบแห้งด้วยเครื่องอบแห้งไม่โครเวฟ-สุญญาการ	28
ระดับห้องปฏิบัติการ	28
การอุบแห้งขยายผลจากระดับห้องปฏิบัติการสู่ระดับอุตสาหกรรม	30
วิธีการทดลองอบแห้ง	30
การทำลังไม่โครเวฟเทียบเท่าของเครื่องอบแห้งไม่โครเวฟ-	31
สุญญาการ	31
การวิเคราะห์คุณภาพของลักษณะอบแห้ง	32
การวิเคราะห์กราฟการอุบแห้ง	32
การวิเคราะห์หาเปอร์เซ็นต์ความเสียหาย	33
การวัดคุณภาพด้านสี	33
การวัดคุณภาพด้านเนื้อสัมผัส	34
การวิเคราะห์โครงสร้างภายใน	34

	หน้า
การวิเคราะห์ทางสถิติ	35
บทที่ 4 ผลและวิจารณ์ผลการทดลอง	36
การอบแห้งด้วยเครื่องอบแห้งในโครเวฟ-สุญญากาศระดับห้องปฏิบัติการ	36
การหาค่าคงในโครเวฟของเครื่องอบแห้งในโครเวฟ-สุญญากาศระดับห้องปฏิบัติการ	36
การวิเคราะห์คุณภาพของกลีวัยอบแห้ง	36
การวิเคราะห์กราฟการอบแห้ง	36
การวิเคราะห์เปอร์เซ็นต์ความเสียหาย	41
การวิเคราะห์คุณภาพด้านสี	45
การวิเคราะห์คุณภาพด้านเนื้อสัมผัส	47
การวิเคราะห์โครงสร้างภายใน	48
การอบแห้งข่ายผลจากระดับห้องปฏิบัติการสู่ระดับอุตสาหกรรม	53
การหาค่าคงในโครเวฟของเครื่องอบแห้งอบแห้งในโครเวฟ-สุญญากาศ ระดับอุตสาหกรรม	53
การคำนวณค่าคงในโครเวฟข่ายผล	54
ผลการอบแห้งข่ายผลระดับอุตสาหกรรม	54
ผลการวิเคราะห์คุณภาพของกลีวัยอบแห้งจากการอบแห้งทั้ง 2 ระดับ	55
บทที่ 5 สรุปผลการทดลอง	56
สรุปผลการทดลองอบแห้งด้วยเครื่องอบแห้งในโครเวฟ-สุญญากาศ ระดับห้องปฏิบัติการ	56
สรุปผลการทดลองอบแห้งข่ายผล	56
บรรณานุกรม	57
ภาคผนวก	62
ภาคผนวก ก เครื่องมือและอุปกรณ์ที่ในการทดลอง	63
ภาคผนวก ข ตารางความแปรปรวน	66
ภาคผนวก ค การวิเคราะห์สมการจลนศาสตร์การอบแห้ง	71
ภาคผนวก ง วิธีการคำนวณ	76

ภาคผนวก ๖ รายละเอียดเครื่องอบแห้งไมโครเวฟ-สุญญากาศ	
ระดับห้องปฏิบัติการและอุตสาหกรรม	80
ภาคผนวก ๗ ประวัติผู้วิจัย	84

สารบัญตาราง

ตาราง	หน้า
1 ปริมาณส่วนประกอบคุณค่าทางอาหารของกล้วยน้ำว้าในส่วนที่รับประทานได้ 100 g	5
2 ตารางเทอร์โมไคนา米ก	18
3 สมการแบบจำลองการอบแห้ง	32
4 กำลังไฟฟ้าของเครื่องอบแห้งในโครเวฟ-สูญญากาศ ระดับห้องปฏิบัติการ	36
5 ค่าคงที่ของแบบจำลองการอบแห้งชนิดต่างๆ	40
6 ผลการเปรียบเทียบค่าเฉลี่ยคุณสมบัติค้านสี	45
7 ผลการเปรียบเทียบค่าเฉลี่ยคุณสมบัติค้านเนื้อส้มผัสด้วย	47
8 กำลังไฟฟ้าของเครื่องอบแห้งในโครเวฟ-สูญญากาศระดับอุตสาหกรรม	54

สารบัญภาพ

ภาพ	หน้า
1 ระบบการสูกของผลกล้วย	6
2 ระบบการอบแห้งที่เกิดขึ้นกับวัสดุเกษตร	8
3 การอบแห้งในช่วงอัตราการอบแห้งคงที่และลดลง	9
4 ช่วงความถี่และความยาวคลื่นแม่เหล็กไฟฟ้านิดต่าง ๆ	12
5 คุณลักษณะของคลื่นไมโครเวฟ	13
6 กลไกการเกิดความร้อนคลื่นไมโครเวฟ	14
7 การเกิดเบรกดาวน์ของสนามไฟฟ้าที่เกิดขึ้นในอากาศ (ค่าสูงสุด) ที่ขึ้นอยู่กับความดันที่ความถี่สองค่า	19
8 กลไกการอบแห้งด้วยอากาศร้อน	20
9 กลไกการอบแห้งด้วยระบบสุญญากาศร่วมกับไมโครเวฟ	21
10 เครื่องอบแห้งไมโครเวฟ-สุญญากาศ ระดับห้องปฏิบัติการ	26
11 เครื่องอบแห้งไมโครเวฟ-สุญญากาศ ระดับอุตสาหกรรม	27
12 แผนผังการดำเนินงาน	29
13 แผนผังการอบแห้ง	30
14 สารกลีบในหน่วย $L^*a^*b^*$	33
15 กราฟการวิเคราะห์คุณภาพด้านเนื้อสัมผัส	34
16 กราฟความสัมพันธ์ระหว่างความชื้นและเวลาในการอบแห้งกล้วยด้วยไมโครเวฟ-สุญญากาศ	37
17 กราฟความสัมพันธ์ระหว่างอัตราการอบแห้งและเวลาในการอบแห้งกล้วยด้วยไมโครเวฟ-สุญญากาศ	38
18 กราฟเปรียบเทียบค่าอัตราส่วนความชื้นของกล้วยที่ได้คำนวณจากสมการ จนศาสตร์ของการอบแห้งกับผลการทดลองแห้งกล้วยสดที่สุญญากาศระดับต่ำโดยใช้กำลังไมโครเวฟขั้นตอนเดียว	39
19 ลักษณะการรวมศูนย์ของคลื่นไมโครเวฟ	41
20 ลักษณะการใหม่ในชีนกล้วยอบแห้ง	42
21 ลักษณะตำแหน่งชีนกล้วยอบแห้ง	43
22 กราฟช่วงเวลาและลักษณะการเกิดการใหม่ในชีนกล้วยอบแห้ง	43

ภาค	หน้า
23 เปอร์เซ็นต์ความเสียหายในแต่ละสภาวะการอบแห้ง	44
24 กล่าวybonyแห้ง	46
25 โครงสร้างผิวน้ำกล่าวybonyแห้ง	49
26 โครงสร้างภายในของกล่าวybonyแห้งในแนวตัดขวาง	50
27 โครงสร้างภายในของกล่าวybonyแห้งที่ผ่านการพิธีทิมентаในแนวตัดขวาง โดยใช้ กำลังไม้โครงเวฟในการอบแห้งเพียงชั้นตอนเดียว	51
28 โครงสร้างภายในแนวตัดขวางของกล่าวybonyแห้งที่ผ่านการพิธีทิมента โดยอบแห้ง ภายใต้สุญญากาศระดับกลาง	52

สารบัญตารางผนวก

ตารางผนวก	หน้า
1 ความแปรปรวนทางสถิติของปัจจัยทั้ง 3 ปัจจัยที่มีผลต่อค่าความสว่าง (L*)	67
2 ความแปรปรวนทางสถิติของปัจจัยทั้ง 3 ปัจจัยที่มีผลต่อค่าสีแดง (a*)	67
3 ความแปรปรวนทางสถิติของปัจจัยทั้ง 3 ปัจจัยที่มีผลต่อค่าสีเหลือง (b*)	68
4 ความแปรปรวนทางสถิติของปัจจัยทั้ง 3 ปัจจัยที่มีผลต่อค่าความแข็ง	68
5 ความแปรปรวนทางสถิติของปัจจัยทั้ง 3 ปัจจัยที่มีผลต่อค่าความกรอบ	69
6 ตารางเปรียบเทียบค่าความสว่าง (L*) เคลื่อนของการอบแห้งทั้ง 2 ระดับ	69
7 ตารางเปรียบเทียบค่าสีแดง (a*) เคลื่อนของการอบแห้งทั้ง 2 ระดับ	69
8 ตารางเปรียบเทียบค่าสีเหลือง (b*) เคลื่อนของการอบแห้งทั้ง 2 ระดับ	70
9 ตารางเปรียบเทียบค่าความแข็ง (Hardness) เคลื่อนของการอบแห้งทั้ง 2 ระดับ	70
10 ตารางเปรียบเทียบค่าความกรอบ (Crispness) เคลื่อนของการอบแห้งทั้ง 2 ระดับ	70

สารบัญภาพพนวก

	หน้า
ภาพพนวก	หน้า
1 เครื่องชั่งคิดต่อตัว	64
2 เครื่องวัดสีอาหาร	64
3 เครื่องวัดเนื้อสัมผัสของอาหาร	65
4 เครื่องถ่ายภาพโครงสร้างภายใน	65
5 รายละเอียดภายในเครื่องอบแห้งในโครเวฟ-สุญญากาศ ระดับห้องปฏิบัติการ	81
6 รายละเอียดเครื่องอบแห้งในโครเวฟ-สุญญากาศ ระดับอุตสาหกรรม	82
7 รายละเอียดภายในเครื่องอบแห้งในโครเวฟ-สุญญากาศ ระดับอุตสาหกรรม	83

บทที่ 1

บทนำ

ความสำคัญของปัจจัย

กล้วยน้ำว้า (*Musa sapientum* Linn. Musaceae) เป็นพืชเศรษฐกิจที่สำคัญนิดหนึ่งของประเทศไทย สามารถส่งขายทั่วไปในประเทศไทยและต่างประเทศ ทำการเพาะปลูกได้ทั่วไปทุกภูมิภาคอีกทั้งให้ผลผลิตตลอดทั้งปีและเป็นผลไม้ที่มีคุณค่าทางโภชนาการที่อุดมไปด้วยวิตามินและแร่ธาตุต่างๆ เมื่อเทียบกับกล้วยหอมและกล้วยไข่ กล้วยน้ำว้าจะให้พลังงานมากที่สุด กล้วยน้ำว้าหวานและสุกมีธาตุเหล็กในปริมาณสูง ช่วยสร้างเม็ดเลือดแดง ป้องกันโรคโลหิตจาง มีแคลเซียม ฟอสฟอรัสและวิตามินซี ช่วยบำรุงกระดูก ฟันและเหงือกให้แข็งแรง มีเบต้าแคโรทีน ในอาชีนและใบอาหาร ช่วยระบบขับถ่าย (ฤทธิ์ไกร, 2547) แต่ด้วยคุณสมบัติของกล้วยน้ำว้าซึ่งมีอายุการเก็บเพียง 5-7 วันก่อนที่จะเน่าเสีย จึงได้มีวิธีการแปรรูปกล้วยน้ำว้าเพื่อคงปริมาณผลผลิตที่เกิดความสูญเสีย อีกทั้งยังเป็นการสร้างผลิตภัณฑ์ใหม่ขึ้นมาอีกด้วย

กรรมวิธีการแปรรูปกล้วยน้ำว้าทำได้หลายแบบ เช่น การอบแห้ง การแช่อิน การกวน และการทอด เป็นต้น การอบแห้งเป็นกรรมวิธีการแปรรูปอาหาร โดยการลดปริมาณน้ำที่เป็นประ予以ชนิดต่อการเจริญเติบโตของจุลินทรีย์ (Water activity, a_w) สามารถยับยั้งการทำงานของจุลินทรีย์ซึ่งเป็นสาเหตุของการเน่าเสีย ในปัจจุบันนิยมใช้การอบแห้งด้วยวิธีลมร้อน (Hot air drying) ซึ่งเป็นกระบวนการลดความชื้นออกจากกล้วยน้ำว้า โดยใช้หลักการพาความร้อนของอากาศร้อนซึ่งต้องใช้พลังงานสูง แต่ประสิทธิภาพที่ได้จากการอบแห้งต่ำ เนื่องจากอัตราการระเหยน้ำที่ผิวเร็วกว่าอัตราการแพร่ของน้ำภายในออกไประบบบริเวณพื้นผิวผลิตภัณฑ์ ทำให้บริเวณพื้นผิวของผลิตภัณฑ์แห้งและแข็งตัว (Case hardening) ส่วนผลให้การระเหยน้ำออกจากชั้นอาหารยกขึ้นภายนอกชั้นอาหาร จึงยังมีความชื้นอยู่ คุณภาพของผลิตภัณฑ์จึงลดลง นอกจากนี้การอบแห้งแบบลมร้อนยังใช้อุณหภูมิค่อนข้างสูงในการอบแห้ง จึงทำให้สูญเสียสารอาหารที่มีคุณค่าในกล้วยน้ำว้าได้ง่าย เช่น วิตามิน และแร่ธาตุต่างๆ เป็นต้น

ปัจจุบันในประเทศไทยเข้ามานึ่งบทบาทในกระบวนการแปรรูปอาหารอย่างมาก เช่น การประยุกต์ใช้ในโครเวฟร่วมกับการอบแห้งแบบลมร้อนในการอบแห้งเนื้อลำไย ซึ่งสามารถลดระยะเวลาในการอบแห้งได้ถึง 64.3% เมื่อเปรียบเทียบกับการอบแห้งแบบลมร้อนเพียงอย่างเดียว (Varith et al., 2007) เนื่องจากค่าน้ำในโครเวฟทำให้โมเลกุลของน้ำที่มีอยู่ในชั้นวัสดุเกิดการสั่นตัวจนทำให้เกิดการเปลี่ยนแปลงจากพลังงานค่าน้ำแม่เหล็กไฟฟ้าเป็นพลังงานความร้อน ส่งผลให้เกิด

ความร้อนจีนภายในชิ้นส่วน (Mousa and Farid, 2007) อีกทั้งกลืนไม่โกรเวฟสามารถหล่อหลังผ่านอาหารซึ่งเป็นวัสดุชีวภาพและสามารถให้ความร้อนได้ทั่วถึงอย่างรวดเร็ว (ชาตุพงศ์และคณะ, 2548; Buffler, 1993) นอกจากนี้ในโกรเวฟยังได้ถูกนำไปประยุกต์และผลไม้อื่นๆ อีกด้วย เช่น สมุนไพร มันฝรั่ง ถั่วเหลือง อรุณ (Ozkan et al., 2007) และกระเจี๊ยบ (Dadah, et al., 2007) เป็นต้น ดังนั้นจึงได้มีการประยุกต์ใช้ในโกรเวฟร่วมกับการอบแห้งในสภาวะสูญญากาศ เนื่องจากการอบแห้งในสภาวะสูญญากาศจะทำให้ผลิตภัณฑ์เกิดการพองตัว ซึ่งจะส่งผลให้ผลิตภัณฑ์มีความกรอบ (Lee and Kim, 2009) และเมื่อนำมาพิเศษ化ที่ผ่านการอบแห้งตัวขึ้นในโกรเวฟ-สูญญากาศมาวิเคราะห์โครงสร้างภายในด้วยวิธี Scanning electron microscope (SEM) พบว่าโครงสร้างภายในของมันฝรั่งที่อบแห้งด้วยวิธีในโกรเวฟ-สูญญากาศมีลักษณะรูพรุนมากกว่ามันฝรั่งที่ผ่านการอบแห้งแบบลมร้อน (Bondaruk et al., 2007) เมื่อเปรียบเทียบคุณภาพด้านสีของผลิตภัณฑ์ที่ผ่านการอบแห้งแบบในโกรเวฟ-สูญญากาศกับการอบแห้งแบบลมร้อน พบว่าผลิตภัณฑ์ที่อบแห้งแบบในโกรเวฟ-สูญญากาศมีความสว่างมากกว่าผลิตภัณฑ์ที่อบแห้งแบบลมร้อน (Drouzas et al., 1999) อีกด้วย

ดังนั้นผู้วิจัยจึงมีแนวคิดในการพัฒนาการอบแห้งโดยนำวิธีการอบแห้งแบบในโกรเวฟ-สูญญากาศมาประยุกต์ใช้ร่วมกัน เนื่องจากในสภาวะสูญญากาศ ซึ่งน้ำจะมีจุดเดือดต่ำกว่าในสภาวะบรรยายกาศปกติ เช่น การอบแห้งที่ความดันสูญญากาศที่ 10 kPa ทำให้น้ำในผลิตภัณฑ์มีจุดเดือดที่ต่ำลงประมาณ 50 °C อีกทั้งในสภาวะความดันต่ำจะส่งผลให้น้ำในผลิตภัณฑ์แพร่ออกมานอกจากน้ำที่ซึ่งช่วยลดระยะเวลาที่ใช้ในการอบแห้งและทำให้คุณภาพของผลิตภัณฑ์ดีขึ้น มีการสูญเสียสารอาหารน้อย (ฤทธิ์ไกร, 2547; Singh and Heldman, 1993)

งานวิจัยนี้จึงมุ่งเน้นในการสร้างตู้อบแห้งในโกรเวฟ-สูญญากาศระดับห้องปฏิบัติการ และศึกษาการอบแห้งกับลักษณะน้ำวิธีในโกรเวฟ-สูญญากาศเพื่อหาสภาวะเหมาะสม ได้แก่ การพรีทรีทเมนต์ ระดับความดัน และระดับกำลังในโกรเวฟ เพื่อเพิ่มประสิทธิภาพในการอบแห้ง และช่วยยกระดับคุณภาพของผลิตภัณฑ์คือว่าการอบแห้งด้วยลมร้อนธรรมชาติ

วัตถุประสงค์ของการวิจัย

1. เพื่อศึกษาและพัฒนาระบวนการอบแห้งกับลักษณะน้ำวิธีที่ดีที่สุดในโกรเวฟ-สูญญากาศระดับห้องปฏิบัติการ
2. เพื่อศึกษาหาปัจจัยที่มีผลกระทบต่ออัตราการอบแห้งและคุณภาพของผลิตภัณฑ์

ประโยชน์ที่ได้รับ

1. ทราบกลไกการอบแห้งในโครเวฟ-สุญญากาศ
2. ได้พัฒนาวิธีการอบแห้งซึ่งสามารถเพิ่มน้ำค่าให้กับกล้วยน้ำว้า
3. ได้กระบวนการอบแห้งในโครเวฟ-สุญญากาศที่ทำให้ได้กล้วยอบแห้งที่มีคุณภาพเพื่อนำไปขยายผลในทางอุตสาหกรรม

ขอบเขตของงานวิจัย

1. ทำการทดสอบอบแห้งเพื่อหาอัตราการอบแห้งและคุณภาพของกล้วยอบแห้งด้วยกล้วยน้ำว้าหันแวนหนา 3 mm
2. ทำการอบแห้งด้วยคลื่นไมโครเวฟที่มีความถี่ 2.45 GHz

บทที่ 2

การตรวจเอกสาร

ลักษณะทางพฤกษาศาสตร์กล้วยน้ำว้า

กล้วยเป็นพืชเศรษฐกิจที่สำคัญชนิดหนึ่งของไทยและเป็นที่รู้จักกันดีมี 3 ชนิด คือ กล้วยไข่ (AA กรุ๊ป) กล้วยหอม (AAA กรุ๊ป) และกล้วยน้ำว้า (ABB กรุ๊ป) ซึ่งมีชื่อสามัญ คือ Pisang awak และชื่อวิทยาศาสตร์ คือ *Musa sapientum* Linn. Musaceae (Ferris et al., 1999)

กล้วยน้ำว้าสามารถพบได้ในทุกภาคของประเทศไทย มีลักษณะโดยทั่วไป คือ ลำต้นสูงไม่เกิน 3.5 m เส้นผ่านศูนย์กลาง 15 cm การลำต้นด้านนอกมีสีเขียวอ่อน มีประดาบ้าง เล็กน้อย ก้านใบมีร่องค่อนข้างแคบ เส้นกลางใบสีเขียว ก้านช่อดอกไม้มีขน ปลีรูปไข่ค่อนข้างป้อม ปลายเป็น ด้านนอกสีแดงอมม่วงมีนวลหนา ด้านในมีสีแดงเข้ม เครื่องหนั่งมีประมาณ 7-10 หัว หัวหนึ่ง มี 10-16 ผล ก้านผลยาว เปลือกหนา สุกมีสีเหลืองเนื้อสีขาว รสหวาน ไส้กลางมีสีเหลือง ชมพหรือขาว ทำให้แบ่งออกเป็นกล้วยน้ำว้าเหลือง กล้วยน้ำว้าแดง และกล้วยน้ำว้าขาว

คุณค่าทางอาหารของกล้วยน้ำว้า

กล้วยน้ำว้าจัดได้ว่าเป็นผลไม้ที่มีคุณค่าทางโภชนาการสูง สามารถรับประทานได้ ทั้งผลสดและแปรรูป ซึ่งในกล้วยน้ำว้าประกอบด้วย ครคแอมิโน วิตามินเอ วิตามินบี วิตามินซี แคลเซียม เหล็ก และโพแทสเซียม เป็นต้น ในกล้วยน้ำว้าดิบจะมีเพคติน (Pectin) ส่วนในกล้วยน้ำว้าสุกจะมีนอร์รีพินเฟรน (Norepinephrine) และเซอโรโทนิน (Serotonin) ซึ่งมีอยู่ในเปลือกและเนื้อ果ล้วยทุกชนิดในปริมาณที่แตกต่างกัน เมื่อเทียบกับกล้วยหอมและกล้วยไข่ กล้วยน้ำว้าจะให้พลังงานมากที่สุด กล้วยน้ำว้าหารมและสุกมีธาตุเหล็กในปริมาณสูงช่วยสร้างเม็ดเลือดแดงและป้องกันโรคโลหิตจาง มีแคลเซียม ฟอสฟอรัส และวิตามินซีช่วยบำรุงกระดูก ฟัน และเหงือกให้แข็งแรง ช่วยให้ผิวพรรณดี มีเบต้าแคนโธทิน ในอาชีนและไขอาหาร ช่วยให้ระบบขับถ่ายคล่อง (คงจันทร์, 2545) หากเทียบปริมาณที่รับประทาน 100 g พบร้า สามารถจำแนกสารอาหารที่พบในกล้วยน้ำว้าได้ดังตาราง 1

ตาราง 1 ปริมาณส่วนประกอบคุณค่าทางอาหารของกล้วยน้ำว้า ในส่วนที่รับประทานได้ 100 g

สารอาหาร	ปริมาณสารอาหาร
พลังงาน (kcal)	122
โปรตีน (g)	1.2
คาร์โบไฮเดรต (g)	26.1
ไขมัน (g)	0.3
วิตามินเอ (ml)	375
วิตามินบีหนึ่ง (ml)	0.03
วิตามินบีสอง (ml)	0.04
วิตามินซี (ml)	14
ไนอาซิน (ml)	0.6
แคลเซียม (mg)	12
ฟอสฟอรัส (mg)	32
เหล็ก (mg)	0.8
น้ำ (g)	71.6

ที่มา: ลั่นทม (2535)

การสุกของกล้วย

การสุกของผลไม้รวมทั้งกล้วยน้ำว้าหลังการเก็บเกี่ยว มีการเปลี่ยนแปลงทางสรีระและเคมี การเปลี่ยนแปลงนี้เป็นตัวกำหนดคุณภาพของผลไม้ การเปลี่ยนแปลงที่เกิดขึ้น ได้แก่ การเปลี่ยนสี การอ่อนตัวของเนื้อเยื่อ การสัมเคราะห์น้ำตาล ก้าชเอทธิน และมีอัตราการหายใจเปลี่ยนไป การสุกของผลไม้จะเกิดขึ้นเฉพาะผลไม้ประเภท Climacteric เท่านั้น ผลไม้สุกส่วนมากเนื้อจะนิ่มเป็นพломาจากการเปลี่ยนแปลงของเนื้อไม้เดกุลต่างๆ ภายในผนังเซลล์โดยเฉพาะอย่างยิ่ง เพคติน นอกจากนั้นยังเกิดจากการที่เปลี่ยนแปลงเป็นน้ำตาลและเกิดจากการสูญเสียน้ำออกไปจากผลิตผล

จากเหตุผลดังกล่าวข้างต้นจึงมีความจำเป็นที่จะต้องทำการศึกษาถุนภัยการสุกของกล้วยเพื่อใช้ในการกำหนดเป็นมาตรฐานในการคัดเลือกกล้วยให้มีระยะความสุกใกล้เคียงกันมาใช้ในงานวิจัย และจากการศึกษาพบว่า CSIRO (1972) ได้จำแนกลักษณะขั้นตอนของการสุกของ

กล้วยออกเป็นระยะต่างๆ ของกล้วยหอม ซึ่งสามารถนำมาอ้างอิงลักษณะการสุกของกล้วยน้ำว้า ดังภาพ 1 ดังนี้

ระยะที่ 1 เปลือกเฉียว ผลแข็ง ไม่มีการสุก

ระยะที่ 2 เริ่มเปลี่ยนสีจากเฉียวออกเหลืองเล็กน้อย

ระยะที่ 3 เริ่มเปลี่ยนสีจากเฉียวออกเหลืองมากขึ้นแต่ยังมีสีเฉียวมากกว่าสีเหลือง

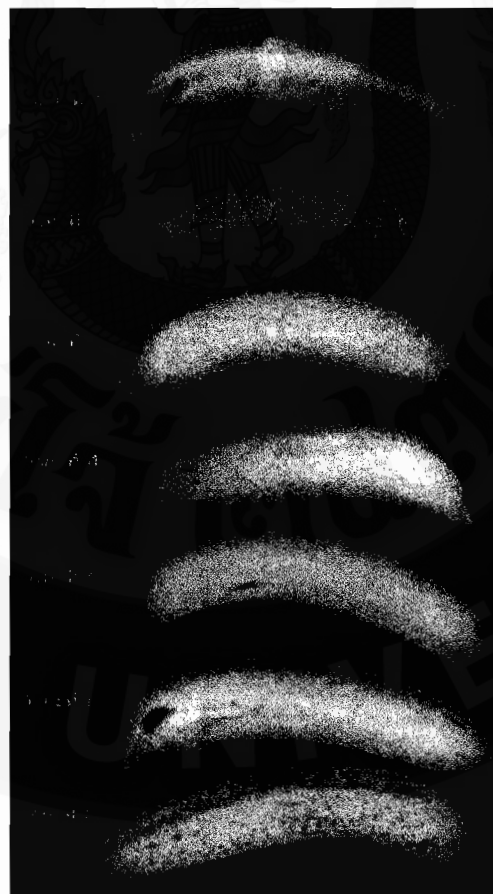
ระยะที่ 4 เริ่มเปลี่ยนสีจากเฉียวออกเหลืองและมีสีเหลืองมากกว่าสีเฉียว

ระยะที่ 5 เปลือกเป็นสีเหลืองแต่ปลายชั้งเป็นสีเฉียว

ระยะที่ 6 ทั้งผลมีสีเหลือง (ผลสุก)

ระยะที่ 7 ผิวสีเหลืองและเริ่มมีจุดสีน้ำตาล (สุกเต็มที่ มีกลิ่นหอม)

ระยะที่ 8 ผิวสีเหลืองและเริ่มมีจุดสีน้ำตาลมากขึ้น (สุกมากเกินไป เนื้อเริ่มอ่อนตัว และมีกลิ่นแรง)



ภาพ 1 ระยะการสุกของผลกล้วย

ที่มา: เบญจมาศ (2545)

ในงานวิจัยนี้ได้เลือกใช้กลั่นน้ำว้าที่มีระบบการสูกอยู่ในระดับที่ 4 ซึ่งรายละเอียดจะได้กล่าวถึงต่อไปในบทที่ 3

การอบแห้ง

การอบแห้งโดยทั่วไป หมายถึง การกำจัดน้ำหรือความชื้นออกจากวัสดุ โดยการระเหยน้ำออกจากชิ้นวัสดุเกย์ครอนน์ เพื่อจุดประสงค์ในการลดน้ำหนักในการขนส่ง (Pushpa et al., 2006) และช่วยยืดอายุการเก็บรักษา (Barbosa-Cánovas and Vega-mercado, 1996) เป็นต้น โดยลดความชื้นของวัสดุเกย์ครอนน์ในระดับที่สามารถรับการเจริญเติบโตของจุลินทรีย์ หรือลดค่าอว托อร์แอกทิวิตี้ (a_w) ให้อยู่ในระดับต่ำกว่าระดับที่จุลินทรีย์สามารถเจริญเติบโตได้ ดังจะเห็นได้จากระดับของค่าอว托อร์แอกทิวิตี้ที่จุลินทรีย์สามารถเจริญเติบโตได้ดังนี้ (สินธนา, 2546)

แบคทีเรีย โดยทั่วไปจะเจริญได้ที่ a_w มากกว่า 0.91

เชื้อรา โดยทั่วไปจะเจริญได้ที่ a_w มากกว่า 0.86

เชื้อรา โดยทั่วไปจะเจริญได้ที่ a_w มากกว่า 0.60

กราฟการอบแห้ง

การอบแห้งวัสดุเกย์ครอนน์จะเกิดขึ้นเป็นช่วง ๆ ซึ่งแบ่งแยกได้ตามขั้นตอนการอบแห้งดังแสดงในรูปที่ 1 เส้นกราฟ A-B แสดงถึงช่วงระยะเวลาให้ความร้อน (Warming up period) ซึ่งอาจจะไม่เกิดขึ้นก็ได้ เส้นกราฟ B-C แสดงถึงช่วงระยะเวลาอบแห้งคงที่ (Constant rate period) และส่วนสุดท้ายเส้นกราฟ C-E แสดงถึงช่วงระยะเวลาอบแห้งลดลง (Falling rate period) ซึ่งสามารถแบ่งแยกออกได้เป็น 2 ช่วง คือ ช่วงระยะเวลาอบแห้งลดลงครั้งแรก (First falling rate period) ซึ่งอยู่ในช่วงเส้นกราฟ C-D และระยะเวลาอบแห้งลดลงครั้งที่สอง (Second falling rate period) ซึ่งอยู่ในช่วงเส้นกราฟ D-E (สุเนตร, 2549)

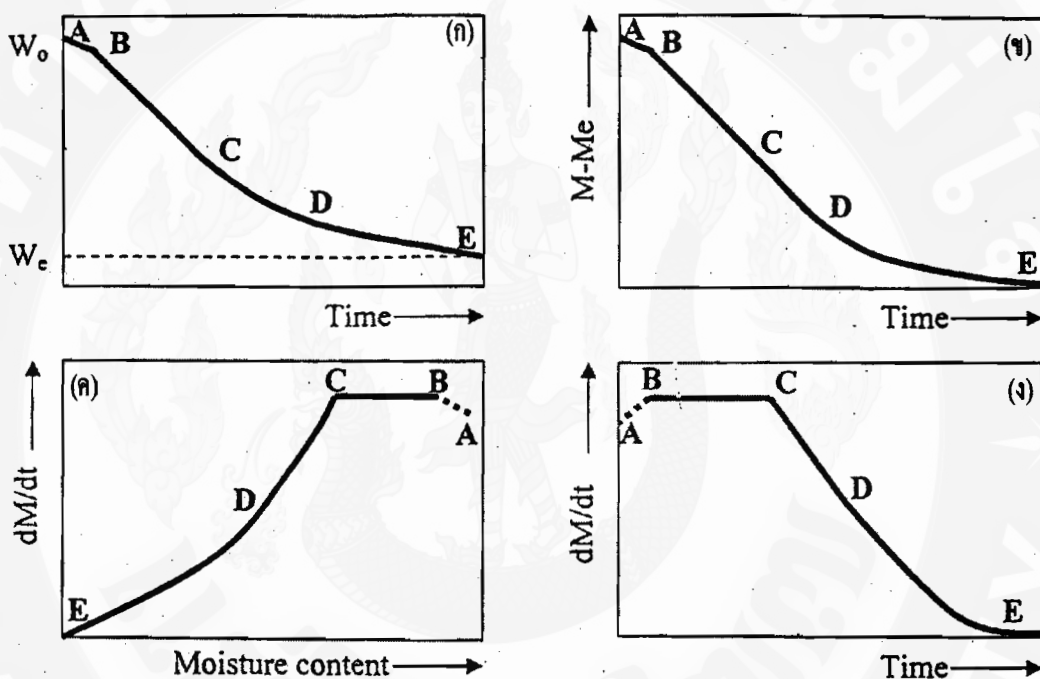
กระบวนการทั่วๆ ไปในการอบแห้งเกิดขึ้นภายใน 3 กรณีดังนี้

1. การระเหยน้ำที่ผิววัสดุและความด้านทานต่อแรงโน้มถ่วงยึดภายนอกของน้ำมีค่าต่ำเมื่อเทียบกับความด้านทานต่อการเคลื่อนย้ายไปน้ำจากผิววัสดุ

2. การระเหยน้ำที่ผิววัสดุและความด้านทานต่อแรงโน้มถ่วงยึดภายนอกของน้ำมีค่าสูงเมื่อเทียบกับความด้านทานต่อการเคลื่อนย้ายไปน้ำจากผิววัสดุ

3. การระเหยน้ำจากภายนอกของน้ำมีค่าสูงกว่าความด้านทานต่อการเคลื่อนย้ายไปน้ำจากผิววัสดุ

การอบแห้งวัสดุอย่างโดยย่างหนึ่งไม่จำเป็นจะต้องเป็นไปตามทั้ง 3 กรณีดังกล่าว ข้างต้น ความต้านทานต่อการระเหยน้ำจากผิวน้ำซึ่งอัตราการอบแห้งมักจะคงที่ จะตรงกับการเคลื่อนย้ายความชื้นในกรณีที่ 1 แต่เมื่อขบวนการอบแห้งดำเนินต่อไป น้ำที่บรรจุอยู่ในวัสดุมีค่าลดลง กลไกการอบแห้งมักจะเปลี่ยนไปเป็นกรณีที่ 2 และ 3 ซึ่งอัตราการอบแห้งมักจะลดลงและความชื้นที่ซึ่งอัตราการอบแห้งเริ่มลดลงเรารายกว่า ความชื้นวิกฤต (Critical moisture content) ดังนั้นเมื่อความชื้นของวัสดุมีค่าน้อยกว่าความชื้นวิกฤต แสดงว่าสิ่งสุดอัตราการอบแห้งคงที่



ภาพ 2 กระบวนการแห้งที่เกิดขึ้นกับวัสดุเกษตร

หมายเหตุ (ก) น้ำหนักกับเวลา (ข) ความชื้นของวัสดุกับเวลา

(ค) อัตราการอบแห้งกับความชื้นของวัสดุ (ง) อัตราการอบแห้งกับเวลา

ที่มา: Mongpraneet (2003)

1. ช่วงการให้ความร้อนแก่าวัสดุ (Warming-up drying period)

จากภาพ 2(ก) อยู่ในช่วงเส้นกราฟ A-B ซึ่งถือเป็นระยะที่อุณหภูมิของผลผลิตเพิ่มขึ้นจนกระทั่งเท่ากับอุณหภูมิกระเพาะเปียกของอากาศที่ใช้ในการลดความชื้น น้ำที่ระเหยในระยะนี้จึงเป็นน้ำอิสระ (Free water) ที่ไม่จับรวมกันกับโมเลกุลของสารอื่น จึงเกิดขึ้นภายในระยะเวลาที่สั้นมาก และสังเกตเห็นช่วงระยะนี้ได้ค่อนข้างยาก โดยเฉพาะหากผลผลิตมีความชื้น

เริ่มต้นไม่สูงนัก เช่น พากเนลีคพีช จึงนักจะไม่พิจารณาเมื่อเทียบกับระยะเวลาในการอบแห้งทั้งหมด อัตราการอบแห้ง (Drying rate) ที่เกิดขึ้นในระยะนี้สามารถเขียนเป็นสมการได้ดังสมการ (1)

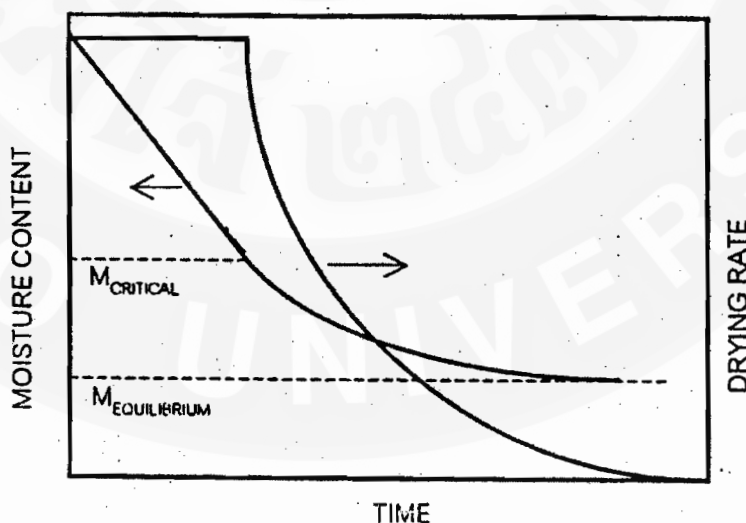
$$\frac{dM}{dt} \approx 0 \quad (1)$$

2. ช่วงระยะเวลาอบแห้งคงที่ (Constant-rate drying period)

จากภาพ 2(ง) อยู่ในช่วงเส้นกราฟ B-C ระยะเวลาอบแห้งคงที่เกิดขึ้นในวัสดุเมื่อความด้านภายในต่อการเคลื่อนข่ายความชื้นมีค่า�่อน้อยกว่าความด้านทานภายในต่อการเคลื่อนข่ายไอน้ำจากผิววัสดุ น้ำในวัสดุจะเคลื่อนตัวจากภายในสู่ผิวเพื่อทัดแทนน้ำที่ระเหยจากผิวสู่บรรยากาศภายนอก ผิวของผลผลิตที่กำลังอบแห้งจึงชุ่มด้วยน้ำเสมอ ค่าวอเตอร์แอกทิวิตี้ที่ผิวจึงมีค่าเท่ากับ 1 ในระยะนี้อัตราการอบแห้งจะมีค่าคงที่และสูงสุด

3. ช่วงระยะเวลาอบแห้งลดลง (Falling rate period)

จากภาพ 2(ง) อยู่ในช่วงเส้นกราฟ C-E เมื่อความชื้นของผลผลิตลดลงถึงจุดหนึ่งซึ่งเรียกว่า ความชื้นวิกฤต (Critical moisture content) การเคลื่อนตัวของน้ำจากภายในออกมาสู่ผิวภายนอกเป็นไปได้ยากขึ้น จึงไม่สามารถทัดแทนน้ำที่ระเหยจากผิวออกไป ดังนั้นในระยะนี้ อัตราการอบแห้งจะค่อยๆ ลดลงและผิวของวัสดุจะอยู่ในสภาพที่แห้ง



ภาพ 3 การอบแห้งในช่วงอัตราการอบแห้งคงที่และลดลง

ที่มา: สมชาติ (2540)

สมการการอบแห้ง

สมการจานศាសตร์ของการอบแห้งอินพิริคัล คือ สมการที่สร้างจากแนวโน้ม
ข้อมูลการทดลองสำหรับผลิตภัณฑ์ในช่วงความชื้น ระดับสุญญากาศ และระดับกำลังไมโครเวฟที่
ใช้ในการอบแห้งหนึ่งๆ ซึ่งพบว่า สามารถใช้ทำนายอัตราการอบแห้งได้ดี แต่มีข้อจำกัดในเรื่อง
เงื่อนไขการอบแห้งที่ต้องการต้องตรงกับสภาวะการทดลอง สำหรับสมการจานศាសตร์ของการ
อบแห้งอินพิริคัลมีหลักสมการเดียวกันในการอบแห้งด้วยไมโครเวฟดังนี้

สมการแบบจำลองของ Newton

$$MR = \exp(-kt) \quad (2)$$

สมการแบบจำลองของ Page

$$MR = \exp(-kt^n) \quad (3)$$

สมการแบบจำลองคัดแปลงของ Page

$$MR = \exp[-(kt)^n] \quad (4)$$

สมการแบบจำลองคัดแปลงของ Henderson and Pabis

$$MR = a \exp(-kt) \quad (5)$$

โดย

- MR = อัตราส่วนความชื้น
- k = ค่าคงที่การอบแห้ง (minute^{-1})
- t = เวลา (minute)
- a, n = ค่าคงที่ซึ่งขึ้นอยู่กับชนิดของวัสดุ

โดยการหาอัตราส่วนความชื้นทางได้จากสมการ (6)

$$MR = \frac{M - M_{eq}}{M_i - M_{eq}} \quad (6)$$

โดย

- MR = อัตราส่วนความชื้น
- M = ความชื้น ณ เวลา n (%)db
- M_i = ความชื้นเริ่มต้น (%)db
- M_{eq} = ความชื้นสมดุล (%)db)

และค่าความชื้นสมดุลสามารถคำนวณได้จากสมการ (7)

$$M_{eq} = A(RH/1-RH)^B \quad (7)$$

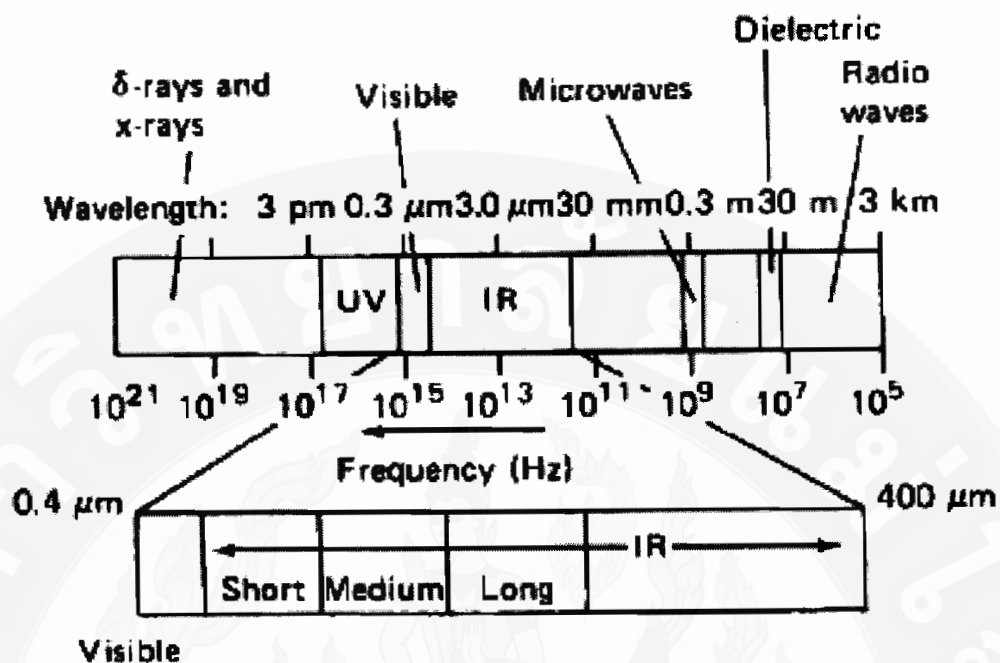
โดย

- A, B = ค่าคงที่ซึ่งขึ้นอยู่กับชนิดของผลผลิตทางการเกษตร
- RH = ความชื้นสัมพัทธ์อากาศ (ทศนิยม)

จากการศึกษางานวิจัยที่เกี่ยวข้องกับการอบแห้งในโครเวฟ-สูญญากาศ (Drouzas et al., 1996; Maskan, 2000; Soysal, 2004) พบว่า ในการอบแห้งแบบในโครเวฟ-สูญญากาศสามารถกำหนดให้ค่าความชื้นสมดุลของวัสดุให้มีค่าเท่ากับศูนย์ เนื่องจากการอบแห้งแบบในโครเวฟ-สูญญากาศได้ทำการคุณภาพออกจากตู้อบแห้งตลอดเวลา จึงส่งผลให้ค่าความชื้นสัมพัทธ์ในอากาศภายในตู้อบมีค่าน้อยมากหรือเท่ากับศูนย์ จึงส่งผลให้ค่าความชื้นสมดุลเท่ากับศูนย์ด้วย

คลื่นไมโครเวฟ

คลื่นไมโครเวฟ คือ คลื่นแม่เหล็กไฟฟ้า (Electromagnetic) ชนิดหนึ่ง ซึ่งมีความถี่ตั้งแต่ 100 MHz-10 GHz ดังภาพ 4



ภาพ 4 ช่วงความถี่และความยาวคลื่นแม่เหล็กไฟฟ้าชนิดต่าง ๆ

ที่มา: วิໄລ (2543)

จากภาพ 4 จะเห็นว่าคลื่นไมโครเวฟมีความถี่อยู่ระหว่างความถี่ของคลื่นวิทยุ ที่วี และคลื่นอินฟราเรด (Infrared) ความถี่ตัดขึ้นไป คือ แสงที่เรามองเห็น สูงขึ้นไป คือ รังสีเอ็กซ์ (X-Rays) และรังสีแกมม่า (Gamma rays) ตามลำดับ

Regier and Schubert (2005) ได้ทำการศึกษาพบว่า ปัจจุบันได้มีการประยุกต์ใช้งานคลื่นไมโครเวฟในการแปรรูปอาหาร โดยได้ใช้ระดับความถี่ 915 MHz ในระดับอุตสาหกรรม และระดับความถี่ 2,450 MHz ในระดับครัวเรือน

เราสามารถแบ่งการแผ่รังสีของคลื่นตามความถี่ได้ 2 แบบ คือ

1. การแผ่รังสีแบบไม่ทำให้อะตอนภายในสารแตกตัว (Nonionizing rays) ได้แก่ คลื่นวิทยุ ที่วี ไมโครเวฟ เรดาร์ (Radar) อินฟราเรด และแสงที่ตามองเห็น ซึ่งคลื่นเหล่านี้เป็นอันตรายกับสิ่งมีชีวิตน้อยมาก

2. การแผ่รังสีแบบทำให้อะตอนของสารแตกตัว (Ionizing rays) ได้แก่ แสง-อัลตร้าไวโอลেต (Ultraviolet) รังสีเอ็กซ์ (X-Rays) รังสีแกมม่า (Gamma rays) ซึ่งคลื่นเหล่านี้ทำอันตรายกับสิ่งมีชีวิต ได้ ถ้าได้รับรังสีในปริมาณมากๆ เช่น การฉายรังสีแกมม่าเพื่อกำจัดเซลล์มะเร็ง จะทำให้เซลล์ของสิ่งมีชีวิตเปลี่ยนแปลงหรือเสียสภาพได้

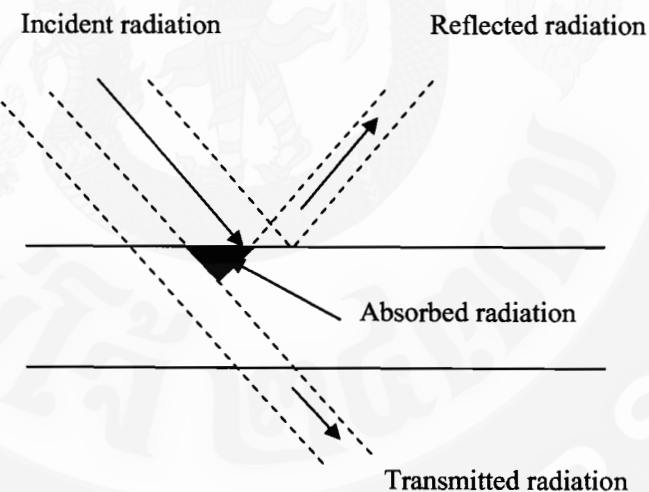
คุณสมบัติของคลื่นไมโครเวฟ

คลื่นไมโครเวฟ มีลักษณะ 3 อายุ่งคือ

1. การสะท้อนของคลื่น (Reflection) คลื่นไมโครเวฟ เมื่อส่งไปสู่โลกจะเกิดการสะท้อนกลับ คลื่นไม่สามารถทะลุผ่านโลกไปได้ ดังนั้นจึงส่งผลให้ไม่เกิดความร้อนในวัสดุที่ถูกห่อหุ้มด้วยโลก

2. การทะลุผ่านของคลื่น (Penetration or Transparant) คลื่นไมโครเวฟสามารถทะลุผ่านวัสดุบางชนิด คล้ายเช่นกระดาษหน้าต่างที่ยอมให้แสงธรรมชาติทะลุผ่านได้ วัสดุที่เป็นที่รักกันเพร่หลายของการทะลุผ่านของคลื่น ได้แก่ แก้ว เป็นต้น

3. การดูดคลื่นของคลื่น (Absorption) คลื่นไมโครเวฟ สามารถดูดคลื่นได้โดยอาหาร น้ำ หรือวัสดุที่มีส่วนประกอบของน้ำอยู่ ซึ่งจะส่งผลทำให้กำลังงานของคลื่นไมโครเวฟลดลงไป และจะเปลี่ยนสภาพจากพลังงานคลื่นแม่เหล็กไฟฟ้าเป็นพลังงานความร้อน ทำให้เกิดความร้อนขึ้นในวัสดุนั้น



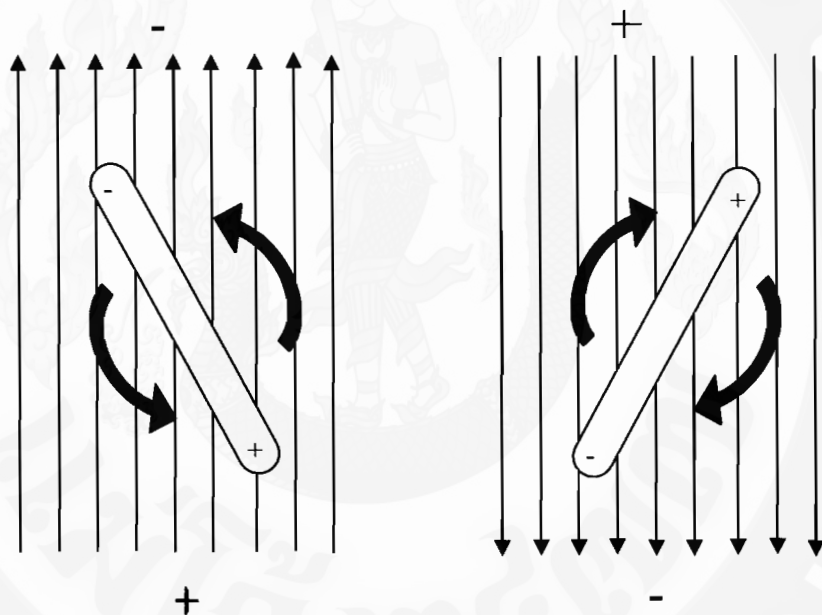
ภาพ 5 คุณลักษณะของคลื่นไมโครเวฟ

กลไกการเกิดความร้อนด้วยไมโครเวฟ

เมื่อคลื่นไมโครเวฟถูกดูดซับเข้าสู่ชั้นวัสดุจะเกิดความร้อนได้ใน 2 ลักษณะร่วมกัน ซึ่งได้แก่

1. Ionic Polarization เป็นการเกิดความร้อนเนื่องจาก ผลของการเคลื่อนที่ของ ไอออนในสารละลาย เมื่อเข้าไปอยู่ในสنانามไฟฟ้า แต่ละไอออนซึ่งมีประจุไฟฟ้าประจำตัวจะถูก กระตุ้นและเร่งให้มีการเคลื่อนที่จึงทำให้เกิดการเสียดสีกันขึ้นกับไอออนอื่นๆ และมีการเปลี่ยน พลังงานจนมาเป็นพลังงานความร้อนแล้วจึงกระจายความร้อนไปสู่ส่วนอื่นๆ ต่อไป การเกิดความร้อนแบบนี้ เกิดได้ในของเหลวภายในเซลล์ซึ่งอยู่ในรูปของสารละลาย

2. Dipole Rotation เป็นการเกิดความร้อนกับสารประกอบมีขั้ว (Polar) ได้แก่น้ำ น้ำแข็ง ในสภาพปกติสารประกอบนี้จะเรียงตัวประจุบวกและลบอย่างไม่มีระเบียบ เมื่อเข้าอยู่ใน สنانามไฟฟ้าประจุบวกและประจุลบของสารนี้ จะเคลื่อนที่เปลี่ยนทิศทางเพื่อเรียงตัวอย่างมี ระเบียบ ดังภาพ 6



ภาพ 6 กลไกการเกิดความร้อนคลื่น ไมโครเวฟ

ที่มา: Singh and Heldman (1993)

การเคลื่อนที่ด้วยการหมุนตัวกลับไปกลับมาจะเกิดอย่างรวดเร็วตามระดับความถี่ ของคลื่น ไมโครเวฟ คือ 915-2,450 ล้านครั้งต่อ 1 วินาที ซึ่งผลของการเร็วในการหมุนตัวและการ เสียดสีกันทำให้เกิดความร้อนขึ้นและเป็นลักษณะการเกิดความร้อนที่สำคัญ ความร้อนที่เกิดจากทั้ง สองรูปแบบดังกล่าวที่จุดซึ่งวัสดุสัมผัสกับ ไมโครเวฟแล้วจึงกระจายตัวออกไปยังส่วนอื่น เนื่องจาก ผลกระทบของการเดือดของน้ำโดยการนำความร้อนด้วยและเป็นไปอย่างต่อเนื่อง ดังนั้นการอบแห้งด้วย ไมโครเวฟจึงสามารถทำให้เกิดความร้อนได้อย่างรวดเร็ว โดยทำให้เกิดความร้อนที่เป็นรูปแบบ

และสูญเสียพลังงานน้อย เมื่อเปรียบกับการอบแห้งแบบลมร้อน (Baysal et al., 2003; Kardum et al., 2001; Maskan, 2001; Sharma and Prasad, 2006; Tulasidas et al., 1995)

ความลึกในการทะลุผ่านของคลื่นไมโครเวฟ

ความลึกในการทะลุผ่านของคลื่นไมโครเวฟจะขึ้นอยู่กับค่า Dielectric constant (Dielectric) ของวัสดุ ความยาวคลื่น และความถี่ของคลื่นไมโครเวฟ ดังจะเห็นได้จากสมการ (8)

$$d_p = \frac{\lambda \sqrt{\epsilon'}}{2\pi \epsilon''} \quad (8)$$

โดย

- d_p = ความลึกในการทะลุผ่านของคลื่นไมโครเวฟ (m)
- λ = ความยาวของคลื่นไมโครเวฟ (m)
- ϵ' = ค่า Dielectric constant
- ϵ'' = ค่า Dielectric loss factor

เนื่องจากไมโครเวฟจะสูญเสียพลังงานในรูปของความร้อนในขณะที่แทรกเข้าไปในวัสดุ ดังนั้นมีค่า Dielectric loss factor ยิ่งสูง จะส่งผลให้การเกิดความร้อนมากขึ้น และจะทำให้การทะลุผ่านของคลื่นได้สั้นลงก่อนที่พลังงานทั้งหมดจะถูกใช้ไป

จากการคำนวณเพื่อหาความเหมาะสมของความหนาของชั้นกล้ำยโดยใช้ค่า ϵ' เท่ากับ 60 และ ϵ'' เท่ากับ 18 (Venkatesh and Raghavan, 2004) พบว่า ความลึกในการทะลุผ่านของคลื่นไมโครเวฟเท่ากับ 8.37 mm และได้ทำการกำหนดความหนาของชั้นกล้ำยหันที่ใช้ในการอบแห้งเท่ากับ 3 mm

ปัจจัยที่มีผลต่อการอบแห้งด้วยไมโครเวฟ

จากการศึกษาของ Sanga et al. (2000) พบว่า การอบแห้งด้วยไมโครเวฟมีปัจจัยมากมายหลายชนิดที่มีผลต่อคุณภาพอาหารที่ได้จากการอบแห้งซึ่งจำเป็นต้องมีการศึกษาก่อนการอบแห้งเพื่อสามารถผลิตอาหารออกมาได้ดี ปัจจัยเหล่านี้ ได้แก่

1. ปริมาณความชื้นในอาหาร น้ำที่อุณหภูมิ 25°C มีค่าคงที่ไดอิเล็กตริกสูงถึง 78 โดยค่าคงที่ไดอิเล็กตริกที่สูงของน้ำจะมีผลอย่างมากต่อวัสดุชั้นในกระบวนการอบแห้งด้วย

ในโครเวฟ โดยวัสดุที่มีปริมาณความชื้นสูงจะมีค่าคงที่ไดอิเล็กตริกสูงด้วย เมื่อค่าความชื้นเพิ่มขึ้น ค่าคงที่ไดอิเล็กตริกและค่าแฟกเตอร์การสูญเสียไดอิเล็กตริกก็จะเพิ่มขึ้นด้วย ในกระบวนการอบแห้งน้ำในอาหารจะอยู่ใน 2 รูปแบบคือ น้ำอิสระ (Free water) และน้ำที่เกาะอยู่กับโมเลกุลอาหาร (Bound water) ค่าแฟกเตอร์การสูญเสียไดอิเล็กตริกของน้ำที่เกาะอยู่กับโมเลกุลอาหารมีค่าเท่ากับ 0.003 ในขณะที่น้ำอิสระมีค่าเท่ากับ 12 ส่งผลให้น้ำทั้ง 2 แบบ เกิดการหมุนของอนุภาค (Rotation) เพื่อให้เกิดความร้อนแตกต่างกันเมื่อนำไปไวร์ในสนามแม่เหล็กไฟฟ้า ดังนั้นอาหารที่มีปริมาณน้ำอิสระอยู่มากจึงตอบสนองต่อการอบแห้งด้วยไมโครเวฟได้มากกว่าอาหารที่มีน้ำอิสระอยู่น้อย

2. ความหนาแน่น โดยปกติอาหารจะเป็นจำนวนความร้อนที่ดี ดังนั้นอาหารที่โปร่งหรือพอง มีอากาศแทรกอยู่มากจะทำให้ร้อนได้ช้า เนื่องจากค่าคุณสมบัติไดอิเล็กตริกของอาหารนั้นจะน้อยกว่ากับค่าแฟกเตอร์การสูญเสียไดอิเล็กตริกของอากาศซึ่งมีค่าน้อยมากเมื่อเปรียบเทียบกับค่าแฟกเตอร์การสูญเสียไดอิเล็กตริกของน้ำหรือตัวทำละลายอื่น

3. อุณหภูมิ ที่สภาวะอุณหภูมิต่ำกว่าจุดเยือกแข็ง คุณสมบัติไดอิเล็กตริกจะมีค่าต่ำมาก แต่ที่สภาวะอุณหภูมิสูงกว่าจุดเยือกแข็ง อุณหภูมิจะมีผลต่อค่าคุณสมบัติไดอิเล็กตริกแตกต่างกันไปขึ้นอยู่กับชนิดของวัตถุนั้น สำหรับของเหลวอุณหภูมนักไม่มีผลอย่างมีนัยสำคัญทางสถิติต่อค่าคงที่ไดอิเล็กตริก แต่มีผลต่อค่าแฟกเตอร์การสูญเสียไดอิเล็กตริก โดยอุณหภูมิเพิ่มขึ้น ค่าแฟกเตอร์การสูญเสียไดอิเล็กตริกก็จะเพิ่มขึ้นด้วย

4. ค่าความร้อนจำเพาะ ค่าความร้อนจำเพาะนี้ไม่มีผลต่อค่าคุณสมบัติไดอิเล็กตริกของอาหาร แต่ช่วยอธิบายได้ว่าทำไวน์ตุณแต่ละชนิดจึงสามารถให้ความร้อนได้เร็วแตกต่างกันไป ถ้าวัตถุมีค่าความร้อนจำเพาะต่ำวัตถุนั้นสามารถเพิ่มอุณหภูมิให้สูงขึ้นได้อย่างรวดเร็ว เร็วกว่าวัตถุที่มีค่าความร้อนจำเพาะสูง ในกรณีที่อาหารมีค่าสัมประสิทธิ์การเปลี่ยนพลังงานต่ำ ค่าความร้อนจำเพาะจะมีส่วนช่วยให้การให้ความร้อนด้วยไมโครเวฟเป็นไปด้วยดี การควบคุมค่าความร้อนจำเพาะเป็นเทคนิคหนึ่งในการให้ความร้อนกับอาหารที่มีองค์ประกอบหลากหลายประเภท โดยจัดสัดส่วนขององค์ประกอบให้มีค่าความร้อนจำเพาะใกล้เคียงกัน

5. ค่าการนำความร้อน โดยค่าการนำความร้อน ค่าคงที่ไดอิเล็กตริก และค่าแฟกเตอร์การสูญเสียไดอิเล็กตริก เป็นค่าที่บ่งบอกถึงประสิทธิภาพในการให้ความร้อนด้วยไมโครเวฟกับอาหารนั้น ๆ ซึ่งค่าการนำความร้อนจะไม่มีผลต่อค่าคงที่ไดอิเล็กตริกของอาหาร แต่เป็นค่าสำคัญที่บ่งบอกถึงการถ่ายเทการกระจายพลังงานภายในชิ้นอาหาร เมื่อบนแห้งด้วยไมโครเวฟ วัตถุจะได้รับพลังงานไมโครเวฟ แล้วจึงเกิดถ่ายเทพลังงานความร้อนที่ได้รับไปยังบริเวณข้างเคียง ดังนั้นถ้าอาหารนั้นมีค่าการนำความร้อนที่ดี จะแสดงให้เห็นว่า อาหารนั้นจะเกิดการกระจายความร้อนอย่าง

ทั่วถึงและสามารถหลีกเลี่ยงการเกิดชุดที่มีอุณหภูมิสูงมากเกิน (Overheating) ซึ่งอาจทำให้เกิดการไหม้ของอาหารได้

6. ความลึกที่คลื่นผ่านชั้นอาหาร (Penetration depth) ความลึกที่คลื่นผ่านชั้นอาหารนี้ คือ ความสามารถที่คลื่นไมโครเวฟที่ตัดกระบวนการบริเวณพื้นผิวแทรกผ่านเข้าไปในชั้นอาหารและพลังงานลดลงร้อยละ 37 ค่าความลึกที่คลื่นผ่านชั้นอาหารนี้ไม่ใช่เป็นค่าคุณสมบัติเฉพาะของชั้นอาหาร แต่เป็นผลกระบวนการเนื่องจากคุณสมบัติโดยรวมของชั้นอาหารนั้น ค่าความยาวคลื่นไมโครเวฟ ค่าคงที่ไดอิเล็กตริก และค่าแฟกตอร์การสูญเสียไดอิเล็กตริกจะส่งผลต่อค่าความลึกที่คลื่นผ่านชั้นอาหาร เมื่อค่าไดอิเล็กตริก และ Loss tangent เพิ่มขึ้น ค่าความลึกที่คลื่นผ่านชั้นอาหารจะยิ่งลดลง

7. ค่าความถี่ โดยความถี่ที่ใช้ในอุตสาหกรรมอาหารมีอยู่ 2 ช่วงคือ 915 และ 2,450 MHz ความถี่ที่ใช้จะมีผลต่อระดับความลึกที่คลื่นผ่านชั้นอาหาร โดยทั่วไปค่าความถี่ต่ำ (915 MHz) จะสามารถให้ความร้อนได้ลึกกว่า

8. ค่าความเข้มสนามไฟฟ้าหรือกำลังไฟฟ้าของระบบไมโครเวฟ กำลังไฟฟ้าที่ใช้จะอยู่ในช่วง 5-100 kW โดยค่ากำลังไฟฟ้าที่สูงจะช่วยเร่งให้เกิดความร้อนกับอาหารได้เร็วขึ้น ดังนั้นจึงมีการปรับเปลี่ยนความเข้มสนามไฟฟ้าของระบบเพื่อควบคุมความเร็วในการอบแห้งอาหารร้อนได้อย่างไร คือการเร่งความเร็วมากเกินไปอาจเกิดผลเสีย เช่น น้ำในอาหารไม่สามารถระบายออกด้วยการระเหยได้ ทำให้เกิดการเดือดขึ้นในเนื้ออาหารและเมื่อมีปริมาณมากจะระเบิดออกมาทำให้ผลิตภัณฑ์เสียหายได้

9. รูปทรงของอาหาร ลักษณะรูปทรงของอาหารที่นำมาผ่านการให้ความร้อนด้วยไมโครเวฟมีความสำคัญ ดังนี้

ขนาด หากขนาดของชั้นอาหารนั้นใหญ่มาก คลื่นไมโครเวฟเข้าไม่ถึงจุดกึ่งกลาง ข้างใดข้างหนึ่งจะผลให้เกิดความร้อนไม่ทั่วทั้งชิ้น แต่ถ้าความหนาของชิ้นไกล์เคียงกับความสามารถของคลื่นไมโครเวฟที่จะแทรกผ่านถึงได้ จะทำให้อุณหภูมิที่จุดกึ่งกลางชิ้นมีอุณหภูมิสูงที่สุด การเลือกขนาด ความถี่ที่เหมาะสมมีความสำคัญต่อการให้ความร้อนด้วยไมโครเวฟ ถ้าเป็นอาหารที่มีลักษณะชิ้นหนาควรใช้ความถี่ 915 MHz

รูปร่าง อาหารที่มีรูปร่างขนาดกว้างยาวเท่ากันทั้งชิ้น สามารถทำให้ร้อนได้สม่ำเสมอกว่าครัวหลีกเลี่ยงรูปร่างที่มีขอบแหลมหรือมีมุมซึ่งอาหารจะไหม้ได้ง่าย อาหารทรงกลมจะดีกว่าอาหารทรงเหลี่ยม

สภาพสุญญากาศ

สภาพสุญญากาศ คือ สภาวะที่มีระดับความดันต่ำกว่าความดันบรรยากาศซึ่งสามารถแบ่งออกเป็น 5 ระดับ ได้แก่

1. Low vacuum อัตราในช่วงความดันตั้งแต่ $101.32 \text{ ถึง } 3.33 \text{ kPa}$
2. Medium vacuum อัตราในช่วงความดันตั้งแต่ $3.33 \text{ ถึง } 1.3 \times 10^{-4} \text{ kPa}$
3. High vacuum อัตราในช่วงความดันตั้งแต่ $1.3 \times 10^{-4} \text{ ถึง } 1.3 \times 10^{-7} \text{ kPa}$
4. Very high vacuum อัตราในช่วงความดันตั้งแต่ $1.3 \times 10^{-7} \text{ ถึง } 1.3 \times 10^{-10} \text{ kPa}$
5. Ultra high vacuum อัตราในช่วงความดันตั้งแต่ $1.3 \times 10^{-10} \text{ kPa ขึ้นไป}$

เนื่องจากความดันมีผลผลกระทบต่ออุณหภูมิเดือดของน้ำ โดยเมื่อลดระดับความดันจะส่งผลให้อุณหภูมิจุดเดือดของน้ำลดลง (Zhangjing and Lamb, 2007) และเมื่อสังเกตจากความสัมพันธ์ของความดันและอุณหภูมิจากตารางเทอร์โมไดนามิก ซึ่งจะทำให้พบแนวโน้มดังแสดงในตาราง 2

ตาราง 2 ตารางเทอร์โมไดนามิก

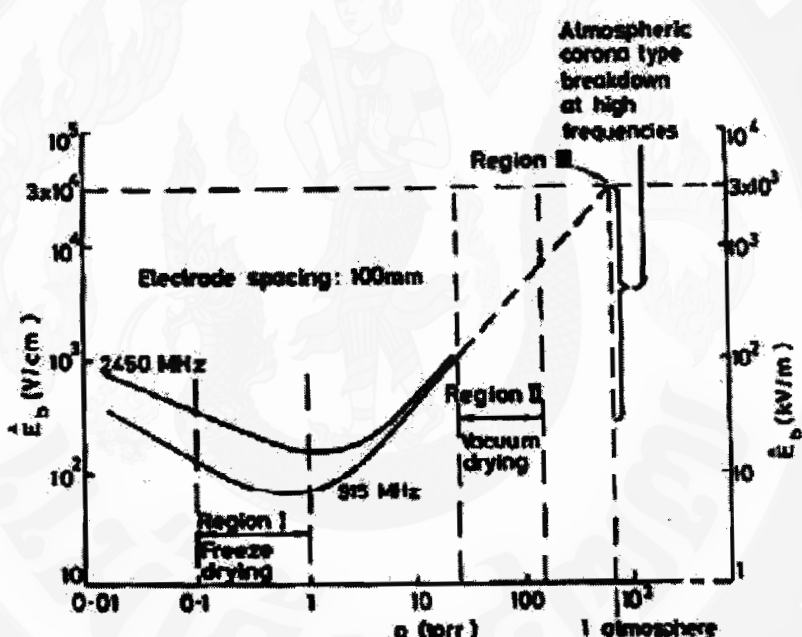
ความดัน (kPa)	อุณหภูมิจุดเดือดของน้ำ ($^{\circ}\text{C}$)
103.42	100.57
101.325	99.9
68.95	89.55
55.16	83.8
34.47	72.34

ที่มา: Cengel and Michael (2002)

ในงานวิจัยนี้ได้ทำการศึกษาถึงผลกระทบจากการอบแห้งในสภาพสุญญากาศที่แตกต่างกัน โดยได้ใช้ระดับสุญญากาศที่แตกต่างกัน 2 ระดับ คือ ความดันสุญญากาศ 0.1 และ 0.02 bar ซึ่งทั้งสองระดับนั้นอยู่ในระดับสุญญากาศต่ำและคล่องตัวตามลำดับ จากการตรวจสอบพบว่า ส่วนใหญ่งานวิจัยเกี่ยวกับการอบแห้งภายใต้สภาพสุญญากาศมักจะทำการอบแห้งที่ระดับสุญญากาศระดับต่ำ เช่น Drouzas and Schubert (1996) ได้ทำการศึกษาโดยการทดลองอบกัลวายด้วยวิธีการ

อบแห้งในโคมไฟสูญญากาศ โดยอบแห้งภายใต้สภาวะความดันสูญญากาศที่ 15 25 50 100 200 และ 300 mbar หรือ 1.5 2.5 5 10 20 และ 30 kPa (ชั่งอยู่ในช่วง Low vacuum) ใช้กำลังไฟ 150 280 และ 850 W พบว่า สภาวะความดันสูญญากาศน้อยกว่า 25 mbar กำลังไฟ 150 W อุณหภูมิไม่เกิน 70°C ใช้เวลา 30 นาที เป็นสภาวะที่เหมาะสม ซึ่งจะส่งผลให้ผลิตภัณฑ์มีคุณภาพที่ดีที่สุด และมีสภาพลักษณะทางกายภาพ คือ ศีรษะชาติ กลืน และรูปร่าง

การเลือกใช้ระดับสูญญากาศ



ภาพ 7 การเกิดเบรกรดานของสนามไฟฟ้าที่เกิดขึ้นในอากาศ (ค่าสูงสุด) ที่ขึ้นอยู่กับความดันที่ความถี่สองค่า

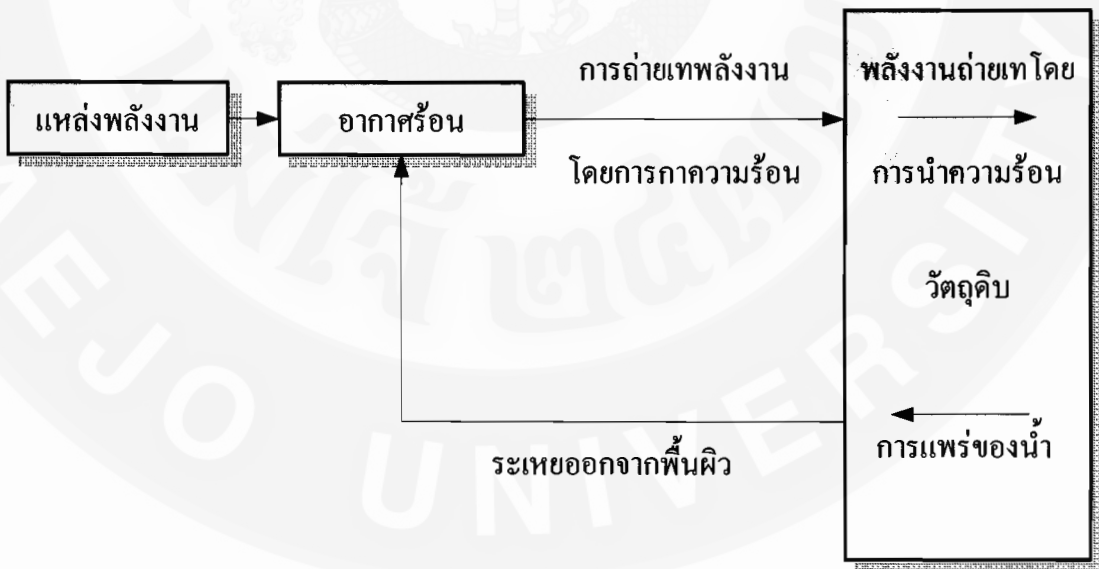
ที่มา: Metaxas and Meredith (1983)

จากภาพ 7 พบว่า การเกิดเบรกรดานของสนามไฟฟ้าจะลดลงตามสภาวะสูญญากาศ แต่สำหรับในช่วง I ค่าสนามไฟฟ้าที่ทำให้เกิดเบรกรดานในอากาศมีแนวโน้มเพิ่มขึ้นตามค่าความดันที่ลดลง หากความเข้มของสนามไฟฟ้าที่ทำให้เกิดเบรกรดานมีค่าสูงเกินไปส่งผลทำให้เกิดปรากฏการณ์การอาร์คหรือเกิดพลาสมาขึ้นมาได้ ซึ่งจะส่งผลให้เกิดความร้อนที่สูงเกินไปเฉพาะจุด ส่งผลให้เกิดความเสียหายต่อผลิตภัณฑ์ได้ จึงควรหลีกเลี่ยงในการอบแห้งในระดับ

สูญญากาศสูง ในช่วง II ของภาพ 7 แสดงให้เห็นว่า ช่วงความดันระหว่าง 1.33-26.66 kPa (ประมาณ 20-200 torr) ค่าสนามไฟฟ้าที่ทำให้เกิดเบรคดาวน์ในอากาศมีแนวโน้มเพิ่มขึ้นตามค่าความดันที่เพิ่มขึ้น และมีค่ามากกว่าหลายเท่าเมื่อเทียบกับค่าการตอบสนองเบรคดาวน์ที่ต่ำที่สุด ดังนั้นในการออกแบบระบบอบแห้งโดยใช้ไมโครเวฟ-สูญญากาศควรคำนึงถึงค่าสนามไฟฟ้าวิกฤติภายในตู้อบแห้ง เนื่องจาก ส่งผลต่อกำลังการดูดซับ อุณหภูมิ และคุณสมบัติโดยอิเล็กทริกของตัววัสดุที่นำมาอบแห้ง การเกิดเบรคดาวน์ของสนามไฟฟ้าจะประกายที่เฉพาะจุดและเกิดขึ้นที่ตำแหน่งที่มีความเข้มของสนามไฟฟ้าสูง ดังนั้นปรากฏการณ์นี้ควรจะหลีกเลี่ยง เพราะเป็นกำลังที่สูญเปล่า (Waste power) ซึ่งเป็นสาเหตุของการเกิดความร้อนสูงเฉพาะจุด (Local overheating) ภายในโอลด์หรือวัสดุ อิกทั้งมีคลื่นบางส่วนร้าวไหลผ่านตรงประตูปิดของตู้อบแห้งไมโครเวฟได้

การอบแห้งด้วยไมโครเวฟ-สูญญากาศ

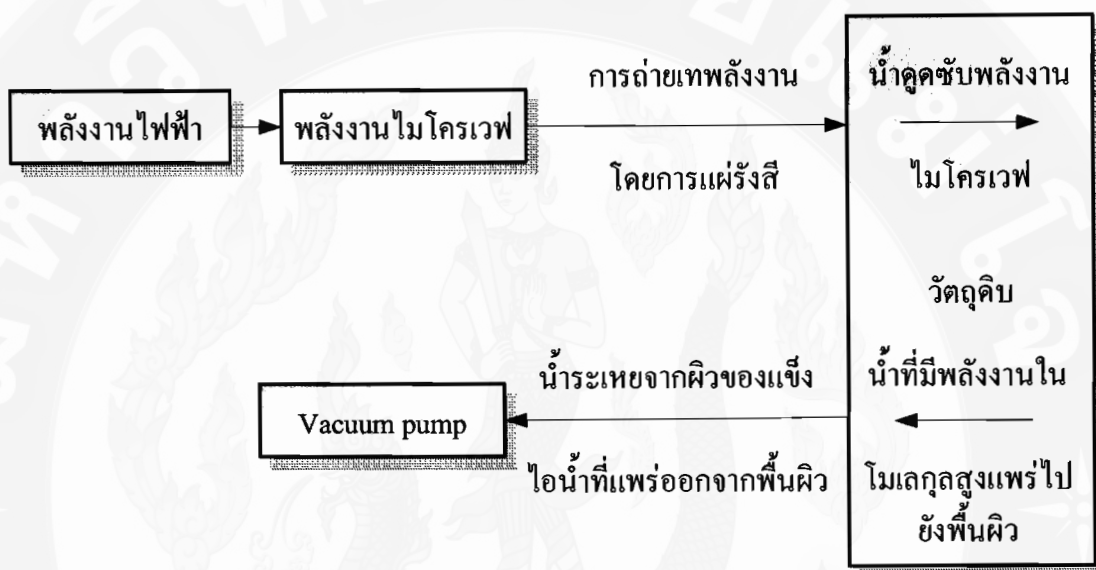
การอบแห้งด้วยระบบสูญญากาศร่วมกับไมโครเวฟเป็นเทคนิคหนึ่งในการนำพลังงานไฟฟ้ามาอบแห้งผลิตภัณฑ์ต่างๆ กลไกการอบแห้งด้วยระบบสูญญากาศร่วมกับไมโครเวฟ จะแตกต่างจากการอบแห้งด้วยอากาศร้อนดังแสดงในภาพ 8



ภาพ 8 กลไกการอบแห้งด้วยอากาศร้อน

ที่มา: Wadsworth et al. (1990)

สำหรับกลไกการอบแห้งด้วยอากาศร้อน แหล่งพลังงานส่วนใหญ่ได้แก่ ก๊าซธรรมชาติหรือน้ำมันเพื่อทำให้อากาศร้อนจากนั้นพลังงานจากอากาศร้อนจะถ่ายเทไปยังผิวของ วัสดุที่นำมาอบแห้งด้วยการพากความร้อน น้ำจะเปลี่ยนสภาพเป็นไอและแพร่สู่อากาศแห้งที่บริเวณ พื้นผิว ซึ่งความแตกต่างของความชื้นภายในวัตถุคืนนี้เองเป็นตัวก่อให้เกิดการแพร่ของโมเลกุลน้ำ มากที่สุด



ภาพ 9 กลไกการอบแห้งด้วยระบบสูญญากาศร่วมกับไมโครเวฟ

ที่มา: Wadsworth et al. (1990)

หากพิจารณาจากภาพ 9 คลื่นไมโครเวฟที่ถูกปล่อยออกไปจะหละลุทะลวงเข้าไป ในชั้นวัสดุและจะถูกดูดซับด้วยน้ำที่อยู่ในชั้นวัสดุนั้น ต่อมาก็ถูกเปลี่ยนเป็นพลังงานความร้อน และเกิดความร้อนขึ้นภายในวัสดุ วัสดุต่างชนิดกันจะมีความสามารถในการดูดซับคลื่นไมโครเวฟที่แตกต่างกัน น้ำมีอยู่กับค่าไฝอิเล็กทริกของวัสดุนั้น เมื่อเกิดความร้อนขึ้นภายในชั้นวัสดุ น้ำที่อยู่ในชั้นวัสดุจะเคลื่อนไปสู่ชั้นผิวและระเหยไปในอากาศภายนอก โดยอุณหภูมิที่ใช้ในการระเหยของน้ำ จะต่ำกว่าปกติ เนื่องจากการลดระดับความดันอยู่ในระดับสูญญากาศนั้นจะส่งผลให้อุณหภูมิของ การระเหยลดลงด้วยเช่นกัน (Opoku et al., 2007) ดังนั้นการอบแห้งไมโครเวฟ-สูญญากาศสามารถลดการใช้เวลาในการอบแห้งและช่วยยกระดับคุณภาพของผลิตภัณฑ์ (Rodriguez et al., 2005; Sunjka et al., 2004; Venkatesh and Gaghavan, 2004; Yongsawatdigul and Gunasekaran, 1996;).

การพรีทรีทเม้นต์

การเปลี่ยนแปลงลักษณะของอาหารในการอบแห้งเป็นปัจจัยสำคัญที่ทำให้เกิดการเสื่อมเสียคุณภาพของผักและผลไม้ซึ่งสามารถปรับปรุงให้คุณภาพดีขึ้นได้โดยการทำพรีทรีทเม้นต์ (Pretreatment) เช่น การลวก และอาบเติมแคลเซียมคลอไรด์ลงไปในน้ำที่ใช้ลวก จะทำให้อาหารมีความกรอบมากขึ้น การพรีทรีทเม้นต์ด้วยความร้อน สามารถทำได้ 2 วิธี คือ การลวกด้วยไอน้ำและการลวกด้วยความร้อน โดยการให้ความร้อนที่อุณหภูมิและเวลาที่ตั้งไว้ ปัจจัยที่มีผลต่อเวลาในการลวกได้แก่ ชนิดและขนาดของผลผลิต อุณหภูมิในการลวก และวิธีการในการให้ความร้อน จากนั้นทำให้เย็น โดยเร็วที่อุณหภูมิใกล้เคียงกับอุณหภูมิห้อง ซึ่งในงานวิจัยนี้ได้เลือกใช้การพรีทรีทเม้นต์โดยการให้ความร้อนด้วยวิธีการลวกด้วยไอน้ำโดยพิจารณาจากความเหมาะสมของวัตถุคิบ

การลวกด้วยไอน้ำ

การลวกด้วยไอน้ำหมายความว่าการลวกด้วยน้ำร้อน วิธีการลวกอาจจะใช้เครื่องลวกหรือใช้มือต้มน้ำให้เกิดไอน้ำให้หล่อผ่านชิ้นผักซึ่งคล้ายกับการนึ่ง ผักที่นิยมลวกด้วยไอน้ำได้แก่ หัวบีท บล็อกโคลี กะหล่ำปลี ถั่วลันเตา มันฝรั่ง ข้าวโพด เป็นต้น

ข้อดีของการลวกด้วยไอน้ำ คือ ช่วยให้ผังเซลล์ขยายตัว ลดระยะเวลาการอบแห้ง และไม่ถูกทำลายในเชลล์ออกจากเนื้อเยื่อ ทำให้มีเนื้อสัมผัสนิ่ม นอกจากนี้ยังส่งผลให้สารชีวินิเวศในชิ้นเนื้อวัตถุคิบบางชนิดเกิดเจล化ในเช่น เช่น กล้วย เป็นต้น (นภากรณ์และคณะ, 2549) ซึ่งเมื่อนำไปอบแห้งจะช่วยเพิ่มรูพรุนในเนื้อ块ล้วงส่งผลให้เกิดความกรอบมากขึ้น นอกจากนี้การลวกยังช่วยให้อาหารบางชนิดมีสีสันสดใสขึ้นอีกด้วย

งานวิจัยที่เกี่ยวข้อง

จากการศึกษางานวิจัยที่เกี่ยวข้องต่างๆ ดังกล่าวมาข้างต้น สามารถสรุปสาระสำคัญของงานวิจัยที่เกี่ยวข้องได้ดังนี้

นภากรณ์และคณะ (2549) ได้ทำการศึกษาการพรีทรีทเม้นต์ก่อนการอบแห้งแบบไอน้ำขึ้นช่วง 3 วิธี คือ การลวก การแช่ในสารละลายน้ำเดย์เมตาไบซัลไฟฟ์ และการแช่ในสารละลายน้ำแอสคอร์บิก พนว่า การอบแห้งที่อุณหภูมิต่ำกว่า 120 °C กล้วยแห่นที่พรีทรีทเม้นต์ด้วย

สารละลายโซเดียมเมต้าไบซัลไฟต์มีอัตราการอบแห้งต่ำที่สุด กลิ่วแพ่นที่อบแห้งด้วยอุณหภูมิสูง เกิดการหลดตัวน้อยกว่าที่อุณหภูมิต่ำ กลิ่วแพ่นที่ผ่านการลอกหลังการอบแห้งมีความบางมากที่สุด

Wadsworth et al. (1990) ได้ทำการศึกษาการอบแห้งข้าวในโคลนด้วยใช้การอบแห้งระบบสุญญากาศร่วมกับไมโครเวฟ พบว่า อัตราการอบแห้งจะเป็นสัดส่วนโดยตรงกับระดับ พลังงานในไมโครเวฟ โดยการอบแห้งภายใต้สภาวะสุญญากาศต่ำ จะทำให้อัตราการอบแห้งเพิ่มขึ้น และสามารถลดอุณหภูมิที่ใช้ในการอบแห้งลงได้ ทำให้อุณหภูมิสุดท้ายของผลิตภัณฑ์ไม่สูงมากนัก นอกจากนี้ยังพบว่า เมล็ดข้าวที่ผ่านการอบแห้งไม่มีการหลดตัว ซึ่งเป็นข้อดีของการอบแห้งด้วย ระบบสุญญากาศร่วมกับไมโครเวฟ เมื่อเปรียบเทียบกับการอบแห้งแบบลมร้อน

Clary and Ostrom (1995) ได้ศึกษาการอบแห้งอยู่น้ำรีเมล็ดพันธุ์ทองสันด้วย ในไมโครเวฟ-สุญญากาศ เพื่อรักษาคุณลักษณะอยู่น้ำสตัดในด้านสี กลิ่นรส และลักษณะฟองฟูให้ได้มากที่สุด โดยประสาจากการเติมวัตถุกันเสีย พบว่า การใช้อุณหภูมิ 70-80°C อบแห้งอยู่น้ำให้มีความชื้นสุดท้ายประมาณร้อยละ 5 หรือน้อยกว่า จะทำให้ได้อยู่น้ำแห้งที่มีคุณลักษณะที่ดีที่สุด นอกจากนี้อยู่น้ำยังมีลักษณะเนื้อสัมผัสกรอบ (Crunchy) และยังมีอายุการเก็บรักษานานอย่างน้อย 1 ปี

Lin et al. (1998) ได้ทำการศึกษาและเปรียบเทียบกระบวนการอบแห้งชิ้นเครื่อง 3 วิธี คือ 1) Air dry 2) Vacuum microwave 3) Freeze dry โดยทำการเปรียบเทียบคุณลักษณะดังนี้ 1) การคุณชั้บน้ำ 2) สี 3) ความหนาแน่น 4) ปริมาณแร่ธาตุ 5) เนื้อสัมผัส จากการศึกษาพบว่า การอบแห้งแบบไมโครเวฟสุญญากาศจะทำให้ผลิตภัณฑ์ที่มีคุณภาพในระดับเดียวกับการอบแห้งแบบ Freeze dry ส่วนการอบแห้งแบบ Air dry จะทำให้ได้ผลิตภัณฑ์ที่มีคุณภาพต่ำกว่าทั้งสองวิธี

Drouzas et al. (1999) ได้ทำการศึกษาหาความแตกต่างของบริเวณการกระจายความร้อนของคลื่นในไมโครเวฟและผลของการอบแห้งในไมโครเวฟภายใต้สภาวะสุญญากาศ โดยใช้เจลพลไม้ที่จำลองมาจากน้ำส้มสายชูเป็นชิ้นทดสอบ ใช้ความดันสุญญากาศที่ 30-50 mbar หรือ 3-5 kPa กำลังในไมโครเวฟ 640-710 W จากการศึกษาพบว่า มีความแตกต่างกันของการกระจายความร้อนจากคลื่นในไมโครเวฟจำนวน 5 ตำแหน่งภายใต้สภาวะสุญญากาศจะมีความสว่างมากกว่าผลิตภัณฑ์ที่ผ่านกระบวนการอบแห้งแบบลมร้อนร่วมกับไมโครเวฟ

Gunasekaran (1999) ได้ศึกษาการอบแห้งด้วยวิธีในไมโครเวฟ-สุญญากาศ โดยการปล่อยพลังงานในไมโครเวฟแบบเป็นช่วงๆ ในช่วงการอบแห้ง พบว่า การปล่อยพลังงานในไมโครเวฟแบบเป็นช่วงๆ นี้มีประสิทธิภาพในการอบแห้งมากกว่าการปล่อยพลังงานในไมโครเวฟแบบต่อเนื่อง อีกทั้งยังพบว่า ผลิตภัณฑ์ที่อบแห้งโดยการปล่อยพลังงานในไมโครเวฟแบบเป็นช่วงๆ จะมีคุณภาพ

คิกว่าผลิตภัณฑ์ที่อบแห้งด้วยการปล่อยพลังงานในโคลเวฟแบบต่อเนื่อง และยังสามารถประยุกต์ใช้กับการอบแห้งกับผลผลิตที่ไม่ทนต่ออุณหภูมิสูงอีกด้วย

Maskan (2000) ได้ทำการศึกษาการอบแห้งกล้าหันแวนช์มีความหนาแตกต่างกัน 3 ระดับ ได้แก่ 4.3 7.4 และ 14 mm โดยได้ทำการอบแห้ง 3 วิช แบบลมร้อน (60°C ความเร็วลม 1.45 m/s) แบบในโคลเวฟ (กำลังงานในโคลเวฟ $350\text{--}490$ และ 700 W) และแบบลมร้อนร่วมกับในโคลเวฟ (ที่กำลังงานในโคลเวฟ 350 W และความหนา 4.3 mm) พนว่า ภาพการอบแห้งลดลง (Falling rate period) ของการอบแห้งแบบลมร้อนใช้เวลานานที่สุด อัตราการอบแห้งสูงสุดเกิดที่ระดับกำลังในโคลเวฟที่สูงที่สุดด้วยเช่นกัน และในผลิตภัณฑ์ที่ผ่านการอบแห้งแบบในโคลเวฟจะมีสีสว่างและมีอัตราการดูดคืนความชื้นสูงที่สุด

Pinedo and Murr (2005) ได้ทำการศึกษาการอบแห้งฟิกทองด้วยการอบแห้งสูญญากาศ โดยใช้ความดันสูญญากาศที่ $5\text{--}25 \text{ kPa}$ (ซึ่งอยู่ภายใต้สูญญากาศระดับกลาง) ใช้อุณหภูมิที่ $50\text{--}70^{\circ}\text{C}$ และทำการพริทริทเมนต์ด้วยการลอกและการแซ่บ เช่น พบว่า การแซ่บเช่นมีอิทธิพลและสามารถเพิ่มประสิทธิภาพในการอบแห้งมากกว่าการลอก ซึ่งจะทำให้ประสิทธิภาพการเคลื่อนที่ของน้ำผ่านออกจากการชี้ฟิกทองในระหว่างการอบแห้งสูญญากาศเพิ่มขึ้น และสามารถเพิ่มความดันและลดอุณหภูมิที่ใช้ในการอบได้

Hu et al. (2005) ได้ทำการศึกษาและเปรียบเทียบประสิทธิภาพในการอบแห้งถั่วเหลือง 3 วิช คือ การอบแห้งแบบลมร้อน การอบแห้งแบบในโคลเวฟสูญญากาศ และการอบแห้งแบบลมร้อนร่วมกับในโคลเวฟสูญญากาศ พนว่า การอบแห้งแบบลมร้อนมีอัตราการอบแห้งสูงในช่วงเริ่มต้น แต่ในช่วงท้ายอัตราการอบแห้งลดลงและทำให้เกิดการเสียหายต่อกุณภาพอาหาร การอบแห้งแบบในโคลเวฟสูญญากาศใช้เวลาในการอบแห้งสั้นกว่าการอบแห้งแบบลมร้อน ส่วนการอบแห้งแบบลมร้อนร่วมกับในโคลเวฟสูญญากาศโดยการอบแห้งแบบลมร้อนที่ 70°C เป็นเวลา 20 นาที และนานไปอ่อนแห้งแบบในโคลเวฟสูญญากาศที่ความดัน -95 kPa กำลังในโคลเวฟ $9.33 \text{ W/g dry matter}$ เป็นเวลา 15 นาที ซึ่งเป็นสภาวะที่เหมาะสมในการอบแห้งแบบผสมนี้ สาเหตุที่นำถั่วเหลืองไปอบแห้งแบบลมร้อนก่อนเพื่อลดน้ำหนักเริ่มต้นในการอบแห้งในโคลเวฟ-สูญญากาศ

Setiady et al. (2007) ได้ทำการอบแห้งมันฝรั่งด้วยในโคลเวฟ-สูญญากาศ โดยอบแห้งมันฝรั่งลูกที่อุณหภูมิ $50\text{--}60$ และ 70°C เป็นเวลา 150 นาที พนว่า การอบแห้งที่ 70°C ส่งผลให้มันฝรั่งมีความชื้นต่ำที่สุดและใช้เวลาเผาไหม้ที่สุด เมื่อเปรียบเทียบกับการอบแห้งที่อุณหภูมิ 50 และ 60°C อย่างไรก็ตาม การอบแห้งที่อุณหภูมิ 50°C ส่งผลให้มันฝรั่งอบแห้งมีคุณภาพด้านสีที่ดีที่สุด

กรอบแนวความคิด

ในงานวิจัยนี้ได้ประยุกต์ใช้เทคนิคการอบแห้ง 2 ชนิด คือ การอบแห้งสูญญากาศ และการอบแห้งด้วยไมโครเวฟ เพื่อปรับปรุงประสิทธิภาพในการอบแห้ง ซึ่งจะได้ผลิตภัณฑ์กล้าวย อบแห้งที่ปราศจากสารเคมีเจือปน เนื่องจากเป็นการอบแห้งที่ไม่ได้ปรุงแต่งสารเคมีต่างๆ ลงไปใน วัตถุดิน เพื่อปรับปรุงรժชาติ สำหรับการทดลองอบแห้งในไมโครเวฟ-สูญญากาศได้เริ่มด้วยการ อบแห้งกับตู้อบแห้งขนาดห้องปฏิบัติการ เพื่อหาสภาวะที่เหมาะสมในการอบแห้ง โดยได้กำหนด สภาวะของกล้าวยและการอบแห้งที่แตกต่างกัน ได้แก่ การพรีทรีทเม้นต์กล้าวย การเลือกใช้ระดับ กำลังในไมโครเวฟในช่วงการอบแห้ง และ การเลือกใช้ระดับสูญญากาศ เมื่อทำการทดลองในระดับ ห้องปฏิบัติการและ ได้รับผลการทดลองเบื้องต้นเป็นที่เรียบร้อย ซึ่งทำให้ทราบถึงสภาวะการ อบแห้งที่เหมาะสม ที่สามารถทำให้ผลิตภัณฑ์หลังจากผ่านการอบแห้งมีคุณภาพดีที่สุด หลังจากนั้น จึงทำการขยายผล โดยการอบแห้งด้วยเครื่องไมโครเวฟ-สูญญากาศ ระดับอุตสาหกรรม เพื่อศึกษา ความแตกต่างของเครื่องอบแห้งทั้งสองระดับ

บทที่ 3

อุปกรณ์และวิธีการ

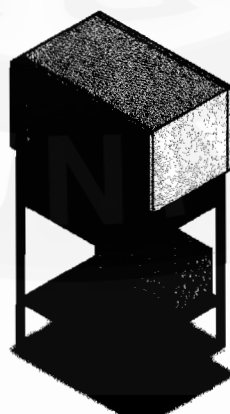
อุปกรณ์ที่ใช้ในการวิจัย

วัสดุทดลอง

กลวยที่ใช้ในงานวิจัยนี้มีลักษณะความสูกในระยะที่ 4 ดังภาพ 1 โดยสังเกตสีของเปลือกที่มีลักษณะเริ่มเปลี่ยนสีจากเขียวอ่อนเหลือง แต่ยังมีสีเหลืองมากกว่าสีเขียว โดยค่า $L^*a^*b^*$ ของเปลือกเฉลี่ย 61.09 -3.27 และ 33.73 ตามลำดับ บริเวณปลายยังคงเป็นสีเขียวอยู่ โดยเนื้อกลวย
กำลังเริ่มสูกแต่ยังคงความแข็งอยู่ ซึ่งง่ายต่อการหั่นแหน่งเพื่อเตรียมชิ้นกลวยทดสอบ โดยเป็นกลวยที่มีแหล่งเพาะปลูกใน อ. หางดง จ. เชียงใหม่

เครื่องอบแห้งไมโครเวฟ-สูญญากาศ ระดับห้องปฏิบัติการ

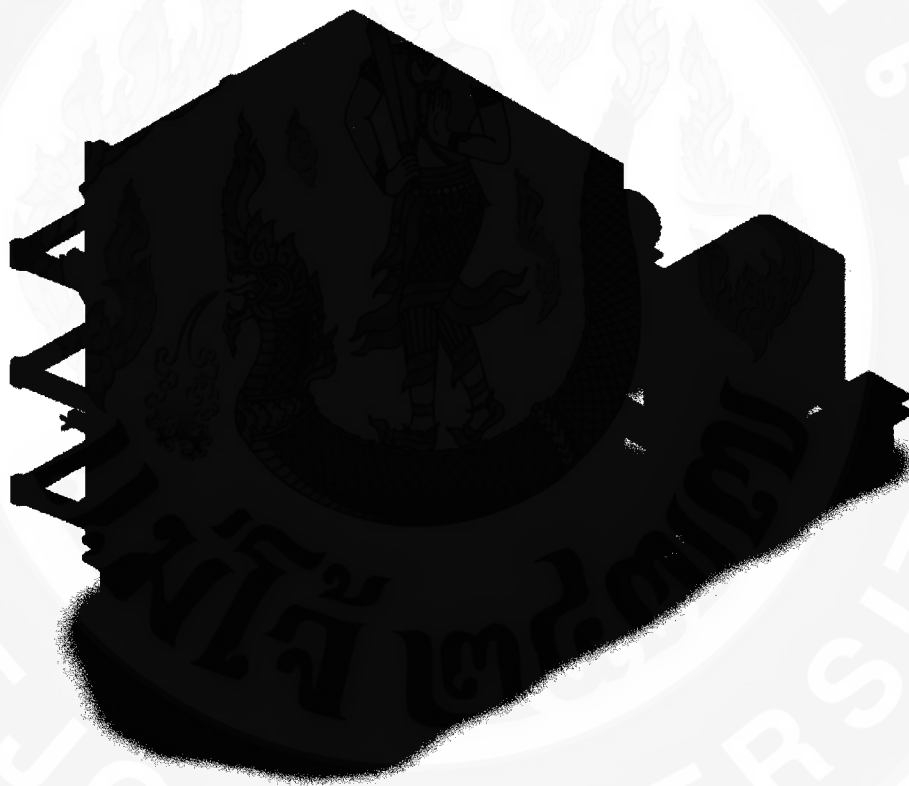
ในงานวิจัยนี้ได้ประยุกต์ใช้และคัดแปลงตู้อบไมโครเวฟระดับครัวเรือนยึดห้อ Samsung รุ่น MS103HCE ซึ่งมีความจุ 28 ลิตร กำลังวัตต์ 1,000 W โดยได้เสริมความแข็งแรงโดยการเสริมครีบเหล็กสแตนเลส หนา 3 mm บริเวณด้านใต้ของตู้ในไมโครเวฟ เพื่อรองรับการอบแห้ง ภายใต้สภาวะสูญญากาศและได้ทำการติดตั้งบนโครงสร้างเหล็กซึ่งภายในติดตั้งชุดนมอเตอร์เพื่อใช้ขันจานสำหรับวางชิ้นกลวย เพื่อทำให้ชิ้นกลวยสามารถหมุนรับคลื่นไมโครเวฟได้อย่างทั่วถึง ตลอดเวลาในการอบแห้ง ตู้อบแห้งต่อเข้ากับชุดควบคุมระดับสูญญากาศ โดยใช้ปั๊มสูญญากาศแบบ Starling Fluid System ดังภาพ 10



ภาพ 10 เครื่องอบแห้ง ไมโครเวฟ-สูญญากาศ ระดับห้องปฏิบัติการ

เครื่องอบแห้งในโครเวฟ-สูญญากาศ ระดับอุตสาหกรรม

ในงานวิจัยนี้ได้ทำการอบแห้งด้วยเครื่องอบแห้งระดับห้องปฏิบัติการและได้นำผลของการอบแห้งเพื่อเป็นแนวทางในการอบแห้งในเชิงอุตสาหกรรม โดยทำการอบแห้งด้วยเครื่องอบแห้งในโครเวฟ-สูญญากาศแนวตั้ง ระดับอุตสาหกรรม ลักษณะเป็นทรงกระบอก ขนาดเส้นผ่านศูนย์กลาง 73.5 cm สูง 120 cm โดยมีขนาดความจุ 573 ลิตร ดังภาพ 11 ภายใต้สูญญากาศ ขนาด 4 ชั้น ในแต่ละชั้นได้ทำการติดตั้งแมกนีตรองขนาด 800 W จำนวน 2 ตัว แกนกลางติดตั้ง เชื่อมต่อกันโดยเตอร์เพื่อหมุนตาม向往วัสดุ เนื่องเดียวกับการหมุนของajan แก้วางวัสดุในเครื่องในโครเวฟทั่วไป



ภาพ 11 เครื่องอบแห้งในโครเวฟ-สูญญากาศ ระดับอุตสาหกรรม

เครื่องชั่งดิจิตอล

ในงานวิจัยนี้ได้ทำการวัดน้ำหนักชิ้นกล้วอบแห้งที่เปลี่ยนแปลงไปในช่วงการอบแห้ง ทุกๆ 2 นาที ใช้เครื่องชั่งดิจิตอล รุ่น CP3202S (Sartorius AG, Germany) รับน้ำหนักมากที่สุด 3,200 g ความละเอียด 0.01 g ดังภาพผนวก 1

เครื่องวัดสี

หลังจากทำการอบแห้ง ได้นำชิ้นกลั่วยอบแห้งมาทดสอบและวิเคราะห์คุณภาพด้านสีด้วยใช้เครื่องวัดสี Spectrophotometer รุ่น MiniScan XE Plus (Hunter Associate Laboratary, USA) ดังภาพพนวก 2

เครื่องวัดเนื้อสัมผัส

หลังจากทำการอบแห้ง ได้นำชิ้นกลั่วยอบแห้งมาทดสอบและวิเคราะห์คุณภาพด้านเนื้อสัมผัสด้วยเครื่อง Texture Analyser รุ่น TA.XT.plus (Stable Microsystems Texture Technologies Inc., UK) ค่าความแม่นยำ ± 0.001 N ดังภาพพนวก 3

เครื่องถ่ายภาพโครงสร้างภายใน

หลังจากการอบแห้ง ได้นำชิ้นกลั่วยอบแห้งมาถ่ายภาพโครงสร้างภายในด้วยเครื่อง SEM (Scanning Electron Microscope) รุ่น 5600LV (JEOL Ltd., Japan) ดังภาพพนวก 4

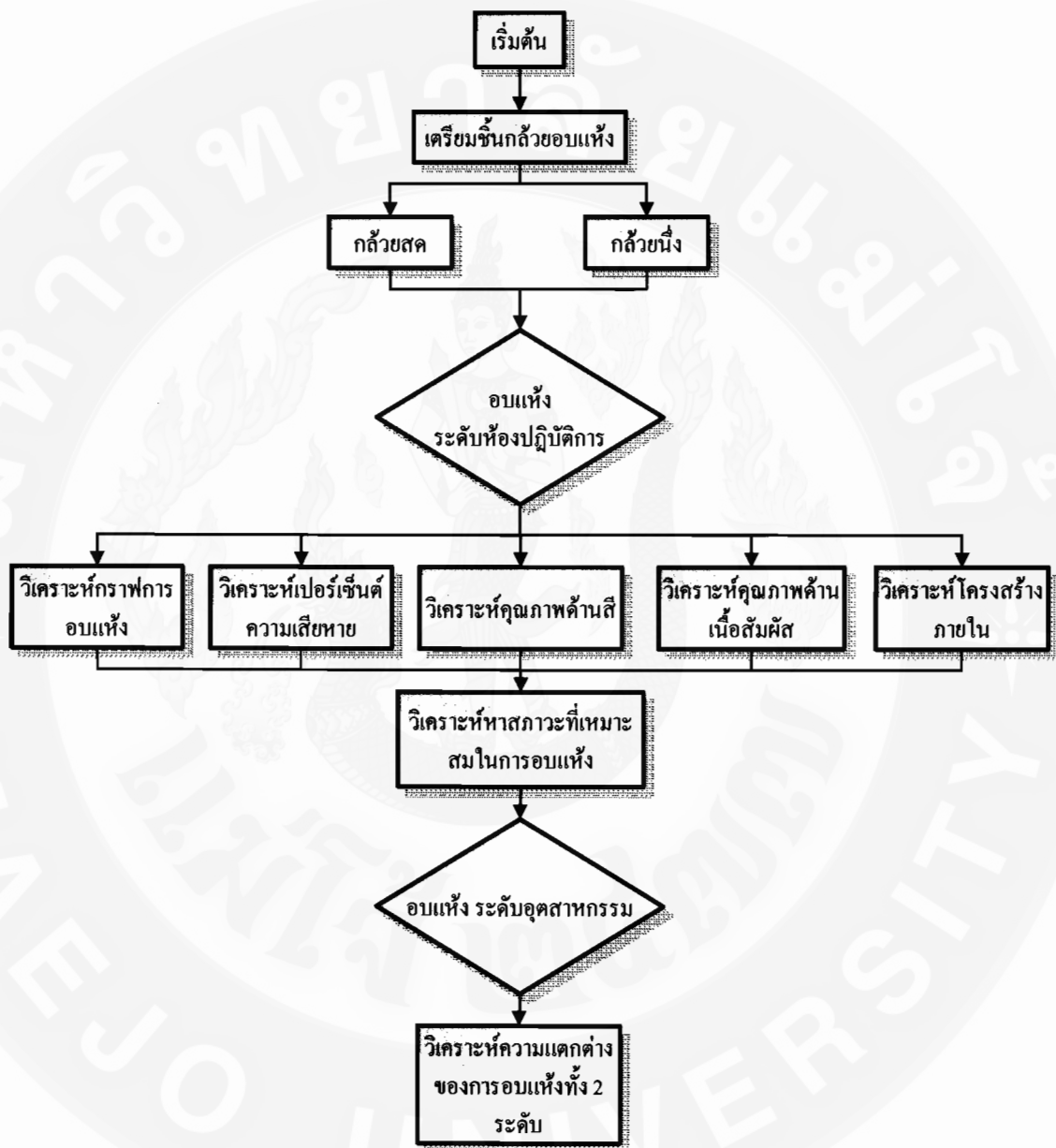
วิธีการ

ในงานวิจัยนี้ได้ทำการทดสอบอบแห้งกลั่วยอบแห้งด้วยเครื่องอบแห้งในโครเวฟ-สูญญากาศ ระดับห้องปฏิบัติการ เพื่อหาแนวโน้มในการอบแห้งที่ทำให้ได้ผลิตภัณฑ์ที่มีคุณภาพที่ดีที่สุด หลังจากนั้นนำสภาวะในการอบแห้งที่ส่งผลให้ได้ผลิตภัณฑ์ที่มีคุณภาพนั้นมาขยายผลโดยการอบแห้งด้วยเครื่องอบแห้งในโครเวฟ-สูญญากาศ ระดับอุตสาหกรรมต่อไป โดยมีแผนผังการดำเนินการดังภาพ 12

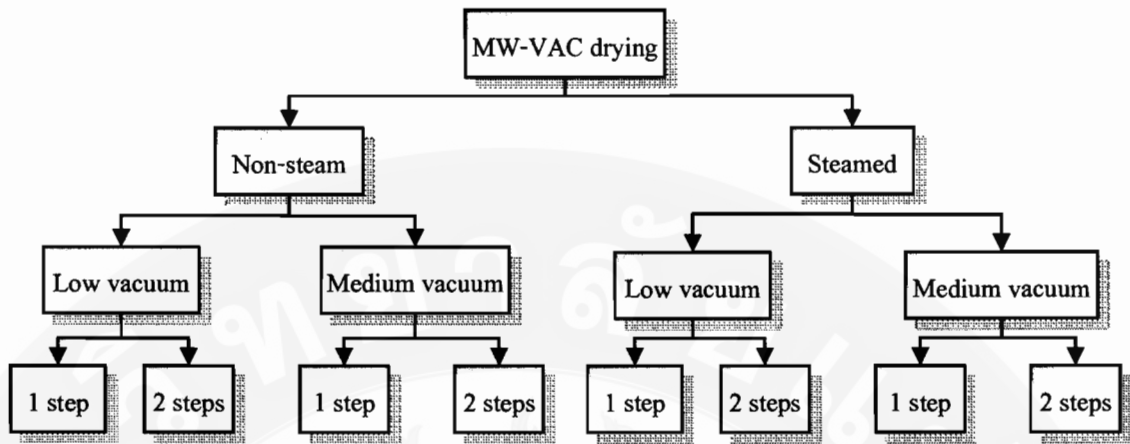
การอบแห้งด้วยเครื่องอบแห้งในโครเวฟ-สูญญากาศ ระดับห้องปฏิบัติการ

งานวิจัยนี้ได้ทำการทดลองเป็นแบบแฟกทอรีอล 3 ปัจจัย โดยแต่ละปัจจัยมี 2 ระดับได้แก่ 1) การพรีทริมเม้นต์ โดยทำการทดสอบเพื่อศึกษาหากความแตกต่างระหว่างกลั่วยอบแห้งที่ผ่านการพรีทริมเม้นต์ด้วยการนึ่งด้วยไอน้ำก่อนนำไปอบแห้งและกลั่วยอบแห้งที่ไม่ผ่านการพรีทริมเม้นต์ก่อนการอบแห้งหรือกลั่วys 2) ระดับสูญญากาศ เพื่อศึกษาผลของการอบแห้งภายใต้สภาวะสูญญากาศที่แตกต่างกัน 2 ระดับ คือ สภาวะสูญญากาศระดับต่ำ (0.1 bar) และสภาวะสูญญากาศระดับกลาง (0.02 bar) 3) การใช้ระดับกำลังในโครเวฟ โดยได้ทำการศึกษาผลของการใช้กำลังในโครเวฟที่แตกต่างกัน 2 ขั้นตอน ได้แก่ การอบแห้งโดยใช้กำลังในโครเวฟเพียงขั้นตอนเดียวตลอด

ช่วงการอบแห้ง (1 step) และการใช้กำลังไมโครเวฟ 2 ขั้นตอน (2 step) ที่แตกต่างกันในการอบแห้ง โดยมีแผนผังการดำเนินการอบแห้งดังภาพ 13



ภาพ 12 แผนผังการดำเนินงาน



ภาพ 13 แผนผังการอบแห้ง

การอบแห้งขยายผลจากระดับห้องปฏิบัติการสู่ระดับอุตสาหกรรม

หลังจากทดลองอบแห้งด้วยเครื่องอบแห้งในโครเรฟ-สุญญากาศ ระดับห้องปฏิบัติการแล้ว จะทำให้ทราบถึงสภาวะที่เหมาะสมในการอบแห้งกลัวย ได้แก่ การพรีทรีเมนต์ ระดับกำลังในโครเรฟ และระดับสุญญากาศ เพื่อหาระยะเวลาที่เหมาะสมในการอบแห้ง ที่ทำให้ได้กลัวยอบแห้งที่มีคุณภาพดีที่สุดและความชื้นประมาณร้อยละ 18 มาตรฐานแห้ง หลังจากทำการอบแห้ง จึงนำเอากลัวยขอนแห้งมาวิเคราะห์คุณภาพด้านสีและเนื้อสัมผัส เพื่อเปรียบเทียบกับกลัวยอบแห้งที่ได้จากการอบแห้งด้วยเครื่องระดับห้องปฏิบัติการ

วิธีการทดลองอบแห้ง

1. คัดเลือกกลัวยที่มีความสูงซึ่งสังเกตจากสีเปลี่ยนตามที่กำหนดไว้ และขนาดของกลัวยให้มีขนาดที่ใกล้เคียงกัน
2. ถ่างกลัวยด้วยน้ำเปล่า
3. แบ่งกลัวยออกเป็นสองชนิด ซึ่งประกอบด้วยกลัวยสดและกลัวยแห้ง โดยกลัวยนี้จะถูกนำไปนึ่งทั้งเปลือกด้วยไอน้ำเป็นเวลา 30 นาที
4. นำกลัวยทั้งสองชนิดมาปอกเปลือกและหั่นตามยาวเป็นแผ่น โดยให้ทุกชิ้นมีความหนาเท่าๆ กันประมาณ 3 mm
5. เรียงกลัวยสดในงานพลาสติกที่รองด้วยกระดาษไขเพื่อป้องกันไม่ให้ชิ้นกลัวยแห้งติดกัน

6. นำงานที่จัดวางกล้วยเรียบร้อยแล้ว ไปชั่งน้ำหนัก โดยกำหนดให้น้ำหนักร่วมของกล้วยประมาณ 80 กรัมต่องาน

7. นำกล้วยไปอบแห้งในเครื่องไมโครเวฟ-สูญญากาศระดับห้องปฏิบัติการ โดยทำการอบที่ระดับสูญญากาศ 2 ระดับ คือ 0.1 และ 0.02 bar (10 และ 2 kPa) ระดับกำลังไมโครเวฟ 2 ขั้นตอน ได้แก่ การใช้กำลังไมโครเวฟระดับเดียวตลอดการอบแห้งเป็นแบบ 1 ขั้นตอน และการใช้กำลังไมโครเวฟ 2 ระดับตลอดการอบแห้งเป็นแบบ 2 ขั้นตอน โดยระดับกำลังไมโครเวฟที่ใช้ในการอบแห้ง 1 ขั้นตอน คือ 20.4 W/g dry matter และกำลังไมโครเวฟที่ใช้ในการอบแห้ง 2 ขั้นตอน คือ 20.4 และ 11.1 W/g dry matter

8. นำกล้วยออกมาชั่งน้ำหนักและจดบันทึกพร้อมทั้งคำนวณหาค่าความชื้นทุกๆ 2 นาที จนกระทั่งความชื้นของชิ้นกล้วยลดลงมาที่ 18 %(dry basis)

9. นำกล้วยงานใหม่ที่เตรียมไว้เข้าเครื่องอบแห้ง โดยตั้งเวลาในอบแห้งเพิ่มขึ้นอีก 2 นาที เมื่อครบตามเวลาที่กำหนดแล้ว ทำการจดบันทึกน้ำหนักที่เปลี่ยนแปลงไป

10. นำข้อมูลที่ได้จากการจดบันทึกค่ามาเขียนกราฟการอบแห้งในชิ้นกล้วยทั้ง 2 ชนิดและในสภาวะแต่ละสภาวะการอบแห้ง

11. นำกล้วยอบแห้งที่ได้จากการอบแห้งทุกสภาวะ ไปวิเคราะห์คุณภาพด้านต่างๆ

การหากำลังไมโครเวฟเทียบท่องเครื่องอบแห้งไมโครเวฟ-สูญญากาศ

ในการหากำลังไมโครเวฟเทียบท่องเครื่องอบแห้งไมโครเวฟ-สูญญากาศนี้ ได้นำน้ำซึ่งเป็นสารที่มีคุณสมบัติในการดูดซับคลื่นไมโครเวฟและเปลี่ยนเป็นพลังงานความร้อน โดยกำหนดค่าการให้กำลังคลื่นไมโครเวฟสำหรับตู้อบแห้งไมโครเวฟ-สูญญากาศ ระดับห้องปฏิบัติการที่ 30 และ 50% สำหรับตู้อบแห้งไมโครเวฟ-สูญญากาศ ระดับอุตสาหกรรมที่ระดับ 50-70 และ 100% โดยทำการวัดอุณหภูมิเริ่มต้นและอุณหภูมิสุดท้ายของน้ำ จากนั้นนำค่าที่ได้ไปคำนวณหาค่ากำลังของคลื่นไมโครเวฟจากสมการ (9) (ชาตพงศ์และคณะ, 2551)

$$P_w = \frac{4.187 \times V \times (T_2 - T_1)}{t} \quad (9)$$

เมื่อ

$$\begin{aligned}
 P_w &= \text{กำลังวัดความร้อนเทียบเท่า (W)} \\
 V &= \text{ปริมาตรของน้ำที่ทดสอบ (ลิตร)} \\
 T_1 &= \text{อุณหภูมิก่อนให้คลื่นไมโครเวฟ (\textdegree C)} \\
 T_2 &= \text{อุณหภูมิหลังให้คลื่นไมโครเวฟ (\textdegree C)} \\
 t &= \text{เวลาในการทดสอบ (วินาที)}
 \end{aligned}$$

การวิเคราะห์คุณภาพของกลั่วยอบแห้ง

เมื่อเสร็จสิ้นการอบแห้งในแต่ละสภาวะที่แตกต่างกัน จะส่งผลให้ได้ผลิตภัณฑ์ที่มีความแตกต่างกัน อีกทั้งประสิทธิภาพของการอบแห้งในแต่ละสภาวะมีความแตกต่างกัน โดยได้จำแนกการวิเคราะห์คุณภาพของผลิตภัณฑ์ดังนี้

1. การวิเคราะห์กราฟการอบแห้ง

เมื่อทำการทดลองอบแห้งเสร็จสิ้น ทำให้ทราบความชื้นที่เปลี่ยนแปลงไปซึ่งสามารถนำมาเขียนเป็นกราฟการอบแห้งและนำไปสร้างแบบจำลองการอบแห้งที่เหมาะสมสมต่อการอบแห้งกลั่วยหันแ冤ด้วยไมโครเวฟ-สูญญากาศ สามารถอธิบายกลไกการอบแห้งในแต่ละสภาวะ การอบแห้ง โดยการนำผลของความชื้นที่ได้จากการแบบจำลองอบแห้งชนิดต่างๆ มาเทียบกับ กราฟการอบแห้งที่ได้จากการทดลองจริง แล้วจึงวิเคราะห์ทางสถิติหาค่า Coefficient of determination (R^2) และ Standard error (SE) เพื่อนำไปวิเคราะห์หาแบบจำลองที่เหมาะสมกับการอบแห้งในงานวิจัยนี้ โดยสมการแบบจำลองแสดงรายละเอียดดังตาราง 3

ตาราง 3 สมการแบบจำลองการอบแห้ง

แบบจำลอง	สมการ
Newton	$MR = \exp(-kt)$
Page	$MR = \exp(-kt^n)$
Modified Page	$MR = \exp[-(kt)^n]$
Henderson and Pabis	$MR = a\exp(-kt)$

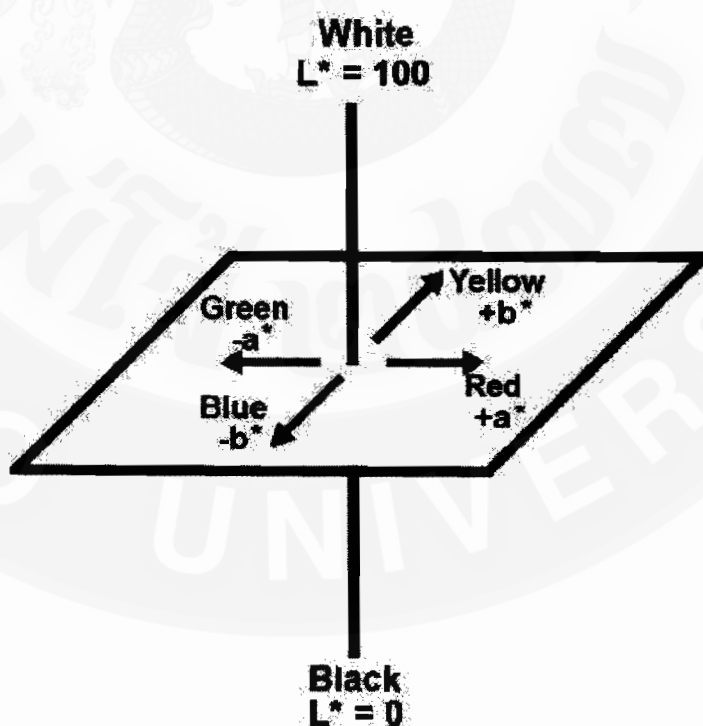
2. การวิเคราะห์หาเปอร์เซ็นต์ความเสียหาย

ทำโดยวิธีคัดแยกกล้วยอนแห้งที่ผ่านกระบวนการอบแห้งแล้วเกิดการไหม้และซึ่งน้ำหนักของกล้วยอนแห้งที่ไหม้และซึ่งน้ำหนักร่วมของกล้วยอนแห้งทั้งหมด นำมาเปรียบเทียบอัตราส่วนซึ่งแสดงออกมาเป็นเปอร์เซ็นต์เสียหาย โดยนำน้ำหนัก โดยคำนวณได้จากสมการ (10) การหาเปอร์เซ็นต์ความเสียหาย

$$\text{เปอร์เซ็นต์ความเสียหาย} = \frac{\text{นน. ผลผลิตที่เสียหาย}}{\text{นน. ผลผลิตทั้งหมด}} \times 100 \quad (10)$$

3. การวัดคุณภาพด้านสี

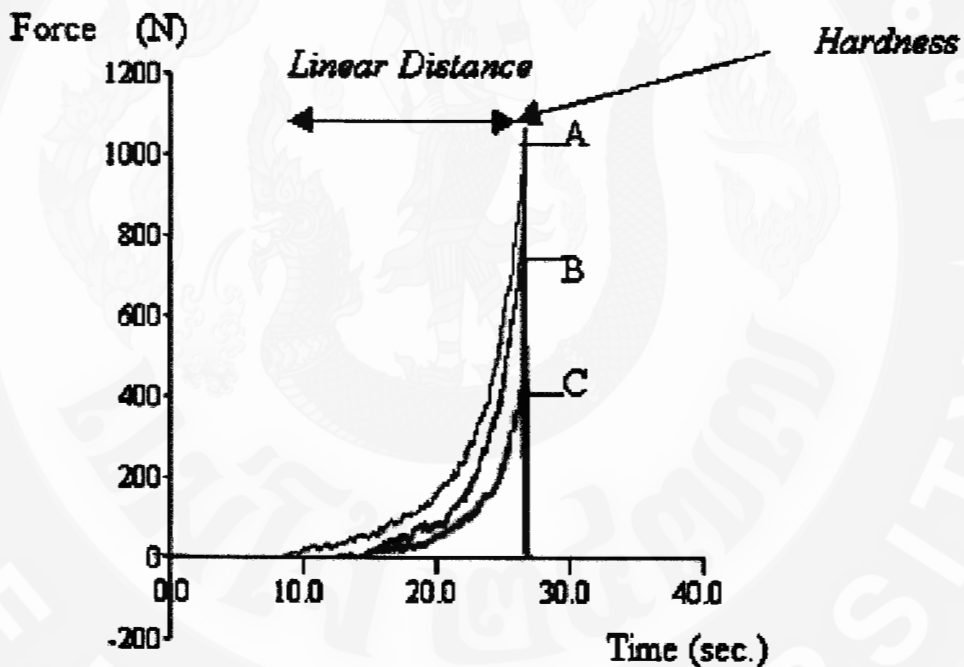
นำตัวอย่างหลังผ่านกระบวนการอบแห้งมาวัดสีด้วยเครื่องวัดสีอาหารรุ่น MiniScan XE Plus โดยทำการวัดสีในเทอมของตัวแปร L^* , a^* และ b^* ซึ่ง L^* แสดงค่าความสว่าง a^* แสดงค่าสีแดงและสีเขียว และ b^* แสดงค่าสีเหลืองและน้ำเงิน ดังแสดงจากภาพ 14 ตำแหน่งที่ใช้ในการวัดอยู่บริเวณจุดศูนย์กลางของชิ้นกล้วยอนแห้ง โดยทำการวัดค่าสี 3 ชี้



ภาพ 14 สเกลสีในหน่วย $L^*a^*b^*$

4. การวัดคุณภาพด้านเนื้อสัมผัส

นำกลีบขوبแห้งมาทดสอบคุณภาพด้านเนื้อสัมผัสด้วยเครื่อง Texture Analyser รุ่น TA.XT.plus (Stable Microsystems Texture Technologies Inc., UK) ท่าความถูกต้อง ± 0.001 N ทำการทดสอบด้วยแรงกด โดยใช้หัวกดทรงกระบอกขนาดเส้นผ่านศูนย์กลาง 2 mm และความเร็วในการกด 1 mm/s กดจนกระทะลุ่นชินกลีบซึ่งมีความหนาประมาณ 3 mm พิจารณาคุณภาพด้านเนื้อสัมผัของกลีบขوبแห้งจากค่าความแข็ง (Hardness) ซึ่งสามารถหาได้จากการวัด Linear distance โดยสามารถหาได้จากราฟความสัมพันธ์ระหว่างแรงที่กดลงไปให้ชินกลีบขوبแห้งและระยะทางที่หัวกดกระทะลุ่นชินกลีบอยแห้งหรือเวลาดังแสดงในภาพ 15



ภาพ 15 กราฟการวิเคราะห์คุณภาพด้านเนื้อสัมผัส

5. การวิเคราะห์โครงสร้างภายใน

นำชิ้นตัวอย่างกลีบขوبแห้งมาถ่ายภาพโดยใช้เครื่อง Scanning Electron Microscope (SEM) โดยใช้ความต่างศักย์ขนาด 10 kV กำลังขยาย 500 μm โดยถ่ายภาพผิวและภาพภาคตัดขวางของชินกลีบขوبแห้งที่ได้ในการอบแห้งในแต่ละสภาพ

6. การวิเคราะห์ทางสถิติ

ทำการวิเคราะห์ความแปรปรวน (Analysis of variance: ANOVA) ของการอบรมแห่งระดับห้องปฏิบัติการของแต่ละปัจจัยซึ่งได้แก่ การพรีทรีเม้นต์ ระดับสูญญากาศ และระดับขั้นตอนการใช้กำลังในโครเรฟ เพื่อศึกษาหาผลที่มีต่อคุณภาพของกล่าวยอมแห่ง ได้แก่ ค่าสี ($L^*a^*b^*$) ค่าความแข็ง และค่าความกรอบ แล้วหาความแตกต่างของค่าเฉลี่ยโดยวิธีของ Tukey (HSD) Comparison of means โดยใช้ระดับนัยสำคัญ $\alpha = 0.05$ จำนวนชั้นการทดลอง 3 ชั้น

บทที่ 4

ผลและวิจารณ์ผลการทดลอง

การอบแห้งด้วยเครื่องอบแห้งในโครเวฟ-สูญญากาศ ระดับห้องปฏิบัติการ

การทำถังในโครเวฟของเครื่องอบแห้งในโครเวฟ-สูญญากาศ ระดับห้องปฏิบัติการ

จากการสอนเทียบระดับกำลังในโครเวฟของเครื่องอบแห้งในโครเวฟ-สูญญากาศ ระดับห้องปฏิบัติการ พนว่า ค่ากำลังในโครเวฟที่ถูกปล่อยออกมาก็จะในการอบแห้งในแต่ละระดับ เปอร์เซ็นต์ในโครเวฟมีค่าดังแสดงในตาราง 4 โดยสามารถนำกำลังในโครเวฟที่ได้จากการสอน เทียบของตู้อบแห้งระดับห้องปฏิบัติการมาประยุกต์ใช้ในการเลือกระดับกำลังในโครเวฟ ที่เหมาะสมในการอบแห้งข่ายผลในระดับอุตสาหกรรมต่อไป โดยนำกำลังในโครเวฟที่วัดได้จริง เทียบกับปริมาณน้ำหนักของมวลแห้งของกลั่วชี้จะทำให้ทราบถึงกำลังในโครเวฟต่อน้ำหนัก มวลแห้งของกลั่วชี้ แล้วทำการเปรียบเทียบน้ำหนักและกำลังในโครเวฟในการข่ายผลในการ อบแห้งด้วยเครื่องอบแห้งในโครเวฟ-สูญญากาศ ระดับอุตสาหกรรมต่อไป โดยมีรายละเอียด วิธีการคำนวณได้แสดงในภาคผนวก ง

ตาราง 4 กำลังในโครเวฟของเครื่องอบแห้งในโครเวฟ-สูญญากาศ ระดับห้องปฏิบัติการ

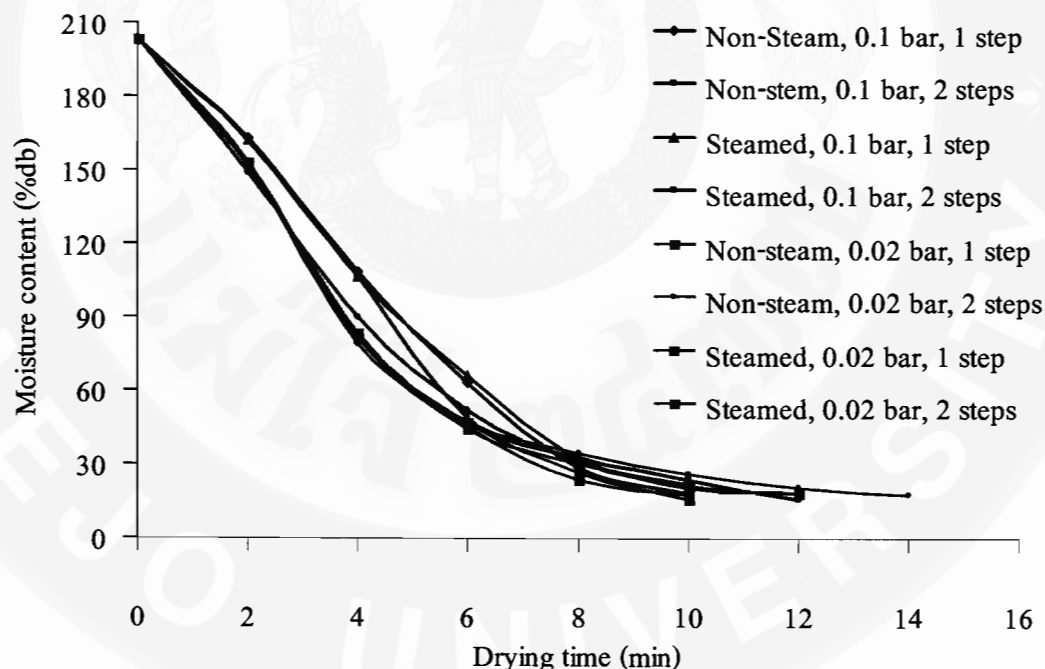
ระดับในโครเวฟ (%)	กำลังในโครเวฟ (W)	กำลังในโครเวฟเทียบต่อมวลแห้งของกลั่วชี้ (W/g dry matter)
50	359.3	20.4
30	196	11.14

การวิเคราะห์คุณภาพของกลั่วอบแห้ง

การวิเคราะห์กราฟการอบแห้ง

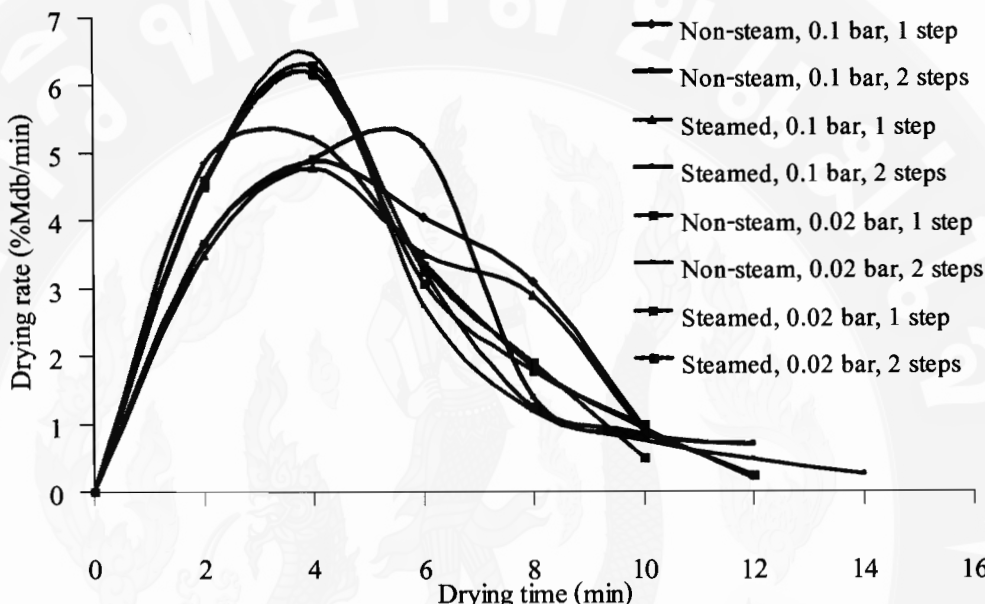
กราฟของการอบแห้งกลั่วอบแห้งทั้ง 2 ชนิด ได้แก่ กลั่วสคและกลั่วชนิด โดย อบแห้งด้วยเครื่องอบแห้งในโครเวฟ-สูญญากาศระดับห้องปฏิบัติการ พนว่า เส้นกราฟการอบแห้ง

ของกล้วยทั้ง 2 ชนิดมีลักษณะคล่องอย่างรวดเร็ว เนื่องจากคุณสมบัติของกลิ่นไมโครเวฟชี้สามารถทำให้เกิดความร้อนขึ้นภายในชิ้นกล้วยอย่างรวดเร็ว (Ozkan et al., 2007) ดังนั้นในช่วงแรกของการอบแห้งนำหัวกล้วยของกล้วยทั้ง 2 ชนิด มีความคล้ายคลึงกัน ดังนั้น การพิธีกรรมเมนต์กล้วยจึงไม่ส่งผลให้เกิดความแตกต่างสำหรับการอบแห้ง โดยเวลาที่ใช้ในการอบแห้งมีความแตกต่างกันเพียงเล็กน้อย ปัจจัยที่สำคัญที่ส่งผลต่อการอบแห้ง คือ ระดับกำลังในไมโครเวฟและระดับสูญญากาศที่ใช้ในการอบแห้ง พนักงานว่า การใช้ระดับกำลังในไมโครเวฟ 2 ขั้นตอน โดยการแบ่งช่วงการอบแห้งออกเป็น 2 ช่วง ได้แก่ ช่วงแรกและช่วงท้ายของการอบแห้ง โดยทำการลดระดับกำลังในไมโครเวฟลงในช่วงท้ายของการอบแห้ง (หลังจากนาทีที่ 6) ส่งผลให้ความชื้นที่ระเหยออกจากชิ้นกล้วยลดลง ซึ่งสังเกตได้จาก ความชันของเส้นกราฟการอบแห้ง เส้นกราฟของการอบแห้งโดยใช้ระดับกำลังในไมโครเวฟ 2 ขั้นตอนมีความชันลดลงในช่วงท้าย เมื่อเปรียบเทียบกับความชันของเส้นกราฟที่ใช้ระดับกำลังในไมโครเวฟขั้นตอนเดียว ดังภาพ 16



ภาพ 16 กราฟความสัมพันธ์ระหว่างความชื้นและเวลาในการอบแห้งกล้วยด้วยไมโครเวฟ-สูญญากาศ หมายเหตุ Steamed คือ กล้วยที่ผ่านการพิธีกรรมเมนต์ด้วยการนึ่ง Non-steam คือ กล้วยสด

- 0.1 bar คือ สูญญาการระดับต่ำ
 0.2 bar คือ สูญญาการระดับกลาง
 1 step คือ การอบแห้งโดยใช้ระดับกำลังไมโครเวฟขั้นตอนเดียว
 2 steps คือ การอบแห้งโดยใช้ระดับกำลังไมโครเวฟ 2 ขั้นตอน



ภาพ 17 กราฟความสัมพันธ์ระหว่างอัตราการอบแห้งและเวลาในการอบแห้งกับวิธีไมโครเวฟ-

สูญญาการ

หมายเหตุ Steamed คือ กลัวที่ผ่านการพรีทรีเมนต์ด้วยการนึ่ง

Non-steam คือ กลัวยัด

0.1 bar คือ สูญญาการระดับต่ำ

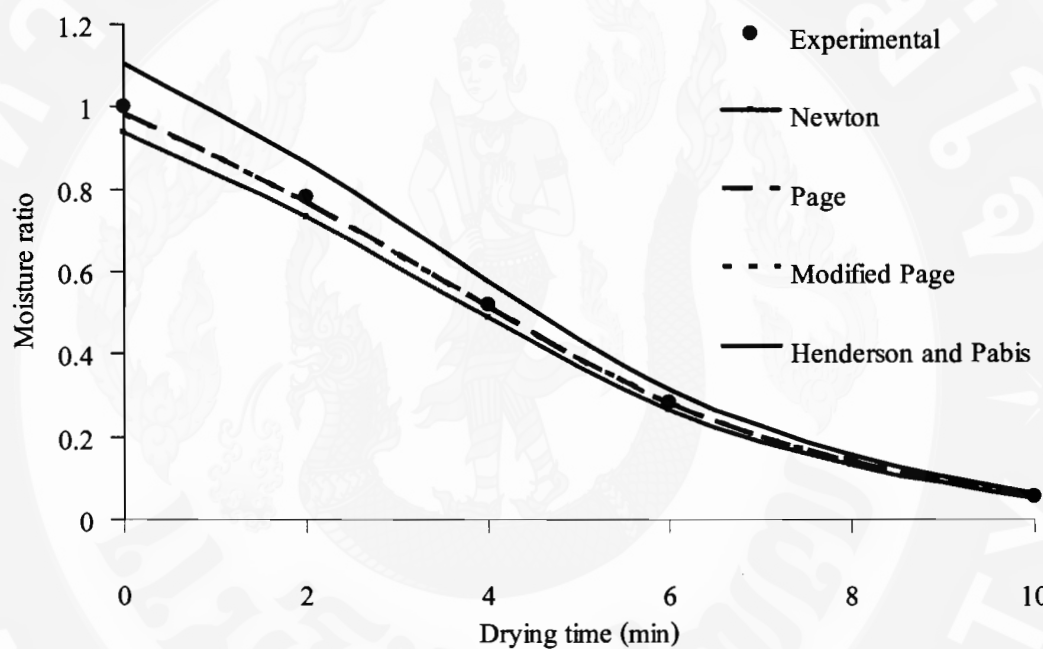
0.2 bar คือ สูญญาการระดับกลาง

1 step คือ การอบแห้งโดยใช้ระดับกำลังไมโครเวฟขั้นตอนเดียว

2 steps คือ การอบแห้งโดยใช้ระดับกำลังไมโครเวฟ 2 ขั้นตอน

ระดับสูญญาการเป็นอีกปัจจัยหนึ่งที่ส่งผลต่อลักษณะของกราฟการอบแห้ง เมื่อเปรียบเทียบลักษณะของกราฟการอบแห้งทั้ง 2 ระดับสูญญาการ ได้แก่ สภาพสูญญาการระดับต่ำ (0.1 bar) และสภาพสูญญาการระดับกลาง (0.02 bar) พบว่า การอบแห้งกลัวภัยให้สภาพสูญญาการระดับกลางมีอัตราการอบแห้งสูงกว่าการอบแห้งภัยให้สภาพสูญญาการระดับ

ต่ำ สังเกตได้จากภาพ 17 กราฟการอบแห้งภายใต้สูญญาการระดับกลางมีความชันของเส้นกราฟมากกว่าเส้นกราฟการอบแห้งภายใต้สูญญาการระดับต่ำในช่วงแรกของการอบแห้ง เนื่องจากน้ำที่ระเหยออกจาก ชิ้นกลวยในช่วงแรกของการอบแห้ง คือ น้ำอิสระ (Free water) ซึ่งไม่จับรวมกันกับโมเลกุลของสารอื่นๆ ดังนั้นจึงสามารถระเหยออกมากได้ง่าย จากข้อดีจากการอบแห้งภายใต้สภาวะสูญญาการซึ่งสามารถช่วยดึงความชื้นที่อยู่ในชิ้นวัสดุให้ระเหยออกมากได้ง่ายกว่าการอบแห้งภายใต้สภาวะบรรยายกาศ (Opoku et al., 2007) ดังนั้น เมื่ออบแห้งโดยเพิ่มระดับสูญญาการให้สูงขึ้น ส่งผลให้ความชื้นระเหยออกจากชิ้นวัสดุได้ดีขึ้นด้วย ดังภาพ 17



ภาพ 18 กราฟเปรียบเทียบค่าอัตราส่วนความชื้นของกลวยที่ได้คำนวณจากสมการจนศาสตร์ของการอบแห้งกับผลการทดลองอบแห้งกลวยสดที่สูญญาการระดับต่ำ โดยใช้กำลังไมโครเวฟขั้นตอนเดียว

เมื่อนำผลการทดลองการอบแห้งมาสร้างแบบจำลองการอบแห้งทั้ง 4 สมการ เพื่อใช้ทำนายการเปลี่ยนแปลงของความชื้นในวัสดุระหว่างการอบแห้งในงานวิจัยนี้ ได้แก่ แบบจำลองการอบแห้งของ Newton Page Modified Page และ Henderson and Pabis โดยได้ทำการวิเคราะห์หาแบบจำลองที่เหมาะสมสำหรับงานวิจัยนี้ จากค่า Coefficient of determination (R^2) และ Standard error (SE) พบว่า แบบจำลองของ Page และ Modified Page มีค่า R^2 และ SE ที่ใกล้เคียงกัน อีกทั้งยังมีค่า R^2 สูงที่สุด และค่า SE ต่ำที่สุด โดยสามารถเรียงลำดับสมการแบบจำลองจากที่มีความเรื่องมั่น

สูงที่สุดไปต่ำที่สุด คือ Page Modified Page Newton และ Henderson and Pabis ดังนั้นแบบจำลองของ Page และ Modified Page จึงเหมาะสมกับการอบแห้งในงานวิจัยนี้ เมื่อสังเกตจากภาพ 18 ซึ่งแสดงกราฟความสัมพันธ์ระหว่างอัตราการอบแห้งอัตราส่วนความชื้น พบร่วม กราฟที่ได้จากการคำนวณอัตราส่วนความชื้นจากแบบจำลองของ Page และ Modified Page มีความใกล้เคียงกับกราฟที่ได้จากการอบแห้งจริงมากกว่ากราฟที่ได้จากการแบบจำลองของ Newton และ Henderson and Pabis โดยรายละเอียดของค่าคงที่ของสมการแบบจำลองแสดงใน ตาราง 5

ตาราง 5 ค่าคงที่ของแบบจำลองการอบแห้งชนิดต่างๆ

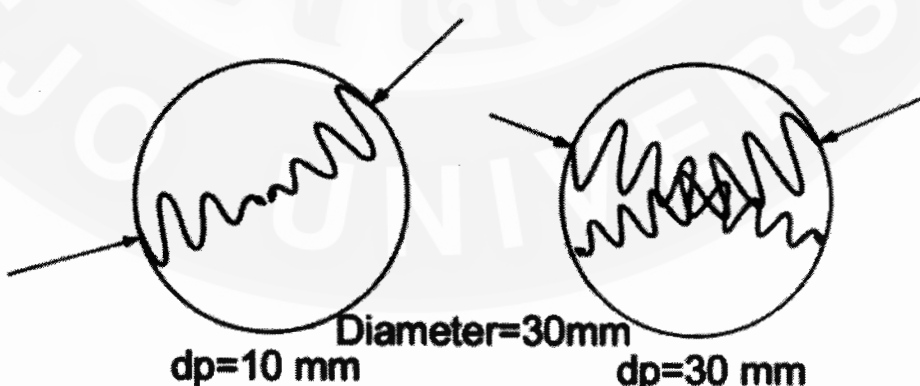
สภาวะการอบแห้ง	แบบจำลอง	k	n	a	R ²	SE
Non-steam, 0.1 bar, 1 step	Newton	0.2057			0.9881	0.0649
	Page	0.1107	1.3524		0.9988	0.0216
	Modified Page	0.1963	1.3524		0.9988	0.0217
Non-steam, 0.1 bar, 2 steps	Henderson and Pabis	0.2877		1.3138	0.9636	0.1354
	Newton	0.1940			0.9883	0.0599
	Page	0.1745	1.0559		0.9906	0.0542
Non-steam, 0.02 bar, 1 step	Modified Page	0.1892	1.0559		0.9903	0.0553
	Henderson and Pabis	0.2246		1.0985	0.9868	0.0669
	Newton	0.2257			0.9930	0.0483
Non-steam, 0.02 bar, 2 steps	Page	0.1987	1.0733		0.9954	0.0396
	Modified Page	0.2217	1.0733		0.9954	0.0397
	Henderson and Pabis	0.2643		1.1198	0.9895	0.0634
Non-steam, 0.02 bar, Steamed, 0.1 bar, 1 step	Newton	0.2021			0.9914	0.0460
	Page	0.2695	0.8524		0.9918	0.0444
	Modified Page	0.2155	0.8524		0.9917	0.0445
	Henderson and Pabis	0.2000		0.9458	0.9884	0.0535
Steamed, 0.1 bar, 2 steps	Newton	0.1826			0.9779	0.0526
	Page	0.1385	1.1571		0.9916	0.0339
	Modified Page	0.1808	1.1571		0.9916	0.0337
Steamed, 0.1 bar, 2 steps	Henderson and Pabis	0.2345		1.1778	0.9581	0.0923
	Newton	0.2080			0.9906	0.0360
	Page	0.2628	0.8746		0.9913	0.0339
	Modified Page	0.2159	0.8746		0.9912	0.0340
	Henderson and Pabis	0.2171		1.0126	0.9812	0.0482

ตาราง 5 (ต่อ)

สภาวะการอบแห้ง	แบบจำลอง	k	n	a	R^2	SE
Steamed, 0.02 bar, 1 step	Newton	0.2252			0.9805	0.0529
	Page	0.2167	1.0219		0.9826	0.0502
	Modified Page	0.2238	1.0219	1.1059	0.9826	0.0502
Steamed, 0.02 bar, 2 steps	Henderson and Pabis	0.2619			0.9720	0.0728
	Newton	0.2148			0.9820	0.0505
	Page	0.2803	0.8573		0.9835	0.0470
	Modified Page	0.2279	0.8573	0.9736	0.9835	0.0472
	Henderson and Pabis	0.2163			0.9711	0.0602

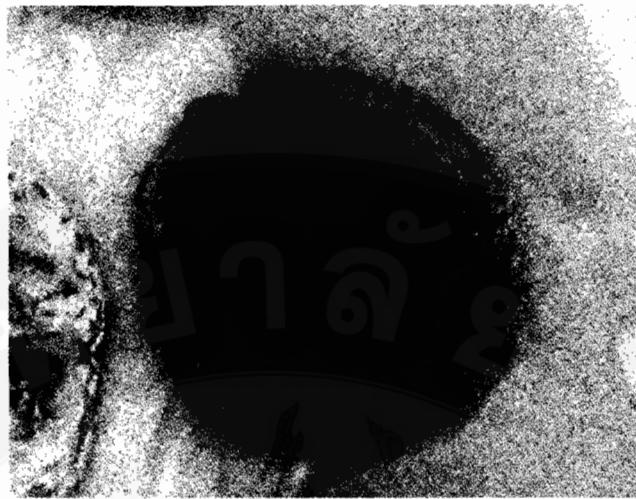
การวิเคราะห์ปัอร์เซ็นต์ความเสียหาย

ความเสียหายของกลัวยอบแห้งที่เกิดจากการไหม์ เนื่องจากไมโครเวฟสามารถทำให้เกิดความร้อนได้อย่างรวดเร็วในชิ้นวัสดุ ดังนั้นอุณหภูมิในชิ้นกลัวยอบแห้งจึงเพิ่มสูงขึ้นอย่างรวดเร็ว ส่งผลให้เกิดการไหม์ในชิ้นกลัวย นอกจานนี้ยังพบว่า บริเวณที่เกิดจากการไหม์ในชิ้นกลัวยอบแห้งส่วนใหญ่เกิดขึ้นที่บริเวณแกนกลางของกลัวยอบแห้งเป็นตำแหน่งแรกและขยายไปสู่บริเวณขอบของชิ้นกลัวย เนื่องจากคุณสมบัติด้านการรวมศูนย์ของคลื่นไมโครเวฟ (Focusing effect) ซึ่งจะเกิดขึ้นกับวัสดุที่มีรูปทรงกลมและทรงกระบอก โดยส่งผลให้เกิดการรวมศูนย์ขึ้น บริเวณแกนกลางของวัสดุนั้น (Varith and Kiatsiriroat, 2004) ดังภาพ 19 จึงส่งผลทำให้บริเวณแกนของกลัวยอบแห้งเกิดความร้อนได้สูงกว่าบริเวณขอบของชิ้นกลัวย ซึ่งสังเกตได้จากภาพ 20



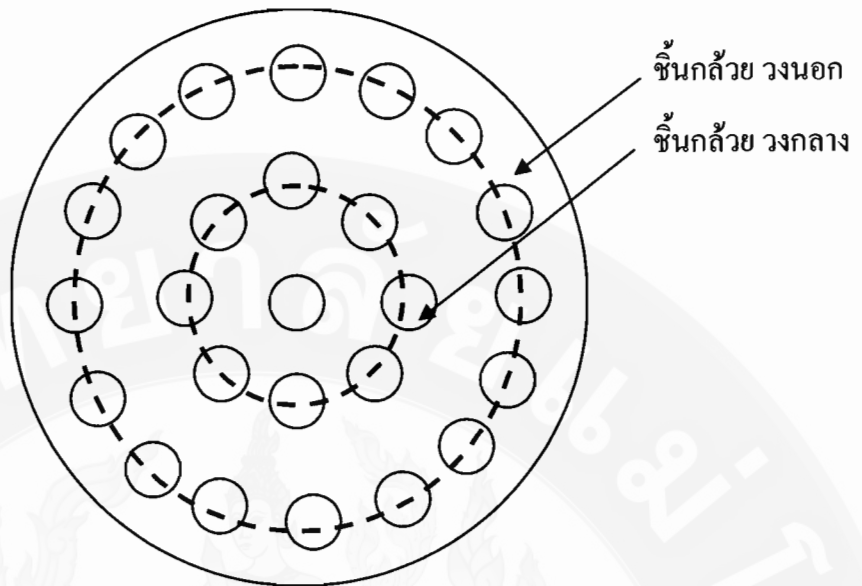
ภาพ 19 ลักษณะการรวมศูนย์ของคลื่นไมโครเวฟ

ที่มา: Varith and Kiatsiriroat (2004)

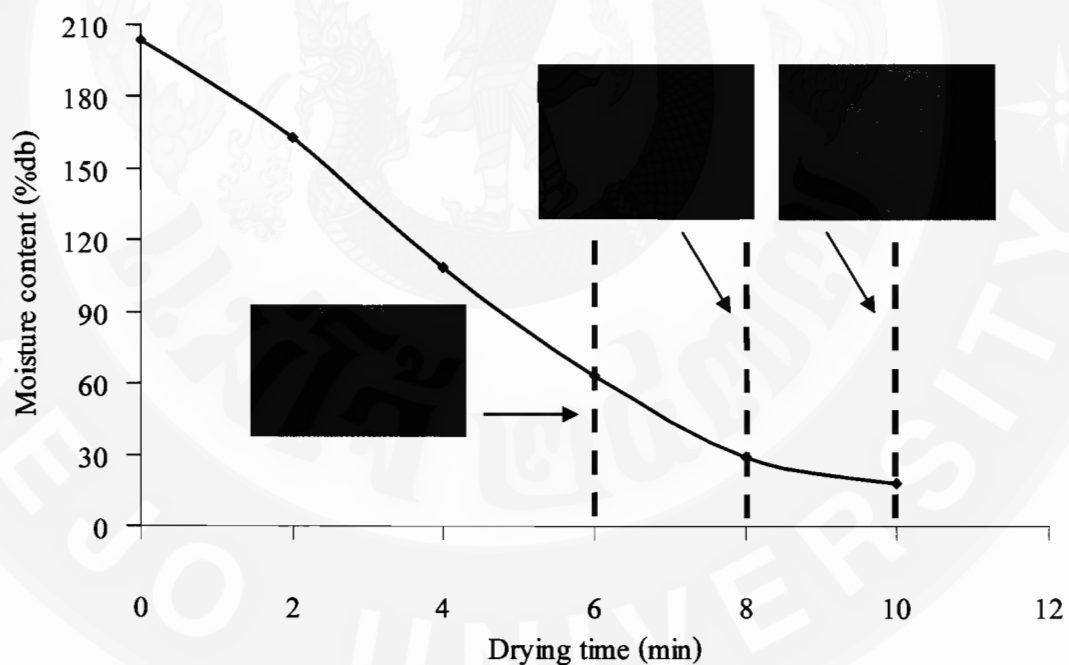


ภาพ 20 ลักษณะการไหม้ในชีนกลัวขอบแห้ง

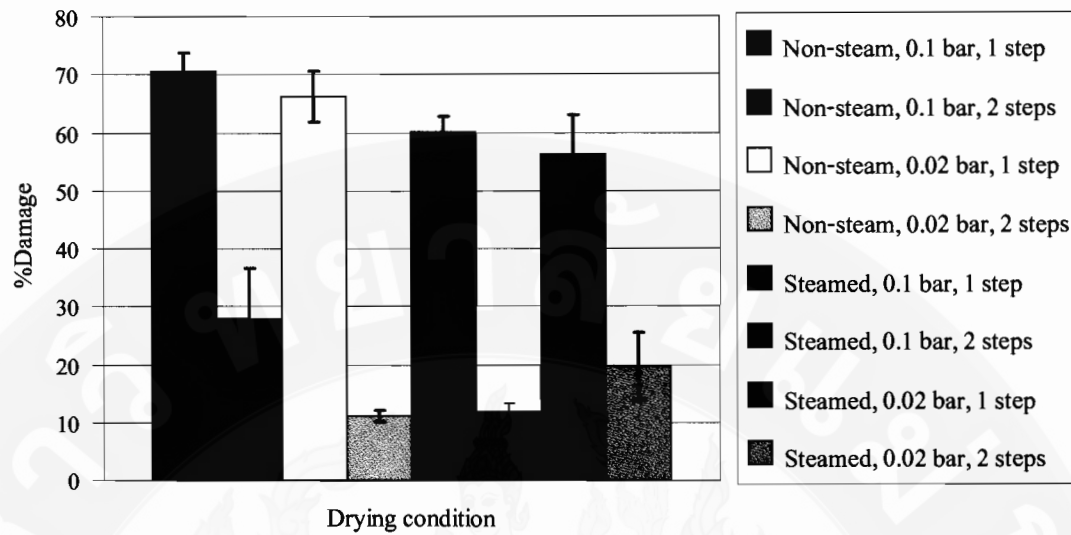
การอบแห้งภายใต้สภาวะสุญญากาศระดับต่ำและกลาง ด้วยระดับกำลังไมโครเวฟ ขั้นตอนเดียว ($20.4 \text{ W/g dry matter}$) ตลอดทั้งช่วงการอบแห้ง พบว่า แนวโน้มของการเกิดการไหม้ในชีนกลัวยมีลักษณะคล้ายคลึงกัน ดังภาพ 21 ตำแหน่งชีนกลัวยมีผลต่อความสามารถในการถูกซับกลืนไมโครเวฟ โดยจากการทดลองอบแห้ง พบว่า ชีนกลัวของนอกสุดเป็นตำแหน่งที่สามารถถูกซับกลืนไมโครเวฟได้ดีที่สุด ดังนั้นจึงส่งผลให้ชีนกลัวในตำแหน่งวางของสุดเกิดความร้อนและเกิดการไหม้เป็นตำแหน่งแรก เมื่อความชื้นในชีนกลัวลดลง ความสามารถในการถูกซับกลืนไมโครเวฟจะลดลงเช่นกัน ดังนั้นชีนกลัวของกลางจึงเกิดความร้อนและเกิดการไหม้เป็นอันดับถัดมา ซึ่งสอดคล้องกับการศึกษาของ Drouzas et al. (1999) ซึ่งพบว่า ตำแหน่งการวางเจลผลไม้ในดูอบแห้งไมโครเวฟ-สุญญากาศมีผลต่อการถูกซับกลืนไมโครเวฟและการเกิดความร้อน จากภาพ 22 แสดงถึงลักษณะการเกิดการไหม้ในชีนกลัวขอบแห้ง โดยพบว่า ลักษณะการไหม้จะเกิดขึ้นที่ตำแหน่งดังนี้ วงกลาง และวงใน ตามลำดับ โดยชีนกลัวของจะเริ่มเกิดการไหม้ในนาทีที่ 8 ดังนั้นจึงได้ประยุกต์ใช้การปรับลดระดับกำลังไมโครเวฟในช่วงท้ายของการอบแห้ง (การอบแห้งโดยใช้ระดับกำลังไมโครเวฟ 2 ขั้นตอน) หลังจากนาทีที่ 6 เพื่อลดปริมาณความเสียหายที่เกิดกับกลัวขอบแห้ง ดังนั้นการอบแห้งจึงถูกแบ่งออกเป็น 2 ช่วง คือ ช่วงแรก (เริ่มต้น-นาทีที่ 6) ใช้กำลังไมโครเวฟ $20.4 \text{ W/g dry matter}$ และช่วงหลัง (นาทีที่ 6–สิ้นสุดการอบแห้ง) ใช้กำลังไมโครเวฟ $11.1 \text{ W/g dry matter}$ จากการทดลองอบแห้งโดยใช้ระดับกำลังไมโครเวฟ 2 ขั้นตอน



ภาพ 21 ลักษณะตำแหน่งชิ้นกลวยบนแท่นแห้ง



ภาพ 22 กราฟช่วงเวลาและลักษณะการเกิดการไหม้ในชิ้นกลวยบนแท่นแห้ง



ภาพ 23 เปอร์เซ็นต์ความเสียหายในแต่ละสภาวะการอบแห้ง

จากภาพ 23 พบรวมว่า การประยุกต์ใช้การอบแห้งโดยใช้กำลังไมโครเวฟ 2 ขั้นตอน ช่วยลดเปอร์เซ็นต์ความเสียหายที่จะเกิดขึ้นต่อ กล้วยอบแห้งได้ เมื่อเปรียบเทียบระหว่างเปอร์เซ็นต์ ความเสียหายของการอบแห้งด้วยกำลังไมโครเวฟ 2 ขั้นตอนเดียวและ 2 ขั้นตอน พบรวมว่า การอบแห้ง ด้วยกำลังไมโครเวฟ 2 ขั้นตอนสามารถลดเปอร์เซ็นต์ความเสียหายได้ถึงร้อยละ 45.6 เมื่อเทียบกับ เปอร์เซ็นต์ความเสียหายของการอบแห้งด้วยกำลังไมโครเวฟ 2 ขั้นตอนเดียว เนื่องจากคลื่นไมโครเวฟ สามารถทำให้เกิดความร้อนได้รวดเร็วในชิ้นกล้วย ดังนั้นความชื้นในชิ้นกล้วยจึงลดลงอย่างรวดเร็ว ในช่วงแรก หลังจากนั้นความร้อนบริเวณแกนกลางของชิ้นกล้วยจะถูกถ่ายเทความร้อนโดย การนำความร้อนสู่บริเวณผิวของชิ้นกล้วย การรักษาอุณหภูมิให้สัมพันธ์ต่อการถ่ายเทความร้อนซึ่ง เป็นสิ่งสำคัญในการอบแห้งด้วยคลื่นไมโครเวฟ การใช้ระดับกำลังไมโครเวฟ 2 ขั้นตอนเดียวลดอัตราการอบแห้งส่งผลให้เกิดความร้อนสูงเกินไปในช่วงท้าย ดังนั้นการปรับลดระดับกำลังไมโครเวฟ ในช่วงท้ายของการอบแห้งหรือการอบแห้งด้วยระดับกำลังไมโครเวฟ 2 ขั้นตอนจึงช่วยรักษา อุณหภูมิในชิ้นกล้วยไม่ให้สูงจนเกินไป ดังนั้นจึงสามารถลดเปอร์เซ็นต์ความเสียหายที่จะเกิดขึ้นใน ชิ้นกล้วยอบแห้ง นอก จากนี้ จากการ 23 ซึ่งเปรียบเทียบเปอร์เซ็นต์ความเสียหายของกล้วยอบแห้ง ในแต่ละสภาวะการอบแห้ง พบรวมว่า สภาวะการอบแห้งที่มีเปอร์เซ็นต์ความเสียหายน้อยที่สุด ได้แก่ การอบแห้งด้วยสูญญากาศระดับกลาง โดยใช้ระดับกำลังไมโครเวฟ 2 ขั้นตอน และการอบแห้งด้วยสูญญากาศระดับต่ำ โดยใช้ระดับกำลังไมโครเวฟ 2 ขั้นตอน เป็น 2 สภาวะที่มีเปอร์เซ็นต์ความเสียหายต่ำที่สุด แต่การเลือกสภาวะที่เหมาะสมในการอบแห้ง จำเป็นต้องวิเคราะห์คุณภาพของกล้วยอบแห้งประกอบด้วย

การวิเคราะห์คุณภาพด้านสี

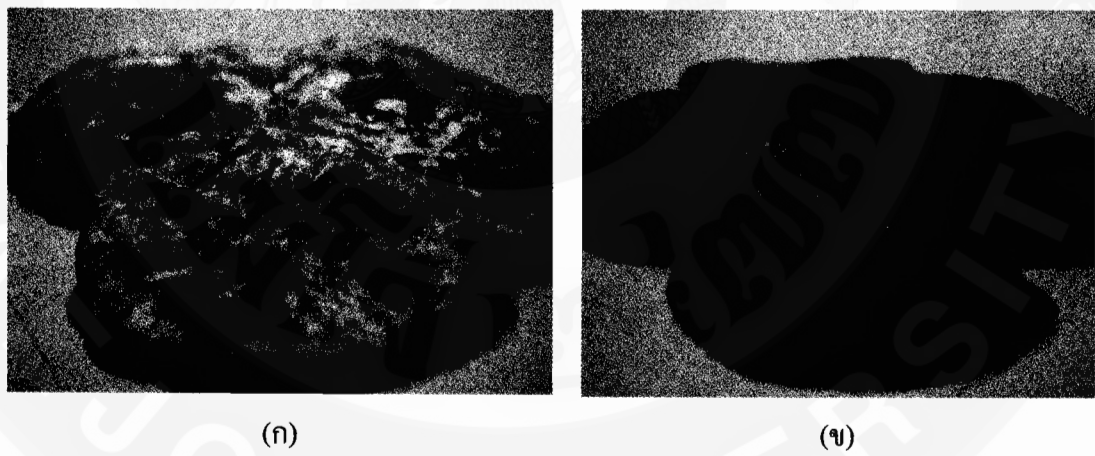
ปัจจัยหลักที่มีอิทธิพลต่อการเปลี่ยนแปลงของค่าความสว่าง (L^*) บนชิ้นกล้วยอบแห้ง ได้แก่ การพريทริทเมนต์และระดับสุญญากาศที่ใช้การอบแห้ง อีกทั้งยังมีอิทธิพลของ 2 ปัจจัยร่วมซึ่งได้แก่ ปัจจัยร่วงระหว่างการพريทริทเมนต์และการเปลี่ยนแปลงระดับกำลัง ในโครเวฟ และปัจจัยร่วงของทั้ง 3 ปัจจัย สังเกตได้จากตารางผนวก 1 ปัจจัยหลักที่มีผลต่อการเปลี่ยนแปลงของค่าสีแดง คือ การเปลี่ยนแปลงระดับกำลัง ในโครเวฟเพียงปัจจัยเดียว สำหรับปัจจัยร่วงไม่ส่งผลให้เกิดการเปลี่ยนแปลงของค่าสีแดงได้ ดังจะสังเกตได้จากตารางผนวก 2 ปัจจัยหลักที่มีผลต่อการเปลี่ยนแปลงของค่าความเป็นสีเหลือง (b^*) ได้แก่ การพريทริทเมนต์และการเปลี่ยนแปลงระดับกำลัง ในโครเวฟ สำหรับปัจจัยร่วงที่ส่งผลให้เกิดการเปลี่ยนแปลงของค่าสีเหลือง ได้แก่ ปัจจัยร่วงระหว่างการพريทริทเมนต์และระดับสุญญากาศที่ใช้ในการอบแห้งดังสังเกตในตารางผนวก 3

ตาราง 6 ผลการเปรียบเทียบค่าเฉลี่ยคุณสมบัติด้านสี

การพรี ทริทเมนต์	ระดับ สุญญากาศ	ขั้นตอนการ ใช้กำลังในโครเวฟ	ค่าสี		
			L^*	a^*	b^*
Non-steamed	Low	1	64.1 ± 3.3^{bc}	5.1 ± 1.5^a	27.6 ± 1.6^a
		2	67.8 ± 0.5^{ab}	3.6 ± 0.7^a	23.8 ± 1.2^{ab}
	Med	1	64.1 ± 3.3^{bc}	5.1 ± 1.5^a	27.6 ± 1.6^a
		2	75.3 ± 0.9^a	2.8 ± 0.7^a	26.0 ± 1.8^a
Steamed	Low	1	51.3 ± 2.4^d	5.7 ± 0.5^a	25.3 ± 1.9^a
		2	55.9 ± 5.6^{cd}	3.7 ± 2.9^a	23.1 ± 1.8^{ab}
	Med	1	63.5 ± 7.6^{bc}	5.8 ± 1.4^a	24.2 ± 3.9^{ab}
		2	53.1 ± 1.4^{cd}	4.4 ± 0.2^a	18.9 ± 0.8^b

หมายเหตุ ตัวอักษรที่เหมือนกันในแนวตั้ง หมายถึง ไม่มีความแตกต่างกันทางสถิติเมื่อเปรียบเทียบค่าเฉลี่ย ($P \geq 0.05$)

จากตาราง 6 ปัจจัยที่มีอิทธิพลต่อค่าความสว่าง (L^*) ได้แก่ การพรีทรีทเมนต์ โดยกลวยอบแห้งที่ผ่านการพรีทรีทเมนต์ด้วยการนึ่งด้วยไอน้ำเป็นเวลา 30 นาที มีค่าความสว่างน้อยกว่ากลวยสดอบแห้ง เมื่อเปรียบเทียบค่าความสว่างของกลวยอบแห้งที่ผ่านการพรีทรีทเมนต์ พบว่า การอบแห้งที่สภาวะสุญญากาศระดับกลาง (Medium vacuum) มีอิทธิพลช่วยทำให้กลวยอบแห้งนี้ ค่าความสว่างเพิ่มขึ้น เมื่อจากการอบแห้งภายใต้สภาวะสุญญากาศระดับกลางสามารถดึงความชื้นออกจากกลวย ได้ดีกว่าการอบแห้งภายใต้สภาวะสุญญากาศระดับต่ำ ซึ่งสอดคล้องกับผลการวิเคราะห์อัตราการอบแห้ง โดยการอบแห้งภายใต้สภาวะสุญญากาศระดับกลางมีอัตราการอบแห้งสูงกว่าการอบแห้งภายใต้สภาวะสุญญากาศระดับต่ำ สำหรับค่าสีแดง (a^*) พบว่า ปัจจัยทั้งสามไม่มีอิทธิพลต่อการเปลี่ยนแปลงของค่าสีแดง จากการวิเคราะห์ค่าสีเหลือง (b^*) พบว่า ปัจจัยที่มีอิทธิพลต่อค่าสีเหลือง ได้แก่ การพรีทรีทเมนต์และกำลังในโครเวฟ โดยกลวยอบแห้งที่ผ่านการพรีทรีทเมนต์มีค่าสีเหลืองน้อยกว่ากลวยอบแห้งที่ไม่ผ่านการพรีทรีทเมนต์ การเปลี่ยนแปลงกำลังในโครเวฟยังมีอิทธิพลต่อค่าสีเหลือง โดยกลวยอบแห้งที่ใช้กำลังในโครเวฟที่แตกต่างกัน 2 ขั้นตอน ในช่วงการอบแห้งมีค่าสีเหลืองน้อยกว่ากลวยอบแห้งที่ใช้กำลังในโครเวฟขั้นตอนเดียวตลอดช่วงการอบแห้ง ดังภาพ 24



ภาพ 24 กลวยอบแห้ง

หมายเหตุ (ก) กลวยสดอบแห้ง
(ข) กลวยนึ่งอบแห้ง

การวิเคราะห์คุณภาพด้านเนื้อสัมผัส

ในงานวิจัยนี้ได้ศึกษาถึงคุณภาพด้านเนื้อสัมผัส โดยได้พิจารณาจากค่าความแข็ง (Hardness) และค่าความกรอบ (Crispness) จากการวิเคราะห์ความแปรปรวน พบร่วมกับค่าความแปรปรวนทางสถิติของปัจจัยทั้งสามที่มีผลต่อค่าความแข็ง โดย ปัจจัยหลักที่มีอิทธิพลต่อค่าความแข็ง ได้แก่ การพรีทรีเมนต์ ระดับสุญญากาศ และระดับกำลังในโครเวฟ สำหรับปัจจัยร่วมที่มีอิทธิพลต่อค่าความแข็ง ได้แก่ ปัจจัยร่วมระหว่างการพรีทรีทเมนต์และระดับกำลังในโครเวฟ สำหรับปัจจัยร่วมที่มีอิทธิพลต่อค่าความแข็ง ได้แก่ ปัจจัยร่วมระหว่างการพรีทรีทเมนต์และระดับกำลังในโครเวฟ ดังตารางผนวก 4 และเมื่อวิเคราะห์ความแปรปรวนทางสถิติของปัจจัยทั้งสามที่มีผลต่อค่าความกรอบ พบร่วมกับ ปัจจัยหลักที่มีอิทธิพลต่อค่าความกรอบของกล้วຍອນแห่ง ได้แก่ การพรีทรีทเมนต์ นอกจากนี้ยังมีอิทธิพลที่ส่งผลทำให้เกิดการเปลี่ยนแปลงต่อค่าความกรอบจากปัจจัยร่วมซึ่ง ได้แก่ ปัจจัยร่วมระหว่างการพรีทรีทเมนต์ ระดับสุญญากาศ และระดับกำลังในโครเวฟ ดังตารางผนวก 5

จากการ 7 พบร่วมกับการพรีทรีทเมนต์มีอิทธิพลต่อค่าความแข็งของกล้วຍອนแห่ง โดยกล้วຍອนแห่งที่ผ่านการพรีทรีทเมนต์ด้วยการนึ่งก่อนการอบแห้งมีค่าความแข็งน้อยกว่ากล้วຍอุดอบแห้ง ในทำนองเดียวกันระดับสุญญากาศที่ใช้ในการอบแห้งมีอิทธิพลต่อค่าความแข็ง เช่นกัน โดยกล้วຍອนแห้งภายใต้สภาวะสุญญากาศระดับกลางมีค่าความแข็งน้อยกว่ากล้วຍອนแห้งภายใต้สภาวะสุญญากาศระดับต่ำ นอกจากนี้การอบแห้งโดยใช้ระดับกำลังในโครเวฟ 2 ขั้นตอน ส่งผลให้ค่าความแข็งเพิ่มขึ้น เมื่อเปรียบเทียบระหว่างค่าความแข็งเฉลี่ยของกล้วຍອนแห่งโดยใช้ระดับกำลังในโครเวฟ 2 ขั้นตอนเดียวกันลดลงทั้งช่วงการอบแห้ง สำหรับค่าความกรอบ พบร่วมกับการพรีทรีทเมนต์มีอิทธิพลให้มีความเปลี่ยนแปลงต่อค่าความกรอบ โดยการพรีทรีทเมนต์กับกล้วຍก่อนนำไปอบแห้งมีแนวโน้มส่งผลให้ค่าความกรอบเพิ่มขึ้น และส่งผลให้กล้วຍອนแห้งมีลักษณะคล้ายกล้วຍอุดอบซึ่งทำให้คุณภาพของกล้วຍອนแห้งด้านเนื้อสัมผัสดีขึ้น

ตาราง 7 ผลการเปรียบเทียบค่าเฉลี่ยคุณสมบัติด้านเนื้อสัมผัส

การพรีทรีท เมนต์	ระดับ สุญญากาศ	ขั้นตอนการ			ความกรอบ
		ใช้กำลังในโครเวฟ	ความแข็ง (N)		
Non-steam	Low	1	40.3 ± 1.9^{abc}		117.9 ± 8.4^{bc}
		2	43.1 ± 5.8^{ab}		117.3 ± 0.8^c
	Med	1	38.8 ± 3.4^{abc}		126.8 ± 11.3^{abc}
		2	41.6 ± 1.6^{abc}		138.8 ± 2.8^{abc}

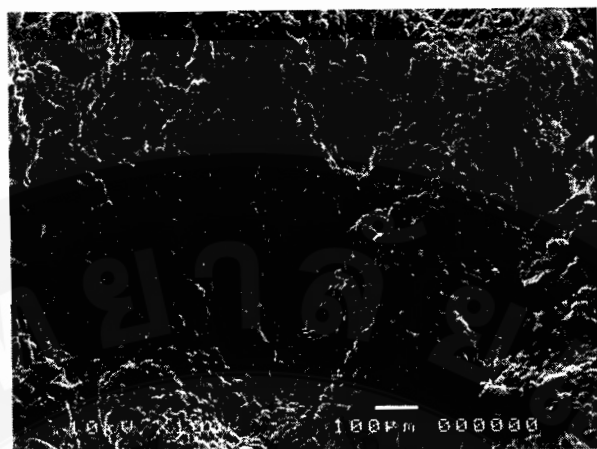
ตาราง 7 (ต่อ)

การพรีทรีท เมนต์	ระดับ สุญญากาศ	ขั้นตอนการ		
		ใช้กำลังในโครเวฟ	ความแข็ง (N)	ความกรอบ
Steamed	Low	1	$32.6 \pm 5.5^{\text{bcd}}$	$138.7 \pm 22.7^{\text{abc}}$
		2	$43.9 \pm 4.0^{\text{a}}$	$156.2 \pm 17.1^{\text{a}}$
	Med	1	$26.3 \pm 3.2^{\text{d}}$	$146.1 \pm 8.5^{\text{abc}}$
		2	$30.8 \pm 4.1^{\text{cd}}$	$155.4 \pm 18.5^{\text{ab}}$

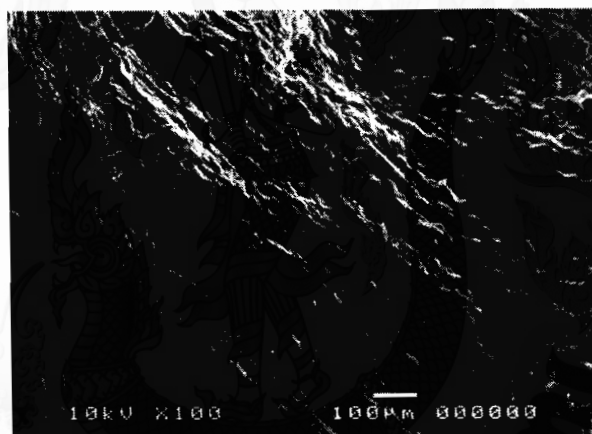
หมายเหตุ ตัวอักษรที่เหมือนกันในแนวตั้ง หมายถึง ไม่มีความแตกต่างกันทางสถิติเมื่อเปรียบเทียบค่าเฉลี่ย ($P \geq 0.05$)

การวิเคราะห์โครงสร้างภายใน

ภาพ 25 แสดงภาพโครงสร้างผิวน้ำของกล้วຍอบแห้งที่ผ่านการอบแห้งภายใต้ระดับสุญญากาศระดับต่ำ (0.1 bar) โดยใช้กำลังในโครเวฟระดับเดียวตลอดช่วงการอบแห้ง (20.4 W/g dry matter) ซึ่งพบว่า ลักษณะโครงสร้างผิวน้ำของกล้วຍอบแห้งมีความแตกต่างกันโดยกล้วຍอบแห้งที่ไม่ผ่านการพรีทรีทเมนต์มีลักษณะโครงสร้างพื้นผิวที่ขรุขระมากกว่ากล้วຍอบแห้งที่ผ่านการพรีทรีทเมนต์ ลักษณะโครงสร้างผิวน้ำที่ขรุขระของกล้วຍอบแห้งแสดงให้เห็นถึงการเกาะตัวของเม็ดแป้งปกติในกล้วຍที่มีขนาดแตกต่างกันอย่างชัดเจนดังภาพ 25(ก) ซึ่งแตกต่างกับกล้วຍอบแห้งที่ผ่านการพรีทรีทเมนต์ด้วยการนึ่งที่มีลักษณะโครงสร้างผิวน้ำเรียบและไม่สามารถสังเกตเห็นการเกาะตัวของเม็ดแป้งที่มีขนาดแตกต่างกัน เนื่องจากเม็ดแป้งรับความร้อนจากการนึ่งส่งผลให้เกิดการสลายพันธะและเกิดเขลาติในเชิงนิเวศในเนื้อกล้วຍ ดังภาพ 25(ข) ดังนั้น จึงพบว่า โครงสร้างผิวน้ำมีลักษณะเรียบเป็นเนื้อเดียวกัน



(ก)

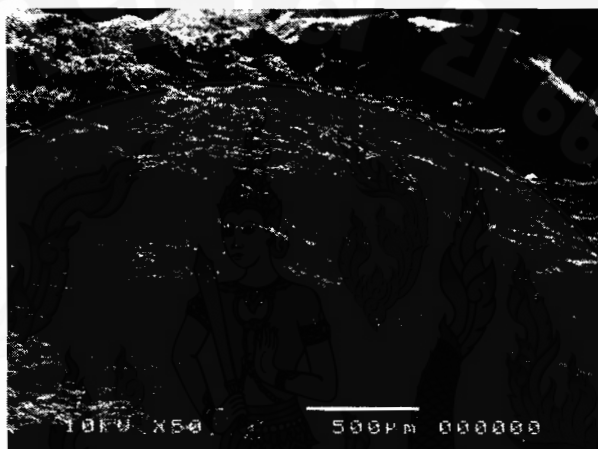


(ข)

ภาพ 25 โครงสร้างผิวน้ำกล้ำยอบแห้ง
หมายเหตุ (ก) กล้ำยอบแห้งที่ไม่ผ่านการพรีทรีพเมนต์
(ข) กล้ำยอบแห้งที่ผ่านการพรีทรีพเมนต์ด้วยการนึ่ง

เมื่อพิจารณาโครงสร้างภายในของกล้ำยอบแห้งแบบภาคตัดขวาง พบร่วมกับลักษณะโครงสร้างภายในของกล้ำยอบแห้ง 2 ชนิด ได้แก่ กล้ำยที่ผ่านการพรีทรีพเมนต์ด้วยการนึ่งและกล้ำยสด โดยลักษณะโครงสร้างภายในแนวตัดขวางของกล้ำยสดอยู่แห้งมีลักษณะเป็นเส้นใยภายในเนื้อกล้ำยที่ยึดตัวแน่นและมีปริมาณช่องว่างหรือโพรงอากาศเล็กน้อยบริเวณแกนกลางของเนื้อกล้ำย ดังภาพ 26(ก) ส่วนลักษณะโครงสร้างภายในของกล้ำยอบแห้งที่ผ่านการพรีทรีพเมนต์ด้วยการนึ่งก่อนการอบแห้งมีลักษณะเนื้อกล้ำยที่ยึดตัวกันแน่นและ致密 โดยไม่สามารถสังเกตเห็นเส้นใยภายในเนื้อกล้ำย เช่นเดียวกับกล้ำยสดอยู่แห้งและมีขนาดของโพรงอากาศบริเวณแกนกลาง

กล่าวขนาดใหญ่ ดังภาพ 26(ข) เนื่องจากการพريทรีทเมนต์ด้วยการนึ่งทำให้เนื้อเยื่ออ่อน化ของกล้ามเนื้อ ติดกันและเกิดการเจลัดในเข็ม ซึ่งส่งผลให้น้ำที่มีอยู่ในกล้ามเนื้อได้แยกขึ้น ดังนั้นน้ำในกล้ามเนื้อจึงเกิดการสั่นตัวของโมเลกุln้ำ และเกิดการเดือดของน้ำภายในกล้าม ซึ่งทำให้เกิดไพร่องอากาศขนาดใหญ่ในชิ้นกล้ามยอนแห้ง



(ก)

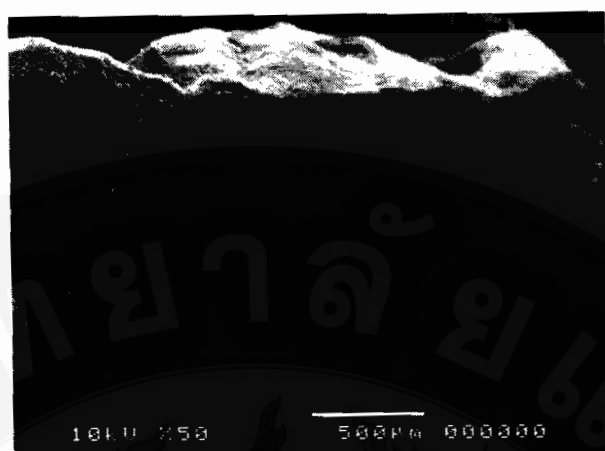


(ข)

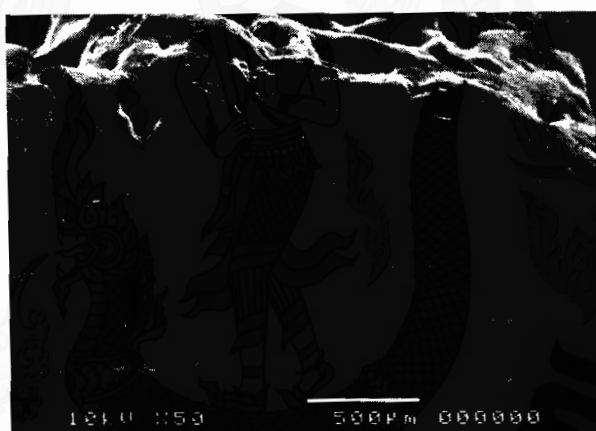
ภาพ 26 โครงสร้างภายในของกล้ามยอนแห้งในแนวตัดขวาง

หมายเหตุ (ก) กล้ามยอนแห้งที่ไม่ผ่านการพريทรีทเมนต์

(ข) กล้ามยอนแห้งที่ผ่านการพريทรีทเมนต์ด้วยการนึ่ง



(ก)



(ข)

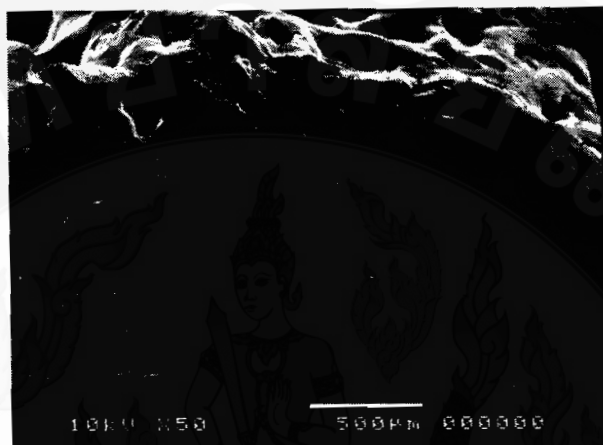
ภาพ 27 โครงสร้างภายในของกลั่วยอบแห้งที่ผ่านการพريทรีเมนต์ในแนวตัดขวาง โดยใช้กำลังไมโครเวฟในการอบแห้งเพียงขั้นตอนเดียว

หมายเหตุ (ก) กลั่วยอบแห้งภายใต้สภาวะสุญญากาศระดับต่ำ

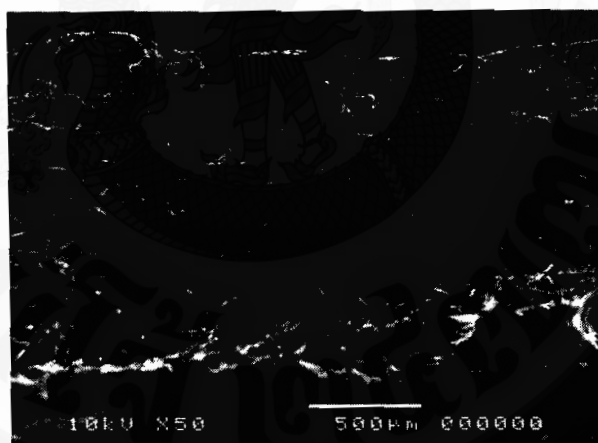
(ข) กลั่วยอบแห้งภายใต้สภาวะสุญญากาศระดับกลาง

ภาพ 27 แสดงการเปรียบเทียบโครงสร้างภายในแนวตัดขวางของกลั่วยอบแห้งที่ผ่านการพريทรีเมนต์ด้วยการนึ่งและใช้ระดับกำลังไมโครเวฟขั้นตอนเดียวตลอดช่วงการอบแห้งโดยอบแห้งภายใต้สภาวะสุญญากาศที่แตกต่างกัน พบว่า ขนาดและจำนวนของโพรงอากาศของกลั่วยอบแห้งที่อบแห้งภายใต้สภาวะสุญญากาศทั้ง 2 ระดับมีความแตกต่างกัน โดยกลั่วยอบแห้งภายใต้สภาวะสุญญากาศระดับต่ำมีขนาดโพรงอากาศใหญ่กว่าขนาดโพรงอากาศของกลั่วยที่อบแห้งภายใต้สภาวะสุญญากาศระดับกลาง เนื่องจากระดับสุญญากาศระดับกลางสามารถดึงน้ำ

ออกจากชิ้นกล้ายได้ง่ายกว่าการอบแห้งภายใต้สภาวะสุญญากาศระดับต่ำ การเดือดของโนมเลกูลน้ำในชิ้นกล้ายจะเกิดขึ้นได้ยาก สภาพโครงอากาศบนตัวใหญ่ซึ่งเกิดจากการเดือดของน้ำในชิ้นกล้าย จึงไม่เกิดขึ้นในการอบแห้งภายใต้สภาวะสุญญากาศระดับกลาง



(ก)



(ข)

ภาพ 28 โครงสร้างภายในแนวตัดขวางของกล้ายอบแห้งที่ผ่านการพรีทรีพเมนต์ โดยอบแห้งภายใต้สุญญากาศระดับกลาง

หมายเหตุ (ก) กล้ายอบแห้งโดยใช้กำลังไมโครเวฟขั้นตอนเดียว

(ข) กล้ายอบแห้งโดยใช้ 2 ขั้นตอน

ภาพ 28 แสดงการเปรียบเทียบโครงสร้างภายในแนวตัดขวางของกล้ายอบแห้งที่ผ่านการพรีทรีพเมนต์ด้วยการนึ่ง โดยใช้กำลังไมโครเวฟที่แตกต่างกัน ได้แก่ การใช้กำลัง

ในโครเวฟขั้นตอนเดียวและ 2 ขั้นตอน ภายใต้สภาวะสุญญาการระดับกลาง พบว่า กล้วยอบแห้งโดยใช้กำลังในโครเวฟขั้นตอนเดียวมีขนาด ไฟฟ้าอากาศขนาดใหญ่ แต่มีจำนวนของไฟฟ้าอากาศน้อยกว่า เมื่อเปรียบเทียบกับภาพโครงสร้างภายในของกล้วยอบแห้ง โดยใช้กำลังในโครเวฟ 2 ขั้นตอน ซึ่งมีขนาดไฟฟ้าอากาศขนาดเล็ก และมีจำนวนไฟฟ้าอากาศมากกว่า เนื่องจากการอบแห้งภายใต้สภาวะสุญญาการระดับกลางสามารถดึงน้ำออกจากกล้วยได้ดี นำในชิ้นกล้วยสามารถเกลี่อนที่สูงได้ดีกว่าการอบแห้งภายใต้สภาวะสุญญาการระดับต่ำ การเดือดของน้ำซึ่งส่งผลทำให้เกิดไฟฟ้าอากาศขนาดใหญ่จึงเกิดขึ้น ได้ยาก อีกทั้งการอบแห้งโดยใช้กำลังในโครเวฟ 2 ขั้นตอนช่วยเพิ่มระยะเวลาในการระเหยนำออกจากรากล้วยและทำให้ความร้อนที่เกิดขึ้นในชิ้นกล้วยอบแห้งไม่สูงมากนักในช่วงท้ายของการอบแห้ง ดังนั้นไฟฟ้าอากาศที่เกิดขึ้นในชิ้นกล้วยที่อบแห้งภายใต้สุญญาการระดับกลาง โดยใช้ระดับกำลังในโครเวฟ 2 ขั้นตอนจึงมีขนาดเล็กและมีจำนวนมากเนื่อกล้วยจะมีความพรุนดังภาพ 28(ข)

เมื่อนำผลที่ได้จากการวิเคราะห์โครงสร้างภายในของเนื้อกล้วยอบแห้งในสภาวะต่างๆ เปรียบเทียบกับการวิเคราะห์ด้านเนื้อสัมผัส พบว่า การพิธีทริทเมนต์กล้วยด้วยด้วຍการนึ่งก่อนการอบแห้งส่งผลให้มีเม็ดแป้งในเนื้อกล้วยเกิดการถลายน้ำ ทำให้มีเม็ดแป้งยึดติดกันแน่นขึ้น ดังนั้นในขณะอบแห้งกล้วย นำภายในเนื้อกล้วยจะระเหยออกจากเนื้อกล้วยได้ยาก เมื่อนำในชิ้นกล้วยจะคุณซับคลื่นในโครเวฟจะทำให้ไม่เกิดกุลของน้ำเกิดการสั่น นำจะถูกดึงออกจากชิ้นกล้วยเนื่องจากการอบแห้งภายใต้สภาวะสุญญาการ ดังนั้นจึงทำให้เนื้อกล้วยอบแห้งมีลักษณะพรุน ซึ่งส่งผลต่อลักษณะเนื้อสัมผัสของกล้วยอบแห้งที่ผ่านการพิธีทริทเมนต์ด้วยการนึ่งให้มีความแข็งลดลงและมีความกรอบเพิ่มขึ้น เมื่อเทียบกับกล้วยสดอบแห้ง ดังนั้นมีอิเล็กทรอนิกส์คุณภาพของกล้วยด้านสีและเนื้อสัมผัส รวมถึงเปอร์เซ็นต์ความเสียหาย พบว่า สภาวะที่เหมาะสมในการอบแห้งขยายผลในระดับอุตสาหกรรม ได้แก่ การอบแห้งกล้วยที่ผ่านการนึ่งด้วยไอน้ำภายใต้สุญญาการระดับกลาง โดยใช้กำลังในโครเวฟ 2 ขั้นตอน ซึ่งส่งผลให้กล้วยอบแห้งมีแนวโน้มคุณภาพดีขึ้น

การอบแห้งขยายผลจากการระดับห้องปฏิบัติการสู่ระดับอุตสาหกรรม

การทำลายเครื่องอบแห้งในโครเวฟ-สุญญาการระดับอุตสาหกรรม

จากการสอบเทียบกำลังในโครเวฟ พบว่า ค่าที่ได้จากการสอบเทียบกำลังในโครเวฟของเครื่องในโครเวฟ-สุญญาการ ระดับอุตสาหกรรมรายละเอียดดังตาราง 8

ตาราง 8 กำลังไนโครเวฟของเครื่องอบแห้งไนโครเวฟ-สูญญากาศระดับอุตสาหกรรม

ระดับไนโครเวฟ (%)	กำลังไนโครเวฟ (W)	กำลังไนโครเวฟเทียบต่อมวลแห้งของกล้วย (W/g dry matter)
100	539	20.4
70	441	16.7
50	332	12.6
30	198.3	7.5

การคำนวณกำลังไนโครเวฟขยายผล

จากการอบแห้งกล้วยด้วยเครื่องอบแห้งไนโครเวฟ-สูญญากาศระดับห้องปฏิบัติการ พบร่วมกับ การอบแห้งกล้วยที่ผ่านการพรีทรีพเมนต์ด้วยการนึ่งด้วยไอน้ำเป็นเวลา 30 นาที โดยอบแห้งที่สภาวะสูญญากาศระดับกลาง (0.02 bar หรือ 2 kPa) และใช้กำลังไนโครเวฟ 2 ขั้นตอน (กำลังไนโครเวฟ 20.4 W/g dry matter ในช่วงแรกของการอบแห้งและ 12.6 W/g dry matter ในช่วงท้ายของการอบแห้ง) เป็นสภาวะที่เหมาะสมในการอบแห้งกล้วยซึ่งทำให้ได้กล้วยอบแห้งที่มีคุณภาพดีที่สุดและมีปอร์เซนต์ความเสียหายน้อย เมื่อนำไปคำนวณหากำลังไนโครเวฟเทียบต่อมวลแห้งของกล้วยซึ่งมีรายละเอียดดังภาคผนวก ง โดยได้เพิ่มปริมาณน้ำหนักของกล้วยก่อนการอบแห้งเป็น 80 g พบร่วมกับ ระดับกำลังไนโครเวฟเทียบที่ใกล้เคียงกับสภาวะที่เหมาะสมที่ได้เลือกจากการอบแห้งด้วยเครื่องอบแห้งไนโครเวฟระดับห้องปฏิบัติการ คือ ระดับไนโครเวฟ 100% ในช่วงแรกของการอบแห้งและระดับไนโครเวฟ 50% ในช่วงท้ายของการอบแห้ง

ผลการอบแห้งขยายผลระดับอุตสาหกรรม

จากการทดลองอบแห้ง พบร่วมกับ เมื่อนำกล้วยที่ผ่านการพรีทรีพเมนต์น้ำหนัก 80 g ความชื้นเริ่มต้นประมาณร้อยละ 203 (มาตรฐานแห้ง) อบแห้งด้วยเครื่องไนโครเวฟ-สูญญากาศระดับอุตสาหกรรม โดยอบแห้งที่สภาวะสูญญากาศระดับกลาง โดยใช้ระดับกำลังไนโครเวฟ 2 ขั้นตอนเช่นเดียวกับการอบแห้งด้วยเครื่องไนโครเวฟ-สูญญากาศระดับห้องปฏิบัติการ โดยใช้เวลาในการอบแห้งด้วยกำลังไนโครเวฟ 20.4 W/g dry matter ในช่วงแรกของการอบแห้งเป็นเวลา 22 นาที และกำลังไนโครเวฟ 12.6 W/g dry matter ในช่วงท้ายเป็นเวลา 22 นาที สามารถทำให้ความชื้นของกล้วยอบแห้งมีความชื้นประมาณร้อยละ 18 (มาตรฐานแห้ง)

ผลการวิเคราะห์คุณภาพของกลีบขอนแห้งจากการอบแห้งทั้ง 2 ระดับ

1. คุณภาพด้านสี

จากการวิเคราะห์และเปรียบเทียบค่าเฉลี่ยของค่าสีกลีบขอนแห้งระดับห้องปฏิบัติการและอุตสาหกรรมในหน่วยสี L*a*b* หรือ ค่าความสว่าง สีแดง และสีเหลือง ตามลำดับ ในระดับความเชื่อมั่น 95% พบว่า กลีบขอนแห้งที่ผ่านการอบแห้งทั้ง 2 ระดับมีค่าความสว่างอยู่ในระดับเดียวกันหรือไม่มีความแตกต่างอย่างมีนัยสำคัญ ($P \geq 0.05$) โดยค่าเฉลี่ยความสว่างของกลีบขอนแห้งระดับอุตสาหกรรมและระดับห้องปฏิบัติการมีค่าเท่ากับ 50.68 ± 1.55 และ 53.11 ± 1.39 ดังตารางผนวก 6 สำหรับค่าสีแดง (a^*) และค่าสีเหลือง (b^*) พบว่า กลีบที่อบแห้งด้วยเครื่องอบแห้งไมโครเวฟ-สูญญากาศระดับอุตสาหกรรมมีลักษณะสีแดงและเหลืองมากกว่ากลีบอบแห้งด้วยเครื่องอบแห้งไมโครเวฟ-สูญญากาศระดับปฏิบัติการ ดังตารางผนวก 7 และ 8

2. คุณภาพด้านเนื้อสัมผัส

จากการวิเคราะห์คุณภาพด้านเนื้อสัมผัส โดยศึกษาด้านค่าความแข็ง (Hardness) และค่าความกรอบ (Crispness) พบว่า กลีบขอนแห้งด้วยเครื่องอบแห้งไมโครเวฟ-สูญญากาศทึบสองระดับไม่มีความแตกต่างอย่างมีนัยสำคัญ ($P \geq 0.05$) กลีบขอนแห้งด้วยเครื่องอบแห้งระดับอุตสาหกรรมและห้องปฏิบัติการมีความแข็งเฉลี่ย 42.06 และ 32.39 N ตามลำดับ และมีค่าความกรอบเฉลี่ย 159.13 และ 155.4 ตามลำดับ รายละเอียดแสดงในตารางผนวก 9 และ 10

จากการวิเคราะห์ความแตกต่างด้านคุณภาพด้านสีและเนื้อสัมผัส พบว่า การอบแห้งทั้ง 2 ระดับ ทำให้ได้กลีบขอนแห้งที่มีคุณภาพอยู่ในระดับเดียวกัน แต่เมื่อวิเคราะห์ในด้านพลังงานและอัตราการอบแห้ง พบว่า มีความแตกต่างกัน โดยการอบแห้งในระดับอุตสาหกรรมใช้เวลาในการอบแห้งนานกว่าการอบแห้งระดับห้องปฏิบัติการ เนื่องจากขนาดของเครื่องอบแห้งในไมโครเวฟ-สูญญากาศ ระดับอุตสาหกรรม มีขนาดใหญ่กว่าและมีลักษณะรูปร่างแตกต่างจากเครื่องอบแห้งในไมโครเวฟ-สูญญากาศระดับห้องปฏิบัติการ ซึ่งส่งผลให้ลักษณะการกระจายตัวของกลีบในไมโครเวฟภายในห้องอบแห้งแตกต่างกัน ดังนั้นการอบแห้งในระดับห้องปฏิบัติสามารถนำไปประยุกต์ใช้เพื่อศึกษาและพัฒนากระบวนการอบแห้ง เพื่อหาสภาวะที่เหมาะสมที่ส่งผลให้ได้ผลิตภัณฑ์ที่มีคุณภาพตามที่ต้องการ แล้วจึงนำสภาวะที่ได้นี้ไปศึกษาหาระยะเวลาในการอบแห้งที่เหมาะสมในการอบแห้งขยายผลในระดับอุตสาหกรรมต่อไป

บทที่ 5

สรุปผลการทดลอง

สรุปผลการทดลองอบแห้งด้วยเครื่องอบแห้งไมโครเวฟ-สุญญากาศ ระดับห้องปฏิบัติการ

จากการวิจัย พบว่า สมการแบบจำลองของ Page และ Modified Page มีความเหมาะสมสำหรับการอบแห้งกล้วยน้ำว้าหันแวนหนา 3 mm ด้วยเครื่องอบแห้งไมโครเวฟ-สุญญากาศ ระดับปฏิบัติการ โดยปัจจัยที่มีผลต่ออัตราการอบแห้ง ได้แก่ ระดับสุญญากาศและระดับกำลังไมโครเวฟที่ใช้ในการอบแห้ง สำหรับการพريทรีทเมนต์ไม่มีผลต่ออัตราการอบแห้ง ทั้ง 3 ปัจจัยซึ่งได้แก่ การพريทรีทเมนต์ ระดับสุญญากาศ และระดับกำลังไมโครเวฟมีอิทธิพลต่อการเปลี่ยนแปลงค่าความส่วนร่วมและค่าสีเหลืองของกล้วยอบแห้ง แต่ไม่ทำให้เกิดความแตกต่างของค่าสีแดง นอกเหนือจากนี้ทั้ง 3 ปัจจัยยังส่งผลต่อการเปลี่ยนแปลงค่าเนื้อสัมผัสในชิ้นกล้วยอบแห้ง

ในงานวิจัยนี้ พบว่า สภาวะที่เหมาะสมในการอบแห้งกล้วยด้วยเครื่องไมโครเวฟ-สุญญากาศ ระดับห้องปฏิบัติการ ได้แก่ การอบแห้งกล้วยที่ผ่านการพريทรีทเมนต์ด้วยการนึ่งภายใต้สภาวะสุญญากาศระดับกลาง โดยใช้กำลังไมโครเวฟ 2 ขั้นตอน (20.4 และ 11.1 W/g dry matter) ซึ่งส่งผลให้กล้วยอบแห้งมีคุณภาพด้านสีและเนื้อสัมผัสดีที่สุด

สรุปผลการทดลองอบแห้งขยายผล

จากการอบแห้งขยายผลในระดับอุตสาหกรรม โดยใช้สภาวะการอบแห้งที่เหมาะสมซึ่งได้จากการอบแห้งในระดับห้องปฏิบัติการ พบว่า คุณภาพของกล้วยอบแห้งด้านสีและเนื้อสัมผัสดอยู่ในระดับเดียวกัน แต่การอบแห้งด้วยเครื่องอบแห้งไมโครเวฟ-สุญญากาศระดับอุตสาหกรรมใช้เวลาในการอบแห้งนานกว่าการอบแห้งด้วยเครื่องอบแห้งไมโครเวฟ-สุญญากาศ ระดับห้องปฏิบัติการ

บรรณานุกรม

- ชาตุพงศ์ วากท์, บัณฑิต หริษย์สกิติย์พร, โภไนย ไกรฤกษ์, ชนันท์ นิยมรายภูร์, สุวรรณ จันทร์-อินทร์, พฤทธิ์ เนตรสว่าง และชนิสรา หนูช่วย. 2551. **เครื่องอบแห้งในครัวเรือนและอาหาร สุขภาพดีด้วยการดูแลตัวเอง**. เชียงใหม่: ภาควิชาวิศวกรรมเกษตร และอาหาร คณะวิศวกรรมและอุตสาหกรรมเกษตร มหาวิทยาลัยแม่โจ้. 61 น.
- ชาตุพงศ์ วากท์, ราชภัฏ เชื้อวิโรจน์, ชนวัฒน์ นิทกนวัฒน์, จารุพงษ์ พิมพ์พิมล, ศิริ อัจฉริยวิริยะ, อารีย์ อัจฉริยวิริยะ และไพรัชต์ คิมสุกามารักษ์กุล. 2548. **การพัฒนาระบบอบแห้งสำหรับอาหารและยา**. ด้วยกลไกใหม่ในครัวเรือนร่วมกับระบบลมร้อน. เชียงใหม่: ภาควิชาวิศวกรรมเกษตรและอาหาร คณะวิศวกรรมและอุตสาหกรรมเกษตร มหาวิทยาลัยแม่โจ้. 50 น.
- ดวงจันทร์ เกรียงสุวรรณ. 2545. **พืชผักผลไม้ไทยมีคุณค่าเป็นทั้งอาหารและยา**. [ระบบออนไลน์] แหล่งที่มา http://natres.psu.ac.th/radio_radio_article/radio45-46/45-460009.htm (22 พฤษภาคม 2552).
- นภากรณ์ พลายโถ, สมเกียรติ ปรัชญาภรณ์, วรุณี เตีย และสมชาติ โสกณรัตนฤทธิ์. 2549. **ผลกระทบของการพิธีกรรมแต่งงานต่อสุขภาพของกลุ่มคนรุ่นใหม่**. น. 447-455. **ใน การประชุมวิชาการ สมาคมวิศวกรรมเกษตรแห่งประเทศไทย ครั้งที่ 7 ประจำปี 2549**. มหาสารคาม: มหาวิทยาลัยมหาสารคาม.
- เบญจมาศ ศิตาชัย. 2545. **กสิริ. กรุงเทพฯ: ภาควิชาพืชสวน คณะเกษตรศาสตร์ มหาวิทยาลัยเกษตรศาสตร์**. 156 น.
- ฤทธิ์ไกร งานชุม. 2547. **การอบแห้งกล้วยหอมหั่นบางชิ้นเครื่องอบแห้งสุขภาพดีร่วมกับรังสีอินฟราเรดไกออล**. ภาควิชาเทคโนโลยีพลังงาน คณะพลังงานและวัสดุ มหาวิทยาลัยเทคโนโลยีพระจอมเกล้าธนบุรี. 98 น.
- ลั่นทม จ่อนจวนทรง. 2535. **กล้วยอบเพื่อชีวิต. เทคโนโลยีที่เหมาะสม** 10(3): 44-51.
- วีไล รังสาดทอง. 2543. **เทคโนโลยีการแปรรูปอาหาร. กรุงเทพฯ: ภาควิชาเทคโนโลยีอุตสาหกรรมเกษตร คณะวิทยาศาสตร์ประยุกต์ สถาบันเทคโนโลยีพระจอมเกล้าพระนครเหนือ**. 401 น.
- สมชาติ โสกณรัตนฤทธิ์. 2540. **การอบแห้งเมล็ดพืชและอาหารบางชนิด**. กรุงเทพฯ: สถาบันเทคโนโลยีพระจอมเกล้าธนบุรี. 378 น.

- สินธนา ลีนานุรักษ์. 2546. **การแปรรูปอาหาร 2.** เรียงใหม่: ภาควิชาเทคโนโลยีทางอาหาร คณะวิศวกรรมและอุตสาหกรรมเกษตร มหาวิทยาลัยแม่โจ้. 158 น.
- สุเนตร โน่งปราษีต. 2549. หลักกระบวนการทางวิศวกรรมเกษตร. ภาควิชาวิศวกรรมเกษตรและอาหาร คณะวิศวกรรมและอุตสาหกรรมเกษตร มหาวิทยาลัยแม่โจ้. 198 น.
- Baysal, T., F. Icier, S. Ersus and H. Yildiz. 2003. Effects of microwave and infrared drying on the quality of carrot and garlic. **European Food and Research Technology** 218: 68-73.
- Buffler, C. R. 1993. **Microwave cooking and processing.** New York: Avi book. 169 p.
- Barbosa-Cánovas, G. V. and H. Vega-Mercado. 1996. **Dehydration of Food.** New York: Chapman & Hall. 330p.
- Bondaruk, J., M. Markowski and W. Blaszcak, 2007. Effect of drying conditions on the quality of vacuum-microwave dried potato cubes. **Journal of Food Engineering** 81 : 164-175.
- Cengel, A. Y. and B. A. Michael. 2002. **Thermodynamics.** 4th. New York: McGraw-hill. 930p.
- Clary, C. D. and G. A. S. Ostrom. Use of Microwave Vacuum for Dehydration of Thompson Seedless Grapes. **U.S. Patent. No. 950405.** 15 april 1995.
- Commonwealth Scientific and Industrial Research Organization (CSIRO). 1972. **Banana ripening guide.** Melbourne: Division of Food Reseach Circular 8. 280 p.
- Dadah, G., D.K. Apar and B. öbek. 2007. Microwave drying kinetics of Okra. **Drying Technology** 25: 917–924.
- Drouzas, A. E. and H. Schubert. 1996. Microwave application in vacuum drying of fruits. **Journal of Food Engineering** 28: 203-209.
- Drouzas, A. E., E. Tsami and G. D. Saravacos. 1999. Microwave vacuum drying of model fruit gels. **Journal of Food Engineering** 39: 117-122.
- Ferris, B. S. R., R. Ortiz and D. Vuylsteke. 1999. Fruit quality evaluation of plantains, plantain hybrids, and cookingbananas. **Postharvest Biology and Technology** 15: 73-81.
- Gunasekaran, S. 1999. Pulsed microwave – vacuum drying of food materials. **Drying Technology**. 17(3): 395–412.
- Hu, Q., M. Zhang, S. Mujumdar, G.Xiao and J.Sun. 2005. Drying of edamames by air and vacuum microwave combination. **Journal of Food Engineering**. 77: 977-982.

- Kardum, J.P., A. Sander and D. Skansi. 2001. Comparison of convective, vacuum, and microwave drying chlorpropamide. **Drying Technology** 19(1): 167-183.
- Lee, H. J. and H. J. Kim. 2009. Vacuum drying kinetics of Asia's white radish (*Raphanus sativus L.*) slices. **Food science and technology** 42 : 180-186.
- Lin, T.M., T.D. Durance and C.H. Scaman. 1998. Characterization of vacuum microwave, air and freeze dried carrot slices. **Food Research International** 31: 111-117.
- Maskan, M. 2000. Microwave/air and microwave finish drying of banana. **Journal of Food Engineering** 44: 71-78
- _____. 2001. Drying shrinkage and rehydration characteristics of kiwifruits during hot air and microwave drying. **Journal of Food Engineering** 48(2): 177-182.
- Metaxas, A.C. and R.J. Meredith, 1983, **Industrial Microwave Heating**, London: Peter Peregrinus Ltd. 573 p.
- Mongpraneet, S. 2003. **Drying characteristic of a far infrared heater combined vacuum operation**. Doctoral. dissertation. Ehime University, Matsuyama, Japan. 106 p.
- Mousa, N. and M. Farid. 2007. Microwave vacuum drying of banana slices. **Drying technology** 20:10, 2055-2066.
- Opoku, A. L., G. Tabil, V. Meda and S. Panigrahi. 2007. Microwave and microwave-vacuum drying kinetics of field peas. p. 1-16. **In 2007 ASABE Annual International Meeting**. Sponsored by ASABE Minneapolis Convention Center Minneapolis, Minnesota. 17-20 June 2007. Minnesota: ASABE.
- Ozkan, I. A., B. Akbudak and N. Akbudak. 2007. Microwave drying characteristics of spinach. **Journal of Food Engineering** 78: 577-583.
- Pinedo, A., A. and F.E.X. Murr. 2005. Kinetics of Vacuum Drying of Pumpkin (*Cucurbita maxima*) Modeling with Shrinkage. **Journal of Food Engineering** 76: 562-567.
- Regier, M. and H. Schubert. 2005. **The microwave processing of foods**. New York: CRC Press. 345p.
- Rodriguez, R., J. I. Lombrana, M. Kamel and C. de Elvira. 2005. Kinetic and quality study of mushroom drying under microwave and vacuum. **Drying Technology** 23: 2197-2213.

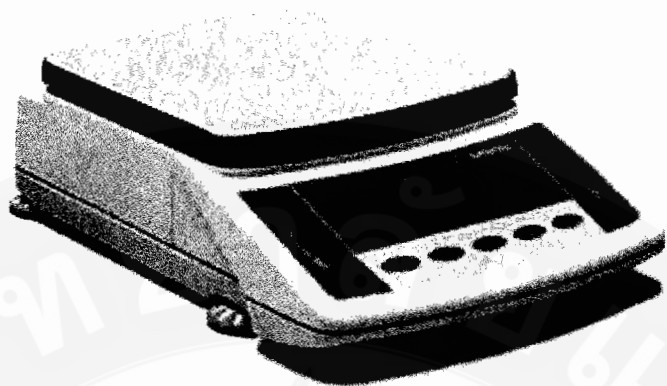
- Sanga, E., A.S. Mujumdar and G.S.V. Raghavan. (eds.). 2000. **Microwave Drying: Principles and Applications.** p. 230-278. In **Drying Technology in Agriculture and Food Sciences.** India: Science Publishers.
- Setiady, D., C. Clary, F. Younce and B.A. Rasco. 2007. Optimizing drying condition for microwave-vacuum (MIVAC) drying of Russet potatoes (*Solanum tuberosum*). **Drying Technology** 25: 1483-1489
- Sharma, G.P. and S. Prasad. 2006. Specific energy consumption in microwave drying of garlic cloves. **Energy** 31(12): 1921-1926.
- Singh, R.P. and D.R. Heldman. 1993. **Introduction to Food Engineering.** 2nd ed. , New York: Academic press, Inc. 560 p.
- Soysal, Y. 2004. Microwave drying characteristics of parsley. **Biosystems Engineering** 89(2):167-173.
- Sunjka, P. S., T. J. Rennie, C. Beaudry and G. S. V. Raghavan. 2004. Microwave-convective and microwave-vacuum drying of cranberries: A comparative study. **Drying Technology** 22(5): 1217-1231.
- Tulasidas, T.N., G.S.V. Raghavan and A.S. Mujumdar. 1995. Microwave drying of grapes in a single mode cavity at 2450 MHz – II: Quality and energy aspects. **Drying Technology** 13(8&9): 1973-1992.
- Varith, J. and T. Kiatsiriroat. 2004. Effects of microwave power, treatment time and sample orientation on heat distribution in mango. p. 1-10. In **2004 ASAE/CSAE Annual International Meeting.** Sponsored by ASAE/CSAE Fairmont Chateau Laurier, The Westin, Government Centre Ottawa, Ontario, Canada. 1-4 August 2004. Ottawa: ASABE.
- Varith, J., P. Dijkanarukkul, A. Achariyaviriya and S. Achariyaviriya., 2007. Combined microwave-hot air drying of peeled longan, **Journal of Food Engineering** 81 : 459–468.
- Venkatesh, M.S. and G.S.V. Raghavan. 2004. An Overview of Microwave Processing and Dielectric Properties of Agri-food Materials. **Biosystems Engineering** 88: 1–18.
- Wadsworth, J. I., L. Velupillai and L.R. Verma. 1990. Microwave-vacuum drying of parboiled rice. **Transactions in Agriculture** 33(1): 199–210.

Yongsawatdigul, J. and S. Gunasekaran. 1996. Microwave-vacuum drying of cranberries: Part II. Quality evaluation. **Journal of Food Processing and Preservation** 20: 145-156.

Zhangjing, C. and F. M. Lamb. 2007. Analysis of the vacuum drying rate for red Oak in a hot water vacuum drying system. **Drying Technology** 25: 497-500.







ภาพพนวก 1 เครื่องชั่งคิจิตอล



ภาพพนวก 2 เครื่องวัดสีอาหาร



ภาพพนวก 3 เครื่องวัสดุเนื้อสัมผัสของอาหาร



ภาพพนวก 4 เครื่องต่ายภาพโครงสร้างภายใน



ตารางผนวก 1 ความแปรปรวนทางสถิติของปัจจัยทั้ง 3 ปัจจัยที่มีผลต่อค่าความสว่าง (L*)

Source	df	Sum of squares	Means square	F	P
Pre-treatment (A)	1	849.065	849.065	55.52**	0.0000
Vacuum level (B)	1	107.062	107.06	7*	0.0176
MW Power step (C)	1	30.0832	30.0832	1.97	0.1799
A*C	1	161.565	161.565	10.56**	0.0050
A*B	1	1.495	1.495	0.1	0.7586
B*C	1	21.4893	21.4893	1.41	0.2532
A*B*C	1	189.338	189.338	12.38**	0.0028
Residual	16	244.693	15.2933		
Total	23	1604.79			

หมายเหตุ *,** หมายถึง มีความแตกต่างทางสถิติที่ระดับนัยสำคัญ 0.05 และ 0.01 ตามลำดับ

ตารางผนวก 2 ความแปรปรวนทางสถิติของปัจจัยทั้ง 3 ปัจจัยที่มีผลต่อค่าสีแดง (a*)

Source	df	Sum of squares	Means square	F	P
Pre-treatment (A)	1	3.2856	3.2856	1.55	0.2307
Vacuum level (B)	1	0.00107	0.00107	0	0.9824
MW Power step (C)	1	19.9108	19.9108	9.41**	0.0074
A*C	1	0.05227	0.05227	0.02	0.8771
A*B	1	0.96802	0.96802	0.46	0.5085
B*C	1	0.00107	0.00107	0	0.9824
A*B*C	1	0.84375	0.84375	0.4	0.5367
Residual	16	33.856	2.116		
Total	23	58.9186			

หมายเหตุ ** หมายถึง มีความแตกต่างทางสถิติที่ระดับนัยสำคัญ 0.01

ตารางพนวก 3 ความแปรปรวนทางสถิติของปัจจัยทั้ง 3 ปัจจัยที่มีผลต่อค่าสีเหลือง (b*)

Source	df	Sum of squares	Means square	F	P
Treatment (A)	1	72.2801	72.2801	17.1**	0.0008
Vacuum level (B)	1	3.6426	3.6426	0.86	0.3670
MW Power step (C)	1	63.4725	63.4725	15.02**	0.0013
A*C	1	1.5965	1.5965	0.38	0.5475
A*B	1	21.4137	21.4137	5.07**	0.0388
B*C	1	0.2926	0.2926	0.07	0.7958
A*B*C	1	10.6267	10.6267	2.51	0.1324
Residual	16	67.6221	4.22638		
Total	23	240.947			

หมายเหตุ ** หมายถึง มีความแตกต่างทางสถิติที่ระดับนัยสำคัญ 0.01

ตารางพนวก 4 ความแปรปรวนทางสถิติของปัจจัยทั้ง 3 ปัจจัยที่มีผลต่อค่าความแข็ง

Source	df	Sum of squares	Means square	F	P
Treatment (A)	1	341.789	341.789	21.79**	0.0003
Vacuum level (B)	1	186.986	186.986	11.92**	0.0033
MW power step (C)	1	170.4	170.4	10.86**	0.0046
A*C	1	100.655	100.655	6.42*	0.0222
A*B	1	39.501	39.501	2.52	0.1321
B*C	1	17.7332	17.7332	1.13	0.3035
A*B*C	1	18.2178	18.2178	1.16	0.2972
Residual	16	251.016	15.6885		
Total	23	1126.3			

หมายเหตุ *,** หมายถึง มีความแตกต่างทางสถิติที่ระดับนัยสำคัญ 0.05 และ 0.01 ตามลำดับ

ตารางผนวก 5 ความแปรปรวนทางสถิติของปัจจัยทั้ง 3 ปัจจัยที่มีผลต่อค่าความกรอบ

Source	df	Sum of squares	Means square	F	P
Treatment (A)	1	3433.24	3433.24	19.19**	0.0005
Vacuum level (B)	1	514.763	514.763	2.88	0.1092
MW power step (C)	1	544.64	544.64	3.04	0.1002
A*C	1	213.189	213.189	1.19	0.2911
A*B	1	88.8195	88.8195	0.5	0.4911
B*C	1	7.42594	7.42594	0.04	0.8411
A*B*C	1	161.461	161.461	0.9	0.3562
Residual	16	2861.88	178.867		
Total	23	7825.41			

หมายเหตุ ** หมายถึง มีความแตกต่างทางสถิติที่ระดับนัยสำคัญ 0.01

ตารางผนวก 6 ตารางเปรียบเทียบค่าความสว่าง (L*) เนลลี่ของการอบแห้งทั้ง 2 ระดับ

Source	Mean	StDev	P-value
Industrial	50.68	1.55	0.116
Lab	53.11	1.39	

ตารางผนวก 7 ตารางเปรียบเทียบค่าสีแดง (a*) เนลลี่ของการอบแห้งทั้ง 2 ระดับ

Source	Mean	StDev	P-value
Industrial	7.79	1.06	0.007
Lab	4.48	0.29	

ตารางพนวก 8 ตารางเปรียบเทียบค่าสีเหลือง (b*) เนลี่ยของการอบแห้งทั้ง 2 ระดับ

Source	Mean	StDev	P-value
Industrial	23.19	0.96	0.004
Lab	18.86	0.78	

ตารางพนวก 9 ตารางเปรียบเทียบค่าความแข็ง (Hardness) เนลี่ยของการอบแห้งทั้ง 2 ระดับ

Source	Mean	StDev	P-value
Industrial	42.06	0.36	0.74
Lab	32.39	0.87	

ตารางพนวก 10 ตารางเปรียบเทียบค่าความกรอบ (Crispness) เนลี่ยของการอบแห้งทั้ง 2 ระดับ

Source	Mean	StDev	P-value
Industrial	159.13	12.83	0.789
Lab	155.4	18.52	



การแก้สมการจնค่าสตร์ของการอนแท้งและวิธีการพิสูจน์การ

สมการแบบจำลองการอนแท้งของ Newton

$$\text{รูปแบบสมการ คือ } MR = \exp(-kt) \quad (\text{ค1})$$

จากสมการ (ค1) ทำการเปลี่ยนรูปสมการให้อยู่ในรูปของสมการเชิงเส้น

$$\ln MR = -kt \quad (\text{ค2})$$

กำหนดให้

$$y_i = -\ln(MR)$$

$$x_i = t$$

ดังนั้นจะได้

$$y_i = -kx_i \quad (\text{ค3})$$

จากทฤษฎีการวิเคราะห์สมการผลโดยโดยวิธีกำลังสองน้อยที่สุด จะได้ว่า $\sum_{i=1}^n (-y_i - kx_i)^2$ มีค่า

$$\text{น้อยที่สุด นั่นคือ } \sum_{i=1}^n (-y_i - kx_i)^2 = 0 \quad (\text{ค4})$$

$$\frac{\partial}{\partial k} \sum_{i=1}^n (-y_i - kx_i)^2 = 0$$

$$2 \sum_{i=1}^n (-y_i - kx_i)(-x_i) = 0$$

$$- \sum_{i=1}^n y_i x_i + k \sum_{i=1}^n x_i^2 = 0$$

$$k \sum_{i=1}^n x_i^2 = \sum_{i=1}^n y_i x_i$$

$$k = \sum_{i=1}^n \left(\frac{y_i x_i}{x_i^2} \right)$$

สมการแบบจำลองการอนแท้งของ Page

$$\text{รูปแบบสมการ คือ } MR = \exp(-kt^n) \quad (\text{ค5})$$

จากสมการ (ค5) ทำการเปลี่ยนรูปสมการให้อยู่ในรูปของสมการเชิงเส้น

$$-\ln(MR) = kt^n$$

$$\ln\{-\ln(MR)\} = \ln k + n \ln t \quad (\text{ค6})$$

กำหนดให้

$$y_i = \ln\{-\ln(MR)\}$$

$$B = \ln k$$

$$A = n$$

$$x_i = \ln t$$

ดังนั้นจะได้

$$y_i = Ax_i + B \quad (\text{ค7})$$

จากทฤษฎีการวิเคราะห์สมการลดด้อยโดยวิธีกำลังสองน้อยที่สุด จะได้ว่า $\sum_{i=1}^n (Ax_i + B - y_i)^2$ มี

ค่าน้อยที่สุด นั่นคือ

$$\sum_{i=1}^n (Ax_i + B - y_i)^2 = 0 \quad (\text{ค8})$$

คิฟสมการ ค8 ด้วย $\frac{\partial}{\partial A}$

$$\frac{\partial}{\partial A} \sum_{i=1}^n (Ax_i + B - y_i)^2 = 0$$

$$2 \sum_{i=1}^n (Ax_i + B - y_i)(x_i) = 0$$

$$\sum_{i=1}^n (Ax_i^2 + Bx_i - y_i x_i) = 0 \quad (\text{ค9})$$

คิฟสมการ ค8 ด้วย $\frac{\partial}{\partial B}$

$$\frac{\partial}{\partial B} \sum_{i=1}^n (Ax_i + B - y_i)^2 = 0$$

$$2 \sum_{i=1}^n (Ax_i + B - y_i)(1) = 0$$

$$\sum_{i=1}^n (Ax_i + B - y_i) = 0 \quad (\text{ค10})$$

จากสมการ ค9 และ ค10 แทนค่าเพื่อหาค่าคงที่ A และ B เพื่อนำไปแทนค่าหาค่าคงที่ของการ
ตอบแทน

สมการแบบจำลองการตอบแทน Modified Page

$$\text{รูปแบบสมการ คือ } MR = \exp[-(kt)^n] \quad (\text{ค11})$$

จากสมการ (ค11) ทำการเปลี่ยนรูปสมการให้อยู่ในรูปของสมการเชิงเส้น

$$-\ln(MR) = (kt)^n$$

$$\ln\{-\ln(MR)\} = n(\ln k + \ln t) \quad (\text{ค12})$$

กำหนดให้

$$y_i = \ln\{-\ln(MR)\}$$

$$A = n$$

$$B = n \ln k$$

$$x_i = \ln t$$

ดังนั้นจะได้

$$y_i = Ax_i + B \quad (ค13)$$

จากทฤษฎีการวิเคราะห์สมการโดยวิธีกำลังสองน้อยที่สุด จะได้ว่า $\sum_{i=1}^n (y_i - Ax_i - B)^2$ มี

ค่าน้อยที่สุด นั่นคือ

$$\sum_{i=1}^n (y_i - Ax_i - B)^2 = 0 \quad (ค14)$$

ต่อไปนี้ ค14 ด้วย $\frac{\partial}{\partial A}$

$$\frac{\partial}{\partial A} \sum_{i=1}^n (y_i - Ax_i - B)^2 = 0$$

$$2 \sum_{i=1}^n (y_i - Ax_i - B)(-x_i) = 0$$

$$\sum_{i=1}^n (-y_i x_i) + A \sum_{i=1}^n x_i^2 + B \sum_{i=1}^n x_i = 0 \quad (ค15)$$

ต่อไปนี้ ค14 ด้วย $\frac{\partial}{\partial B}$

$$\frac{\partial}{\partial B} \sum_{i=1}^n (y_i - Ax_i - B)^2 = 0$$

$$2 \sum_{i=1}^n (y_i - Ax_i - B)(1) = 0$$

$$\sum_{i=1}^n y_i - A \sum_{i=1}^n x_i - B = 0 \quad (ค16)$$

จากสมการ ค15 และ ค16 สามารถแทนค่าและแก้สมการหาค่าคงที่ A และ B เพื่อนำไปหาค่าคงที่ของการอบแห้งต่อไปได้

สมการแบบจำลองการอบแห้ง Henderson และ Pabis

$$\text{รูปแบบสมการ คือ } MR = a \exp(-kt) \quad (ค17)$$

จากสมการ (ค17) ทำการเปลี่ยนรูปสมการให้อยู่ในรูปของสมการเชิงเส้น

$$\ln(MR) = -kt + \ln a \quad (ค18)$$

กำหนดให้

$$y_i = \ln(MR)$$

$$x_i = t$$

$$A = \ln a$$

ดังนั้นจะได้

$$y_i = -kx_i + A \quad (\text{ค19})$$

จากทฤษฎีการวิเคราะห์สมการถดถอยโดยวิธีกำลังสองน้อยที่สุด จะได้ว่า $\sum_{i=1}^n (y_i + kx_i - A)^2$ มี

ค่าน้อยที่สุด นั่นคือ

$$\sum_{i=1}^n (y_i + kx_i - A)^2 = 0 \quad (\text{ค20})$$

ดิฟสมการ ค20 ด้วย $\frac{\partial}{\partial k}$

$$\frac{\partial}{\partial k} \sum_{i=1}^n (y_i + kx_i - A)^2 = 0$$

$$2 \sum_{i=1}^n (y_i + kx_i - A)(x_i) = 0$$

$$\sum_{i=1}^n (y_i x_i + kx_i^2 - A) = 0$$

$$\sum_{i=1}^n y_i x_i + k \sum_{i=1}^n x_i^2 - A = 0$$

(ค21)

ดิฟสมการ ค20 ด้วย $\frac{\partial}{\partial A}$

$$\frac{\partial}{\partial A} \sum_{i=1}^n (y_i + kx_i - A)^2 = 0$$

$$2 \sum_{i=1}^n (y_i + kx_i - A)(-1) = 0$$

$$\sum_{i=1}^n (-y_i - kx_i + A) = 0$$

$$\sum_{i=1}^n (-y_i) - k \sum_{i=1}^n x_i + A = 0$$

(ค22)

จากสมการ ค21 และ ค22 สามารถแทนค่า y_i และ x_i เพื่อหาค่าคงที่ k และ A แล้วนำไปแก้สมการ
ซึ่งจะทำให้ได้ค่าคงที่ของการอน Hägg



วิธีการคำนวณ

การคำนวณกำลังไนโครเวฟเที่ยบเท่าของเครื่องอบแห้งไนโครเวฟ-สุญญากาศ ระดับห้องปฏิบัติการ

$$\text{จากสมการ } P_w = \frac{4.187 \times V \times (T_2 - T_1)}{t}$$

แทนค่า $V = 1000 \text{ cm}^3$

$T_1 = 19.9^\circ\text{C}$

$T_2 = 25.1^\circ\text{C}$

$t = 62 \text{ s}$

$$\text{จะได้ } P_w = \frac{4.187 \times 1000 \times (25.1 - 19.9)}{62}$$

$$P_w = 351.16 \text{ W}$$

การคำนวณปริมาณมวลแห้งของกล้าวยอบแห้ง

ความชื้นเริ่มต้นของกล้าวย $203.3 \% \text{db}$

มวลกล้าวยเริ่มต้น 50 g

เมื่อ $W = \text{น้ำหนักเริ่มต้นของกล้าวย}$

$d = \text{มวลแห้งของกล้าวย}$

$$\text{ดังนี้จะได้ } d = \frac{W}{[(M_{\text{db}} / 100) + 1]}$$

$$d = \frac{53.3}{[(203.3 / 100) + 1]}$$

$$d = 17.58 \text{ g}$$

การคำนวณกำลังไนโครเวฟเที่ยบเท่าของเครื่องอบแห้งไนโครเวฟ-สุญญากาศ ระดับห้องปฏิบัติการ
เทียบกับปริมาณมวลแห้ง

กำลังไนโครเวฟเฉลี่ยที่ $50\% = 359.3 \text{ W/g dry matter}$

น้ำหนักมวลแห้งเฉลี่ยของกล้าวย $= 17.58 \text{ g}$

$$\text{ดังนี้ กำลังไนโครเวฟเทียบต่อมวลแห้ง} = \frac{359.3 \text{ W}}{17.58 \text{ g}} = 20.4 \text{ W/g dry matter}$$

กำลังไมโครเวฟที่ 30% = 196 W

น้ำหนักมวลแห้งเฉลี่ยของกล้าวย = 17.58 g

$$\text{ดังนั้น กำลังไมโครเวฟเทียบต่อมวลแห้ง} = \frac{196 \text{ W}}{17.58 \text{ g}} = 11.1 \text{ W/g dry matter}$$

การคำนวณมวลแห้งเพื่อใช้อบแห้งขยายผล

ขั้นตอนที่ 1 การหามวลแห้งในการอบแห้งขยายผล

เลือกใช้กำลังไมโครเวฟของเครื่องอบแห้งระดับอุตสาหกรรมที่ 100% = 539 W

กำลังไมโครเวฟต่อมวลแห้งของเครื่องอบแห้งไมโครเวฟ-สูญญากาศระดับ

ห้องปฏิบัติการ = 20.4 W/g dry matter

แทนค่าเพื่อหามวลแห้งในการอบแห้งขยายผล

$$20.4 = \frac{539}{g}$$

$$\text{ดังนั้น } g = 26.4 \text{ g}$$

จะได้ว่า มวลแห้งที่ใช้อบแห้งขยายผล = 26.4 g หรือ 1.5 เท่าของมวลแห้งที่ใช้อบแห้งระดับห้องปฏิบัติการ

ขั้นตอนที่ 2 การหาคำนวณหากำลังไมโครเวฟในช่วงอบแห้งที่ 2

กำลังไมโครเวฟต่อมวลแห้งของเครื่องอบแห้งไมโครเวฟ-สูญญากาศระดับ

ห้องปฏิบัติการ = 11.1 W/g dry matter

มวลแห้งที่ใช้ในการอบแห้งขยายผล = 26.4 g

แทนค่าเพื่อหามวลแห้งในการอบแห้งขยายผล

$$11.1 = \frac{W}{26.4}$$

จะได้ว่า กำลังไมโครเวฟที่ใช้ = 293.4 W

ดังนั้นจึงเลือกใช้ระดับกำลังไมโครเวฟที่ 50% ซึ่งมีกำลังไมโครเวฟ 332 W

ขั้นตอนที่ 3 การหาคำนวณหาปริมาณกล้าวยในการอบแห้งขยายผล

จากข้อมูลที่ได้จากการอบแห้งระดับห้องปฏิบัติการ พบว่า

ที่ความชื้น 203.3 %db

น้ำหนักเริ่มต้นของกล้วยที่ใช้ในการอบแห้งระดับห้องปฏิบัติการ 53 g มวลแห้งของกล้วย 17.58 g

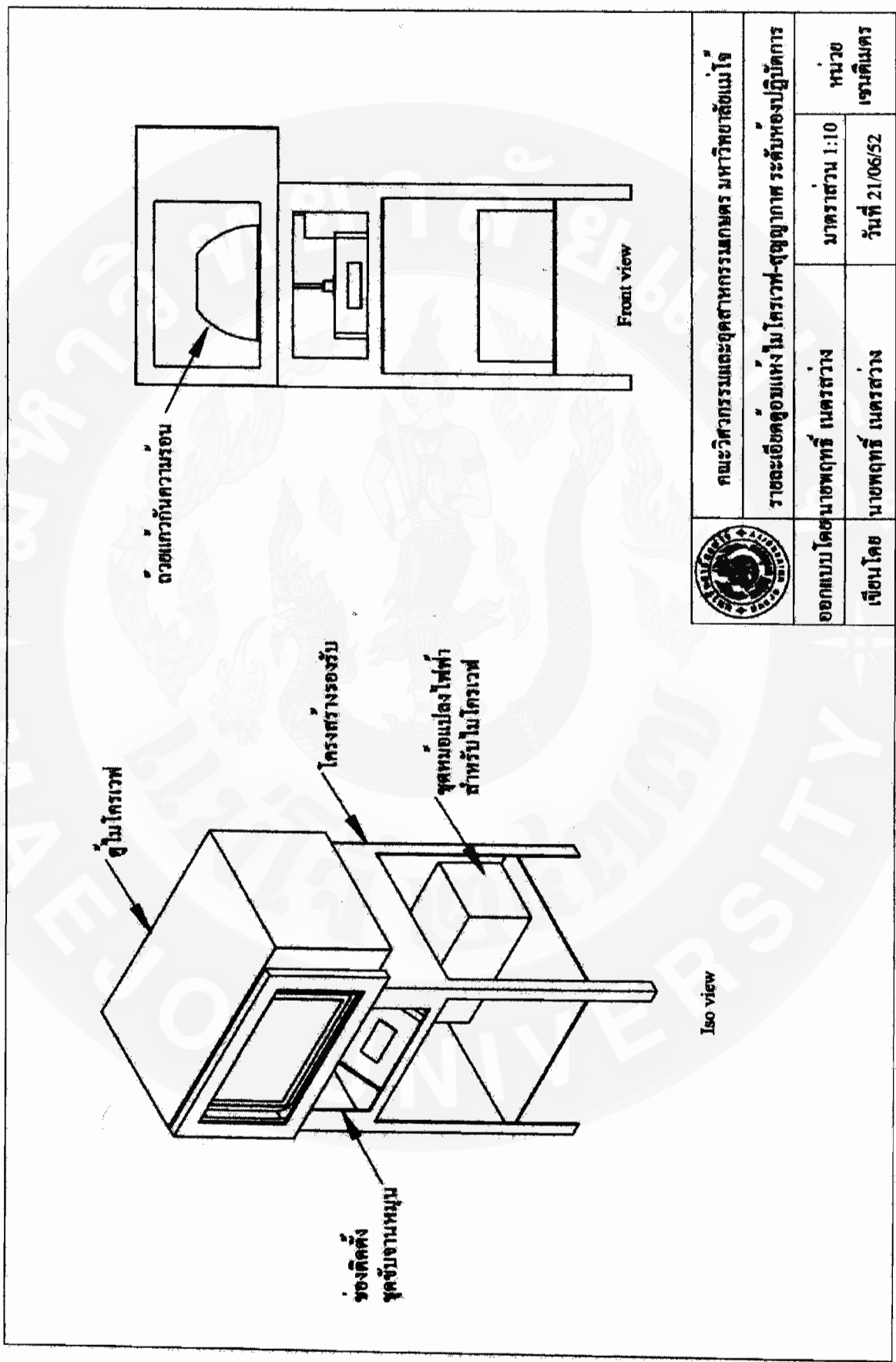
มวลแห้งที่ใช้อบแห้งข่ายผล = 26.4 g (จากขั้นตอนที่ 1) มวลแห้งของกล้วยใน การอบแห้งระดับห้องปฏิบัติการ

$$\text{ดังนั้น น้ำหนักกล้วยในการอบแห้งระดับอุตสาหกรรม} = \frac{53 \times 26.4}{17.58} = 79.59 \text{ g หรือ}$$

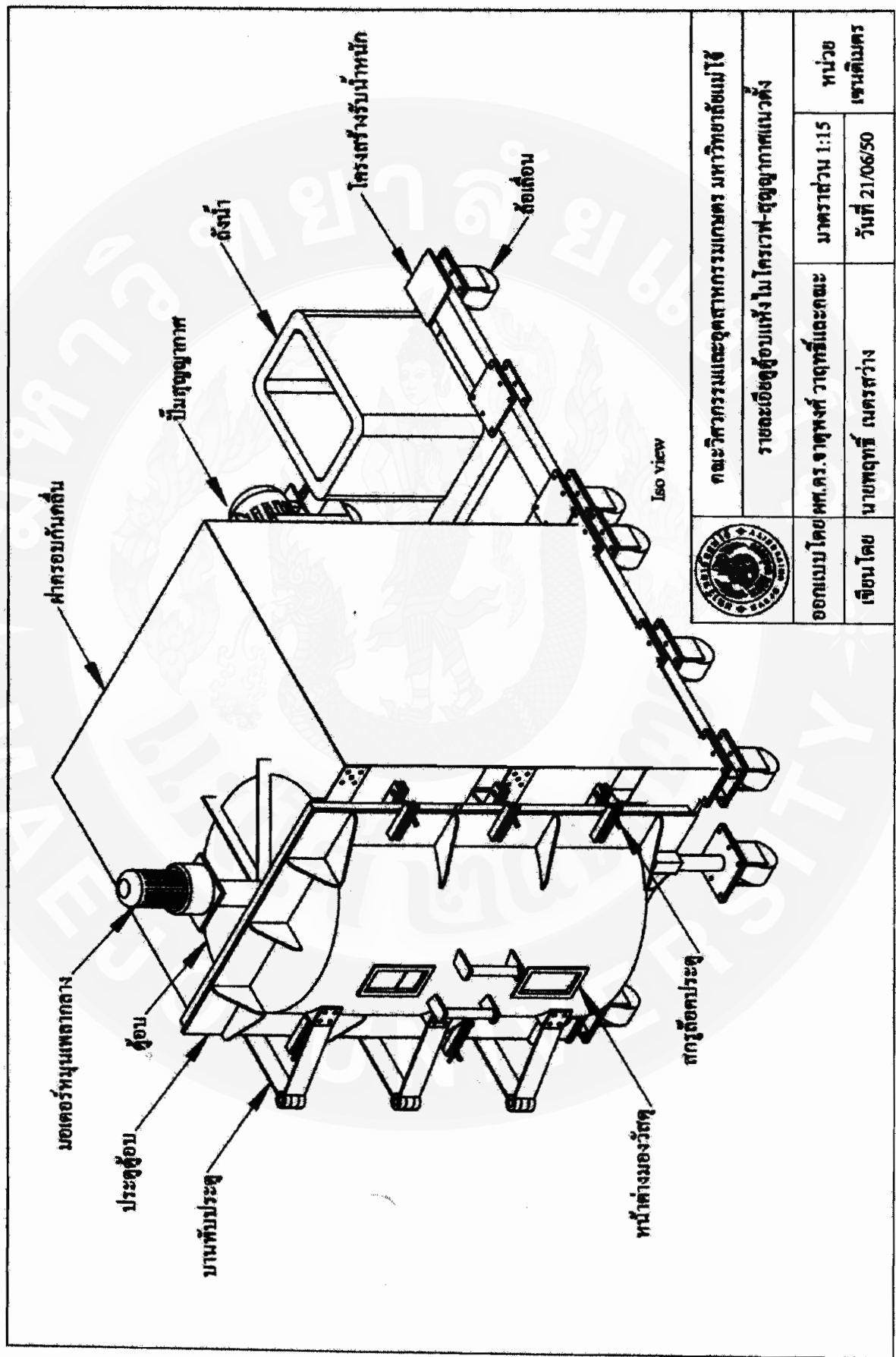
ประมาณ 80 g

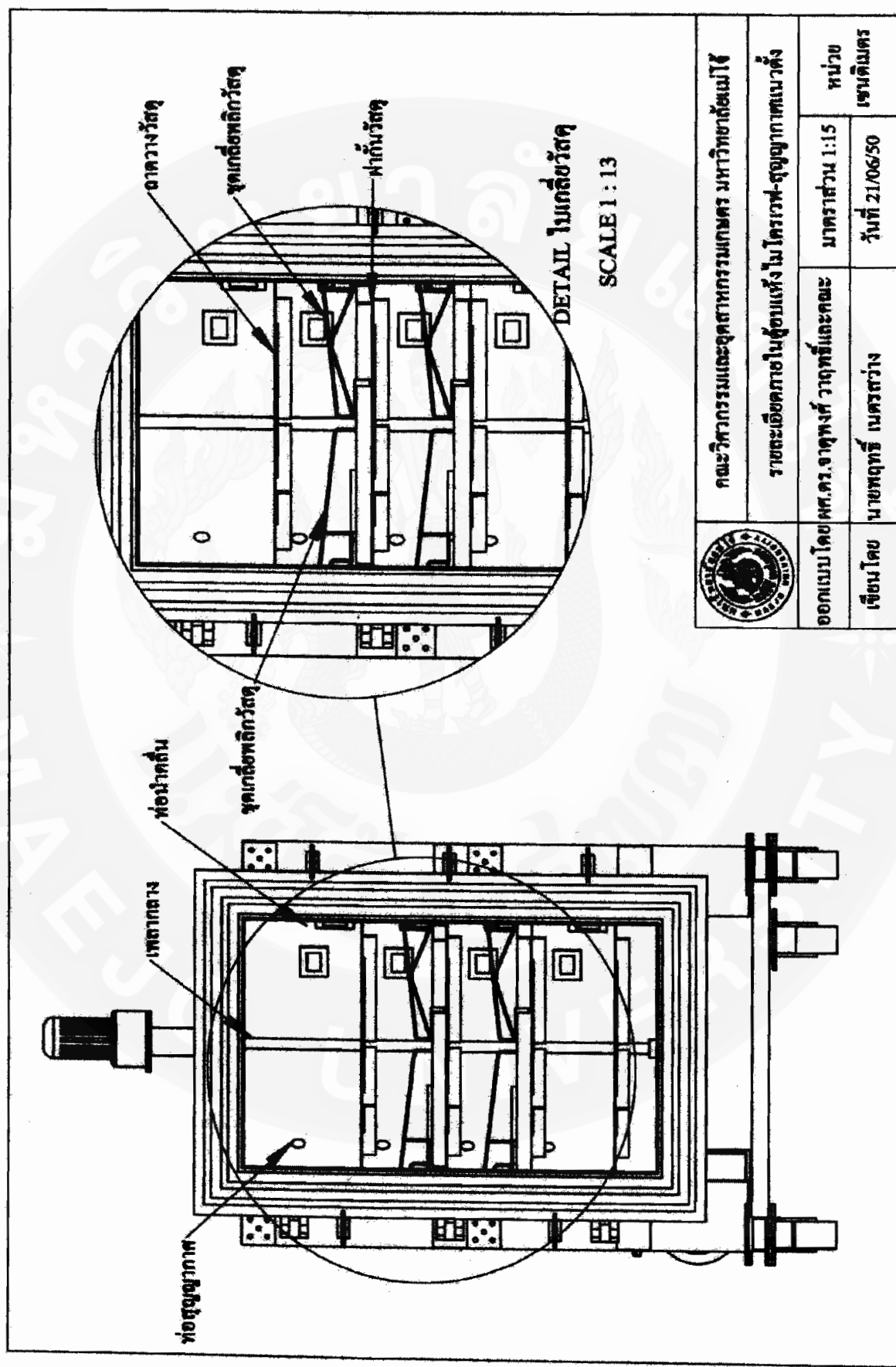


รายละเอียดเครื่องอุปกรณ์ในโกรเวฟ-สุญญาการ
ระดับห้องปฏิบัติการและอุตสาหกรรม



ภาพที่ ๕ ร่างแบบอิบทเครื่องผสมผึ้งไข่ โครงการฯ-ศูนย์อาหาร ระบบหมอยูปฏิบัติการ







ประวัติผู้วิจัย

ชื่อ-สกุล	นายพุทธิ์ เนตรสว่าง
เกิดเมื่อ	12 มิถุนายน 2525
สถานที่เกิด	จังหวัดลำพูน
ประวัติการศึกษา	พ.ศ. 2539 นักเรียนศึกษาตอนต้น โรงเรียนปรินส์รอยแยลวิทยาลัย จังหวัดเชียงใหม่ พ.ศ. 2542 นักเรียนศึกษาตอนปลาย โรงเรียนจักรคำภานทร จังหวัดลำพูน พ.ศ. 2547 ปริญญาวิศวกรรมศาสตรบัณฑิต (วิศวกรรมเกษตร) มหาวิทยาลัยแม่โจ้ จังหวัดเชียงใหม่ พ.ศ. 2552 ปริญญาวิศวกรรมศาสตรมหาบัณฑิต (วิศวกรรมการแปรรูปผลผลิตเกษตร) มหาวิทยาลัยแม่โจ้ จังหวัดเชียงใหม่ พ.ศ. 2546 นักศึกษาฝึกงาน บริษัท Cotco-SV Eastern Steel Pipe จำกัด จังหวัดระยอง พ.ศ. 2551 นักศึกษาฝึกงาน Institut für Landtechnik, Universität Bonn, Germany
ผลงานทางวิชาการ	พ.ศ. 2547 การออกแบบและศึกษาเครื่องคักรไอน้ำแบบกลุ่มท่อสำหรับ การอบแห้งแบบสุญญากาศ ปริญนานินพนธ์ปริญญาตรี มหาวิทยาลัยแม่โจ้ พ.ศ. 2550 J. Varith, P. Netsawang, C. Noochuay, B. Hirunstiporn, S. Janin and M. Krairiksh. 2007. Design of Multimode- Circular Microwave Cavity for Agri-Food Processing. p. 58-61. In The 19 th Asia-Pacific Microwave Conference (APMC 2007).

พ.ศ. 2552 พฤทธิ์ เนตรสว่าง และชาตุพงศ์วากุธี. 2552. การปรับปรุงกระบวนการอบรมแห่งใหม่ในโครเวฟ-สัญญาภาคสำหรับกลุ่มอบรมแห่ง. น. 305-309. ใน รายงานการประชุมวิชาการการถ่ายทอดสังงานความร้อนและมวลในอุปกรณ์ด้านความร้อน (ครั้งที่ 8). ภาควิชาวิศวกรรมเครื่องกล คณะวิศวกรรมศาสตร์ มหาวิทยาลัยเชียงใหม่.

พ.ศ. 2552 การอบรมแห่งกลุ่มหันแ่วนด้วยใหม่ในโครเวฟ-สัญญาภาควิทยานิพนธ์ปริญญาโท มหาวิทยาลัยแม่โจ้